Исаак Ньютон писал:

" Представление о том, что тяжесть должна быть врожденным, существенным и неотъемлемым свойством материи, таким образом, что одно тело может воздействовать на другое на расстоянии через вакуум без какого-либо посредничества, могущего передавать их воздействие и силу от одного к другому, выглядит для меня настолько нелепым, что я не верю, что человек, обладающий компетентной способностью к мышлению в философских вопросах, мог бы когда-либо поверить в это. "

ЭВВ

Исаак Ньютон ничего не знал об электричестве, и как интеллектуально честный ученый, он не мог не заявить о последствиях своего исследования тяготения. После этих последствий Электро-Вихревая Вселенная (ЭВВ) теперь заменяет "Вселенную Мертвого Тяготения" которая с тех пор отошла от "законов тяготения" в заблуждении, что формулы гравитации – это то же самое, что и сила гравитации. Путём простых наблюдений, экспериментов и возврата к логическим аргументам, ЭВВ объясняет естественные события, пережитые человечеством за свою историю, равно как ранее существующие и современные естественные механизмы, преобладающие и управляющие эволюцией вселенских процессов - от электрической энергии в ее первичной совокупной форме, до появления веществ и их единообразно управляемых движений повсюду во вселенной.

ЭВВ опирается на* Grundlegend Neue Erkenntnisse in Physik, Chemie и Himmelsmechanik*, т. е.* Новые Элементарные Восприятия в Физике, Химии и Астрономической Механике*, как она известна с 1962. Полный немецкий текст опубликован на* http://www.paf.li/EVU.htm*, английский - на* http://www.paf.li/EVU.htm*. Воспроизведение экспериментов, разумеется, оставляется на усмотрение желающих (хотя* paf@paf.li *хотел бы узнать о результатах, которые легко докажут фундаментальную нелогичность и смехотворность всех нынешних и фундаментальных теорий физики, астрономии, и истории).

Новые Элементарные Восприятия в Физике, Химии и Астрономической Механике (1962)

Glossar – Glossary – Глоссарий **4**
Часть Первая **5**
Функция Индукции 5
Функция Индукции 5
Формирование Южного и Северного Полюсов 7
Закон Отталкивания 7
Формирование Кольцевой Системы Железных Стружек, Сгруппированных Вокруг Электрического Проводника 8
Экстраток 10
Функция Индукции Расщеплённого Постоянного Тока 10
Волнообразное Движение Наночастиц 10
Подробное Объяснение Закона Кулона 11
Закон Ома 11
Причина Увеличения Взаимопересекаемости и Уменьшения Длины Силовых Линий 12
Электромагнит 13
Постоянный Магнит 13
Неоднородное Вихревое Поле Постоянного Магнита 14
Экспериментальное Доказательство Вихревого Градиента на Магнитном Бруске 15
Причина Возникновения Рисунков Железных Стружек в Магнитном Поле 16
Закон Индукции Постоянного Магнита 16
Доказательство Существования Вихревых Эффектов Накопления 19
Функция Трансформатора 21
Эффект Оболочки 23
Процесс Индукции в Токогенераторе 24
Индукция Магнитного Поля Земли 25
Принцип Индукции Отдаленной Передачи и Отдаленного Приема 25
Мегавихрь Земли 26
Направление Потока Поля Мегавихря Земли 27
Солнечный Гигавихрь 27
Возмущения Гигавихря 27
Регистрация, Геомагнитный Дифференциальный Двигатель 27
Части Характерных Диаграмм 29
Действительное Электричество Солнца и Земли 30
Свойства Действительного Солнечного Электричества 31
Природа Тепла и Холода 31
Причина Электрического Сопротивления в Проводнике и Теплопроводности 32
Увеличение и Уменьшение Электрического Сопротивления из-за Увеличения Температуры 33
Закон Термо-ЭДС Последовательности 33
Природа Термоэлектричества 34
Причина Смещения Самых Тёплых и Самых Холодных Дней Года 35
Влияние Действительного Солнечного Электричества на Общий Климат 36
Формирование Облаков и Града 36
Причина Точки Абсолютного Нуля 37
Резюме 38

Часть Вторая **46**
Первобытное Явление Формирования Вещества 46
Формирование Вещества 46
Причина Периодической Системы Элементов 53
Резюме 57
Часть Третья **58**
Функция Гравитации 58
Закон Гравитации 58
Причина Атомного Веса и Ускорения Падения 58
Закон Гравитации 60
Гравитационная Постоянная 61
Часть Четвёртая **63**
Природа и Распространение Света 63
Природа и Распространение Света 63
Первобытное Явление Луча Света 63
Типы Преломления Света 65
Генерация Спектра в Призме 67
Формирование Нормальных Спектров 73
Отражение Света 78
Причина Отражения 78
Радиометр 79
Концепция Света Гете и Ньютона 79
Новое Предложение Измерения Скорости Света в Зависимости от Вращения Земли 80
Резюме 81
Часть Пятая **82**
Причина Движения Астрономических Тел 82
Причина Движения Астрономических Тел 82
Формирование Нашей Солнечной Системы 82
Тайна Солнечных Пятен 84
Гигавихрь Солнца 85
Мегавихри Планет 85
Минивихри Лун 85
Полярное Положение Планет и Лун Относительно Солнца 87
Причина Вращения Планет и Лун Вокруг Солнца 87
Формирование Эллиптических Планетарных Орбит 87
Причина Зодиакального Света и Полярного Сияния 88
Годы Максимумов Солнечных Пятен 89
Причина Вращения Солнца, Планет и Лун Вокруг их Собственных Осей 90
Истинная Причина Приливов и Отливов 91
Закон Истинной Лунной Орбиты 92
Особенность Урана 94
Причина Обратных Орбит Некоторых Лун 95
Кометы и Формирование их Хвостов 96
Кометные Орбиты и Обратные Орбиты Некоторых Комет 97
Спиральные Туманности 97
Система Млечного Пути 98
Предложение о Сооружении Потокосвязанного Миниспутника как Антигравитационного Аэродина 98
Эпилог **100**
Разъяснение **100**

Glossar – Glossary – Глоссарий

Deutsch	English	Русский
Aktuelle Elektrizität	Actual electricity	Действительное электричество
Kräfteball	Energy ball	Энергетический шар
Erdenelektrizität	Geoelectricity	Геоэлектричество
Grösstwirbel (zB. der Sonne)	Gigavortex	Гигавихрь
Wärmestauung	Heat accumulation	Накопление тепла
Mondenelektrizität	Lunar electricity	Лунное электричество
Kraftmass	Measure of force	Мера силы
Grosswirbel (zB. der Erde)	Megavortex	Мегавихрь
Kleinwirbel (zB. des Mondes)	Minivortex	Минивихрь
Kleinstteilchen	Nanoparticle	Наночастица
Kleinstwirbel (zB. eines Kleinstteilchens)	Nanovortex	Нановихрь
Erkenntnis	Perception	Восприятие
Lichtrakete	Photonic rocket	Фотонная ракета
Potentielle Elektrizität	Potential electricity	Потенциальное электричество
Anpressung	Pressing-on	Надавливание
Sonnenelektrizität	Solar electricity	Солнечное электричество

Часть Первая

Функция Индукции

Функция Индукции

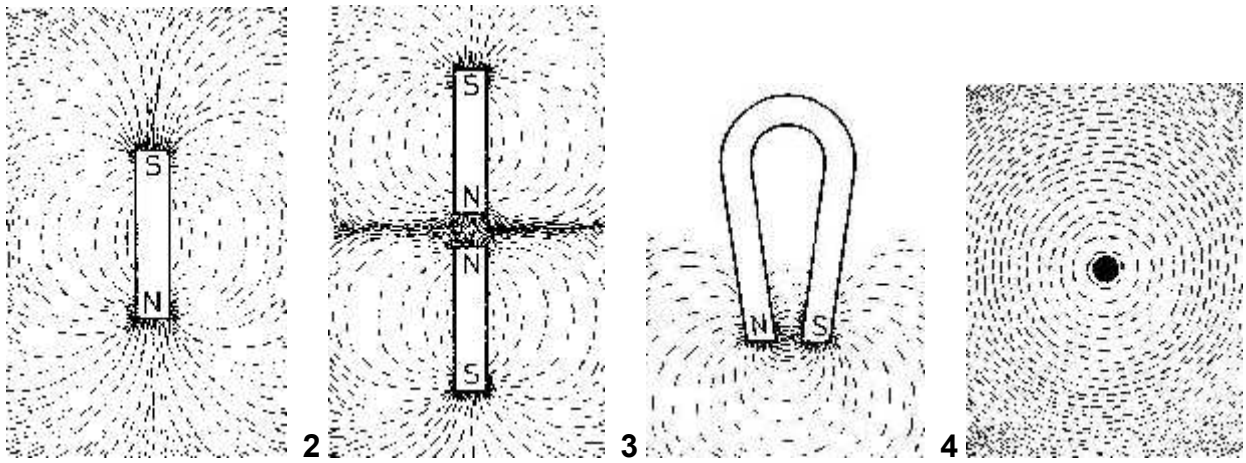

1 2 3 4

Наше существующее представление о силовых линиях магнитных и электрических полей основано главным образом на изображениях железных стружек постоянных и временных магнитов и живых проводников. Характерные рисунки железных стружек, произведенные путём рассыпания железных стружек на листе бумаги, помещённом над магнитом или электрическим проводником, схематично иллюстрированы на рис. 1-4. Поскольку эти так называемые силовые линии уникальны в полных возможностях физики без любых подобных явлений, они все же занимают определённое положение без научного обоснования. Таким образом, поскольку невозможно сравнить эти формы силовых линий с любыми другими физическими явлениями, никто до сих пор не знает, что с ними делать. Однако, объяснение всего комплекса магнитно-электрических явлений зависит от правильного объяснения этих форм. Действительно, тот, кто сможет правильно объяснить эти формы силовых линий, получит в руки ключ ко всем видам явлений и движения в физике, химии и астрономической механике. При столкновении с основной и изначальной проблемой исследования электричества, наше представление об этих системах силовых линий немедленно заводило нас в тупик, из которого мы были неспособны найти выход вплоть о настоящего момента. Что бы мы думали о причине магнетизма и его явлений, если бы у нас не было перед глазами этих очень наглядных рисунков железных стружек! Определённо, мы бы не смогли так легко развить идеи о расположении силовых линий в магнитных и электрических полях, если бы наше внимание положительно не направлялось к этим идеям. Без характеристик рисунков железных стружек, мы, возможно, развили бы гипотезы, более близкие к реальному положению вещей, по аналогии с известными физическими явлениями.

Предпринята попытка проиллюстрировать формирование характерных рисунков железных стружек.

Если посмотреть на процесс генерирования рисунков железных стружек как на результат закона потока по аналогии с аэро- и гидродинамикой, то вместо абстрактной специфической позиции форм силовых линий, мы получаем полностью конкретные идеи о вихрях и и эффектах их

потока и накопления. Всюду в природе мы находим неоднородные поля потока, то есть где бы, например, ни возникали воздушные или водные потоки, мы обнаруживаем там не единообразные гомогенные, а неединообразные негомогенные скорости потока. Эти неоднородные скорости потока, которые могут возникать из трения или других форм сопротивления, всегда вызывают формирование вихрей, которые легко наблюдать в ветряных и водных потоках. Можно сказать, что везде, где бы ни возникали неоднородные поля потока, присутствует основание для формирования вихрей. Итак, какова же предыстория этих вихрей? Много лет назад, весь цивилизованный мир считал роторное судно Флеттнера огромной сенсацией. Это судно, оборудованное вращающимися цилиндрами вместо парусов. Если цилиндру позволяют вращаться в потоке, в пределах этого потока генерируется поле вихря, поскольку благодаря трению на цилиндре, окружающая его среда увлекатеся в направлении вращения. Рис. 5 иллюстрирует принцип ротора Флеттнера. Струя воздуха показана простыми стрелками. В пределах этого потока цилиндр вращается в направлении, отмеченном круговой стрелкой. Воздух, наполняющий цилиндр, увлекается им в том же направлении вращения благодаря эффекту трения. Далее, проявляется следующий эффект:

С левой стороны, цилиндр движется в том же самом направлении, что и струя воздуха, но на противоположной правой стороне струя воздуха движется против направления вращения цилиндра. По мере увеличения скоростей на левой стороне при уменьшении их на противоположной правой стороне по причине противопотока, здесь возникающего, возрастает эффект всасывания на левой стороне и давление либо сжатие на правой стороне. Это явление известно в физике как эффект Магнуса. Цилиндр имеет тенденцию двигаться от стороны давления к стороне всасывания. Точнее говоря, это означает генерирование неоднородного поля, потому что скорости на стороне всасывания выше, чем на стороне давления.

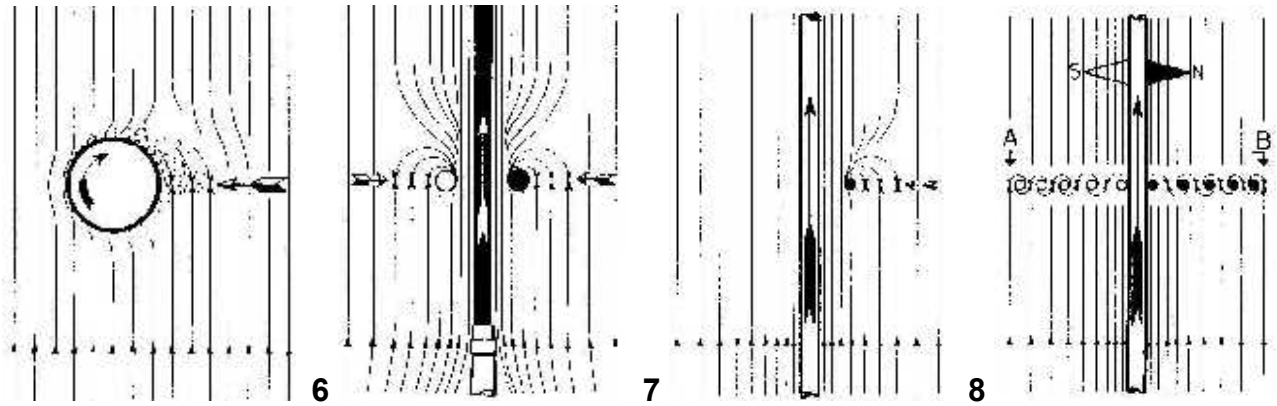

На Рис. 6 показано естественное неоднородное поле, порождённое водяной струёй, скажем, от пожарной машины. Воздух, окружающий водяную струю, увлекается струёй воды в направлении её движения, где скорость наиболее высока в непосредственной близости от струи и уменьшается пропорционально расстоянию от струи. Можно говорить, что скорость увлекаемого воздуха уменьшается с увеличением расстояния от водяной струи. Таким образом, мы сталкиваемся с положительно неоднородным полем потока воздуха. Теперь, если мы поместим объект типа цилиндра или шара в пределы этого неоднородного поля потока, возникает эффект Магнуса, так же, как в случае с ротором Флеттнера. А именно, формируется вихрь, которое, благодаря неоднородному полю, обладает более высокой скоростью потока на левой стороне шара, обращённой к водяной струе, и более низкой скоростью потока на правой стороне шара. Как следствие, возрастают всасывание и давление, эффект которых проявляется в

движении цилиндра или шара по наклонной к потоку, то есть противоположно водяной струе. Таким образом, эффект Магнуса наблюдается в обоих примерах. Чтобы передавать цилиндру или шару движение поперек к направлению потока, не имеет значения, вращается ли такой объект в гомогенном поле, или же он не вращается в неоднородном поле потока.

Теперь давайте взглянем на электрический проводник на рис. 7 с точки зрения неоднородного поля потока, допуская, что то, что мы считаем в его проявлении электромагнитным полем вокруг электрического проводника, было ни чем иным, как всего лишь слабым внешним параллельным продолжением внутреннего потока тока. Так что, когда мы помещаем железную частицу в это поле потока, мы обнаруживаем те же самые явления прямоугольного движения, как в вышеописанных примерах с потоками воды и воздуха. Автор просит прежде всего принять то, что здесь называется "потоком", как гипотетическое "нечто плывущее", до тех пор, пока на соответствующем этапе не будут предоставлены необходимые предусловия для более детального объяснения. Можно возразить, что никоим образом нельзя говорить о потоке тока вне электрического проводника, поскольку даже самые точные инструменты были неспособны обнаружить такой поток. Однако, невозможность измерения такого потока становится понятной, если представить, что поле заполнено ядрами вихрей, которые в течение ровного потока тока остаются в статическом состоянии. Дальнейшее разъяснение будет предпринято ниже.

Когда мы размещаем множество ферромагнитных тел (железных частиц) рядом на плоскости, расположенной под прямым углом к электрическому проводнику, как на рис. 8, формируются южный и северный полюсы.

Формирование Южного и Северного Полюсов

Каждое из отдельных тел, показанных на рисунке как ферромагнитные цилиндры, окружено вихрьм, вращающимся в том же направлении, то есть по часовой стрелке по отношению к цилиндрам на правой стороне электрического проводника, и против часовой стрелки по отношению к цилиндрам на левой стороне, как показано на рис. 8. Примем в дальнейшем это противовращение за полярность, которая обозначена белой половиной цилиндра как Южный полюс и черной половиной цилиндра как Северный полюс на всех соответствующих иллюстрациях и схемах. Автор обозначает полюс, направленный на Северный полюсом земли как Южный полюс, поскольку это также принято и во многих других странах. Этот выбор был не произволен, но основан на соображениях о полярной регулярности нашей солнечной системы, приведённых в последней части данной работы. Кроме того, рисунки, приведённые далее в этом документе, демнострируют магнитные иглы или шары вместо цилиндров. Когда мы думаем об обращении нашего взгляда на 360 ° вокруг электрического проводника, мы обнаруживаем, что разумеется все цилиндры, сгруппированные вокруг электрического проводника имеют тот же самый смысл вращения.

Закон Отталкивания

Как показано на рис. 8, между отдельными телами обнаруживаются протовоположные потоки, вызванные одинаковым направлением вращения вихрей, и, соответственно, эффект накопления подобный эффекту Магнуса, который взаимно отталкивает тела друг от друга в соответствии с присущей им интенсивностью потока. По мере уменьшения параллельного потока, по мере увеличения расстояния от электрического проводника, интенсивность вихрей ферромагнитных тел также уменьшается. Поэтому, взаимные промежутки между телами должны уменьшаться

вовне в той же самой пропорции до определённого предела, определяющегося интенсивностью поля земли, разумеется, при пренебрежении сопротивлением трения между телами и субстратом.

Формирование Кольцевой Системы Железных Стружек, Сгруппированных Вокруг Электрического Проводника

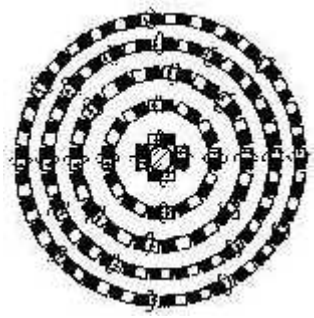

9

На рис. 9 показан осевой разрез тела по плоскости A-B на рис. 8. На этом рисунке, мы сразу узнаём известную кольцевую систему железных стружек, сгруппированных вокруг электрического проводника. Эта кольцевая система - естественное следствие подобного направления потоков вихрей и результирующего взаимного отталкивания полярных тел, радиально расположенных друг рядом с другом. Кольцевая система формируется неизбежно и может быть наиболее легко объяснена по аналогии с законами потока вихрей, применимыми к воде и воздуху. Таким образом, эта кольцевая система не имеет абсолютно ничего общего с очень популярным экспериментальным свидетельством однополярного кругового движения вокруг электрического проводника.

Закон Индукции Электрического Проводника

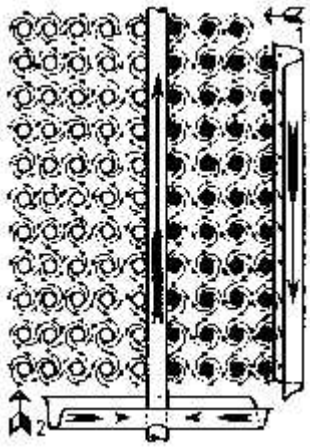

10

Теперь, если мы представим, как показано на рис. 10, множество таких кольцевых систем, расположенных рядом с электрическим проводником, расстояния между отдельными кольцевыми плоскостями были бы снова результатом отталкивания или интенсивности вихрей, вращающихся в том же направлении. В этом случае, однако, нельзя бы было определить ничего подобного параллельному потоку рядом с электрическим проводником, но только множество отдельных вихрей. Но поскольку эти отдельные вихря находились бы в фиксированных позициях при условиях потока постоянного тока, мы бы восприняли всё поле вихрей как

статическое поле, несмотря на внутренний поток тока. Для наилучшего понимания нижеизложенного, давайте прежде всего примем что вся система вихрей, согласно рис. 10, состояла из твердо закреплённых сопротивлений в пределах водяной или воздушной струи, вызванных взаимным отталкиванием, главный поток которых возникнет в центре, то есть вместо электрического проводника. Если бы мы переместили канал, расположенный вне поля вихрей параллельно главному потоку против, то есть по касательной к главному потоку (оперённая стрелка 1) его открытой стороной под прямым углом, мы бы генерировали в канале поток, противоположный главному потоку в соответствии со стороной вихря, на которую оказывается воздействие. Если мы превзошли центр главного потока этим каналом, продолжающимся двигаться в том же направлении, или если бы мы повернули канал на 180 ° и вернули бы открытую часть в начальное положение, мы имели бы в обоих случаях, благодаря внутреннему воздействию сторон вихря, реверсию потока внутри канала, то есть то же самое направление потока, что и у главного потока. Если бы мы пробовали повернуть канал на 90 ° и перемещать его в направлении движения главного потока (оперённая стрелка 2), мы не смогли бы реализовать никакого вообще потока внутри канала, потому что противоположные потоки правых и левых вихрей нейтрализовали бы друг друга внутри канала. Хотя эти законы потока применимы к воде и воздуху, они в принципе соответствуют во всех своих движениях с индукцией. Вернёмся к нашей гипотезе об энергетическом поле, текущем параллельно электрическому проводнику, и подумаем о видимых ферромагнитных телах как о незаметных материальных наночастицах; так что мы снова сталкиваемся с полем вихрей, систематически сгруппированным вокруг электрического проводника, производящего электромагнитное, статическое поле. Если мы заменим канал проводом и подсоединим его концы к гальванометру, мы сможем наблюдать в последнем, что при перемещении в тех же направлениях, что и канал, наведённый ток имеет те же самые направления. Можно было бы таким образом предполагать, что вихря наночастиц с зарядом определённой интенсивности, зависящей от их расстояния от электрического проводника, передают свои заряды в направлении, присутствующем на стороне вихря, подвергающейся воздействию. На противоположную сторону вихря воздействие не оказывается, потому что частицы вынуждены останавливаться у поверхности электрического проводника, то есть они не могут пройти сквозь неё.

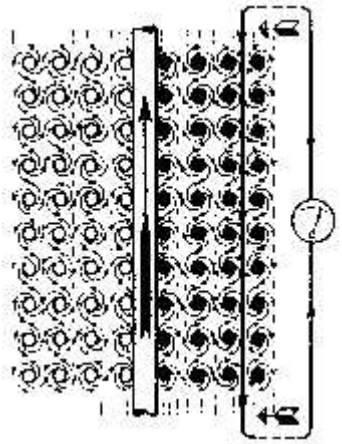

11

Отталкиваясь от идеи, что первоначально никакой ток не течет через электрический проводник, мы должны предположить, что вокруг проводника группируются вещества, которые обычно чувствительны к горизонтальной интенсивности поля земли и обособлены соответственно. Если мы пустим гальванический ток через электрический проводник согласно рис. 11, то в соответствии с нашей гипотезой, наночастицы, сгруппированные вокруг электрического

проводника, получат заряд, соответствующий интенсивности тока и их расстоянию от электрического проводника, так что они оттолкнутся друг от друга с такой силой, какую допускает интенсивность их вихря. Согласно нашей гипотезе, мы сгенерирем потенциал магнитного поля, так сказать положительное магнитное давление, достигающее максимума на электрическом проводнике и уменьшающееся до нуля вовне. Таким образом, наночастицы, подчиненные горизонтальной интенсивности земли, осуществили бы с внешней стороны концентрическое давление на поле вихрей электрического проводника, который, с другой стороны, обеспечивает противодавление той же силы. Оба поля вихрей находились бы состоянии взаимного равновесия. (Эта взаимозависимость легко позволяет измерять неизвестное поле, используя известное поле.) Во время отталкивания, наночастицы блуждают прямоугольно в наружнем направлении согласно рис. 11 и переносят свой заряд - поскольку он представляет положительное магнитное давление – в сторону воздействуемой стороны вихрей к смежному индукционному проводнику, в направлении, как в нашем примере с каналом, противоположном главному потоку.

Экстраток

В то время, как наночастицы, расположенные в промежутках между молекулами электрического проводника также блуждают прямоугольно от периферии проводника к его центральной оси, когда электрический контур замкнут, они переносят свои заряды непосредственно к электрическому току, причём их направления противоположно направлению тока в проводнике (экстраток). Если контур не замкнут, наночастицы возвращаются к своим первоначальным позициям в соответствии с интенсивностью поля земли и на сей раз затрагивают индукционный проводник с внутренней стороны вихрей, так что наведённый замыкающий ток имеет то же направление, что и главный поток. В случае переменного тока, направления вихрей меняются в соответствии с изменением главного тока.

Функция Индукции Расщеплённого Постоянного Тока

Из этой кинематики вихрей легко становится ясным, что в результате так называемого расщеплённого постоянного тока также имеется наведённый переменный ток, направления которого могут быть определены с равной точностью. Для индукции в принципе не важно, перемещаются ли наночастицы возвратно-поступательно, или же остаются вместе со своими вихрями в их позиции как статическое поле, в то время как индукционный проводник воздействует на стороны вихрей. Аналогично, не важно оставлять индуктор неподвижным, возвратно-поступательно перемещая электрический проводник вместе с его статическими полями вихрей.

Волнообразное Движение Наночастиц

Приведённое выше описание функции наночастиц во время открытия, закрытия или изменения тока чётко иллюстрирует волнообразное движение наночастиц. В момент закрытия, наночастицы поля земли волнообразно увлекаются во внешнем направлении благодаря увеличению интенсивности вихря, что вызывает взаимное отталкивание в соответствии со скоростью прогрессирующего тока, в то время как при открытии тока они отбрасываются назад к точке их происхождения, также в волнообразном движении, по причине статического давления поля земли. Чем быстрее прерывания или изменения направления тока, тем короче волнообразные движения наночастиц.

Подробное Объяснение Закона Кулона

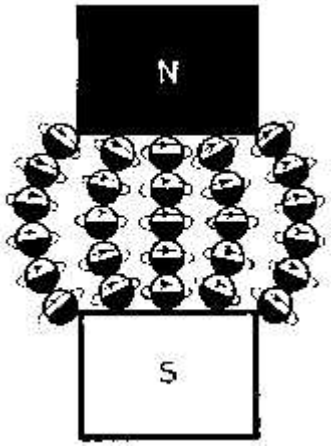

12

Эта вихревая кинематика никоим образом не противоречит основным существующим математическим принципам магнитной поля. Напротив: закон Кулона на самом деле выводится из её тщательного объяснения и логической интерпретации. Этот закон не может применяться к свободным полюсам, поскольку мы знаем, что таких полюсов не существует, но он применяется к двухполюсным наночастицам, которые взаимно отталкиваются из-за их восходящих вихрей. Поскольку все вихря имеют одинаковое направление вращения, все Северные полюса располагаются на одной стороне, а все Южные полюса – на другой. Когда мы обозначаем механическую силу, с которой две наночастицы отталкивают друг друга как P, силу или интенсивность вихря отталкивания одной частицы как M1, а таковую другой частицы как M2 и расстояния между обеими частицами как l, и когда мы принимаем константу для определения состояние пространства между частицами, мы обнаруживаем, что механическая сила, с которой две наночастицы отодвигаются друг от друга из-за противоположности потоков их вихрей, составляет P = (M1•M2)/12 Дин как абсолютный показатель. Мы можем также продемонстрировать закон Кулона в очень иллюстративной манере, образуя водные или воздушные вихри. Если заставить два шара, прикреплённые к гибкой оси на расстоянии l, вращаться в одном направлении в жидкости или в воздухе, шары отталкиваются друг от друга с силой P по причине накопительного эффекта, возникшего между этими двумя шарами в соответствии с импульсом, то есть порождённой интенсивностью вихря.

Закон Ома

Закон Ома также полное и удовлетворительно объясняется с помощью вихревой кинематики, где

a) напряжение тока соотносится с интенсивностью вихря и/или расстоянием между наночастицами проводящего вещества,

b) сила тока соотносится с плотностью вихря, и

c) сопротивление соотносится с вихре-связанным эффектом накопления, возникающим между частицами.

Следовательно плотность вихря пропорциональна интенсивности вихря, то есть расстоянию между наночастицами, в то время как плотность вихря обратно пропорциональна вихре-связанному эффекту накопления.

Плотность вихря = интенсивность вихря / вихре-связанный эффект накопления

Интенсивность вихря = плотность вихря • вихре-связанный эффект накопления

Вихре-связанный эффект накопления = интенсивность вихря / плотность вихря

Кроме того, вихревая кинематика чётко и однозначно объясняет существующую концепцию силовых туннелей или линий.

Причина Увеличения Взаимопересекаемости и Уменьшения Длины Силовых Линий

Согласно вышеописанному, наночастицы, расположенные одна позади другой, формируют, если можно так выразиться, цепь; северный полюс одной частицы всегда направлен на южный полюс другой наночастицы. Как следствие, в продольном направлении возникает напрягаемая сила, как показано на рис. 12. Таким образом, такая цепь из наночастиц была бы ни чем иным, как силовой линией. Если, как предполагается в нашем примере, несколько таких силовых линий или лучше силовых цепей расположены бок о бок, взаимное отталкивание вихрей наночастиц порождает силу давления поперек направления силового туннеля. Таким образом, все характеристики, применимые к силовым линиям, такие как увеличение взаимопересекаемости и уменьшение длины, чётко объясняются этой концепцией. Однако, в кинематике вихрей отношение между так называемой плотностью силовых линий и количеством силовых линий противоположно предыдущей концепции. В кинематике вихрей максимально возможная плотность силовых линий будет логически иметь только одну цепь наночастиц на квадратный сантиметр, а сила поля l соберет наибольшее количество цепей на квадратном сантиметре. С этой точки зрения это легко становится понятным, потому что взаимное расстояние между наночастицами достигает наибольшей величины при самой высокой интенсивности вихря и наименьшей – при самой низкой интенсивности. Как следствие, интенсивность силовых линий наибольшая, когда на квадратный сантиметр приходится наименьшее количество цепей наночастиц, а наименьшая – когда на этом квадратном сантиметре располагается больше всего таких цепей.

Теперь следует более подробно объяснить коготь индукции с точки зрения вихревой гипотезы и в связи с постоянными и временными (электро-)магнитами. Станет ясно, что эта живо описанная кинематика вихрей может очень хорошо и успешно применяться в теории и практике, поскольку она объясняет чрезвычайно сложные процессы в очень иллюстративной и простой манере.

Если посмотреть на более глубокую систематичность магнитных полей и на индукцию постоянных и временных магнитов логически вслед за гипотезами вихрей, можно прийти к неожиданным и однозначным объяснениям многочисленных явлений магнетизма и электричества.

Давайте для начала предположим, что поле вихрей – не что иное, как параллельный поток концентрически располагающийся вокруг полярной оси, так что станет очевидно, что поле токопроводника в форме роликообразной катушки (соленоид), представляющее из себя параллельный поток, формирует нечто вроде циркулирующего потока вихря, передние стороны которого должны быть северным или южный полюсами, в зависимости от направления потока.

Электромагнит

Если мягкий железный брусок поместить в центр оси такого потокового вихря, получаем электромагнит, полюса которого в точности соотносятся с полюсами потокового вихря. Этот электромагнит сохраняет свои магнитные свойства до тех пор, пока остаётся подвержен воздействиюэто потокового вихря.

Если вихрь отключается путём прерывания тока в катушке или путём нейтрализации вихря с помощью введения второй катушки, намотанной в противоположном направлении и порождающей противовихри, либо же если катушка только одна, но изначально имеет бифилярную противообмотку, магнитные свойства как катушки, так и мягкого железного бруска пропадают. Когда интенсивность потоков двух полей встречных вихрей различны, очевидно, что железный брусок намагничивается в соответствии с различием интенсивности.

Постоянный Магнит

Итак, похоже, что единственное различие между электромагнитом (временный магнит) и постоянным магнитом заключается в том факте, что электромагнит обладает искусственно порождённым полем вихря, в то время как у постоянного магнита оно естественное, и интенсивность потока вихря у него должна иметь ту же силу, что и таковая у электромагнита равной мощности. Здесь немедленно встаёт решающий вопрос о происхождении этого естественного поля вихря постоянного магнита. Этот вопрос возникает неизбежно при рассмотрении полей вихрей, и не трудно найти правильный ответ на этот существенный вопрос если последовательно пройти весь путь, здесь описанный. И контекст всех соображений должен будет показать, соответствует ли этот ответ простой истине, поскольку, в конце концов, по всей вероятности, истинными можно считать те результаты, которые опираются на логические размышления и всесторонние наблюдения. Естественное поле вихря постоянного магнита само по себе является результатом неоднородного потока даже ещё большего поля вихря, которое мы обсудим далее в ходе нашего исследования.

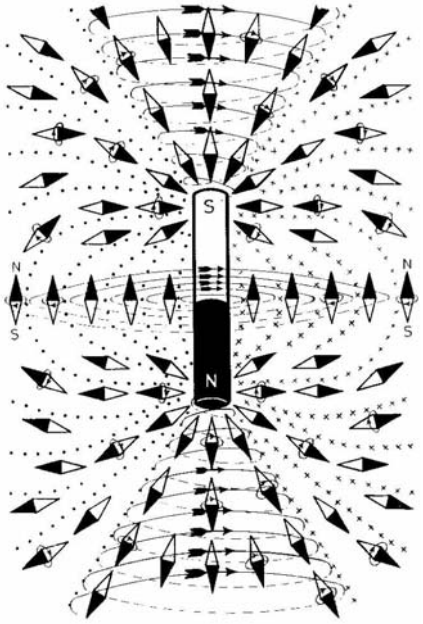

13

Давайте сначала попробуем выяснить в свете вышеизложенных соображений, может ли быть обнаружено поле вихря в случае с постоянным магнитом, и вписывается ли это поле в наши вышеизложенные представления относительно расположения полюсов. На рис. 13 показан магнитный брусок со множеством магнитных стрелок, расположенных в осевой плоскости, которые с равным успехом могли бы быть заменены железными стружками. Одного взгляда на этот рисунок достаточно, чтобы ясно понять, что северные полюса магнитных стрелок смотрят на южный полюс магнитного бруска, в то время как южные полюса магнитных стрелок развёрнуты к северному полюсу магнитного бруска. Ранее мы выяснили, что магнитная стрелка или ферромагнитное вещество всегда принимает положение, при котором его ось вихря располагается под прямым углом к направлению потока, и что в этом случае южный полюс стрелки всегда находится на левой стороне, если электрический проводник над стрелкой протягивается в направлении от наблюдателя (рис. 8 и 9).

Когда мы мысленно применяем этот факт к нашему примеру согласно рис. 13, мы неожиданно обнаруживаем, что в самом деле вокруг оси магнитного бруска есть поток вихря, представляющий тенденцию к убыванию на полюсах и тенденцию к возрастанию в нейтральной зоне. Убывающее и возрастающее направление потока вихря заметны по положениям магнитной иглы.

Неоднородное Вихревое Поле Постоянного Магнита

Хотя наш пример не описывает электрический проводник, расположенный на полюсах в подобной катушке форме, но в том же самом смысле, более плотный поток неоднородного вихря направлен внутрь около полюсов, в то время как более плотный поток неоднородного вихря направлен наружу в нейтральной зоне и по обеим сторонам. Точки на левой стороне на рис. 13 представляют кончики стрелок, направленные на наблюдателя, в то время как крестики на правой стороне представляют перья стрелок, то есть направление стрелки от наблюдателя. Итак, в случае с постоянным магнитом мы видим поток вихря, спускающийся извне к полюсам и возрастающий от нейтральной зоны к полюсам. Когда мы смотрим в направлении потока вихря, то есть положения магнитных стрелок, мы обнаруживаем северный и южный полюса в точности на той же стороне, что и в случае искусственно порождённого поля вихря электромагнита или соленоида. Наблюдая вихря, текущие вниз к полюсам и вихря, текущие от нейтральной зоны вверх к полюсам, можно не противореча здравому смыслу предположить в отношении постоянного магнита, что на полюсах возникает входящее течение, а в и около нейтральной зоны возникает исходящее течение. Предваряя наши нижеследующие соображения, обознаим втекающую и истекающую материю вкратце как "действительное солнечное электричество".

Экспериментальное Доказательство Вихревого Градиента на Магнитном Бруске

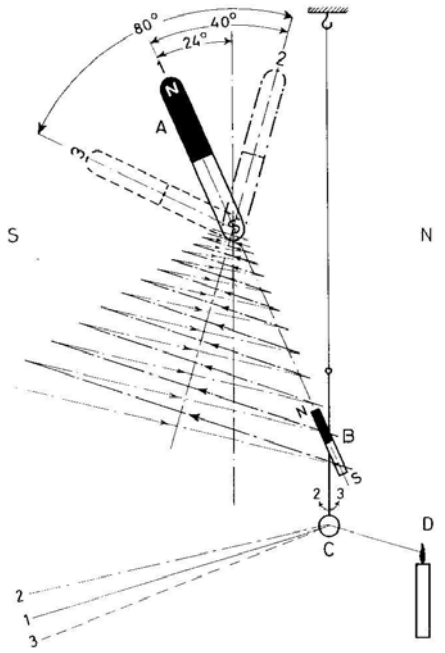

14

Строго говоря, потоки вихря, обращённые к полюсам, должны иметь некоторый градиент, так чтобы магнитные стрелки, расположенные в пределах этих потоков показывали некоторое отклонение от полюсов, потому что они - как мы видели в поле параллельного потока электрического проводника - всегда занимают положение под прямым углом к потоку. Рис. 14 схематично показывает, как действительни существующий градиент полярных вихрей может быть доказан простым экспериментом. На рисунке изображён магнитный брусок А, расположенный так, чтобы иметь возможность вращаться вокруг своего южного полюса в наклонном положении l, мягкий железный брусок В, подвешенный с возможностью вращения на удлиненной оси наклона первого и снабжённый зеркалом С, и далее источник света D для проецирования отклонения зеркала. Перед началом эксперимента, железный брусок приводится в наклонное положение без влияния магнитного бруска, для предотвращения скручивания шелковой нити впоследствии. Поскольку отклонения, то есть градиенты вихря, довольно низки, рекомендуется использовать индекс светового луча минимальной длиной от трёх до пяти метров. Теперь, если повернуть магнитный брусок из положения 1 в положение 2, определенный диаметр вихря южного полюса входит в область железного бруска В, последний при этом перемещается в положение прямоугольно к градиенту вихря или потоку вихря, заставляя таким образом индекс светового луча отклониться от центрального положения в положение 2. Если после регистрации отклонения индекса магнитный брусок качнуть из положения 2 через положение 1 в положение 3, в область железного бруска входит противоположный диаметр вихря и снова выравнивает его прямоугольно. По мере того как оба противоположных градиентов вихря смещаются относительно друг друга двойным угловым отношением их контактных диаметров, можно наблюдать вдвое большее по сравнению с первым случаем отклонение индекса светового луча. В соответствии с градиентом вихря, направление движения отклонения индекса указывает направление потока вихря. Поскольку около полюса градиент почти неразличим, лучше всего подвесить железный брусок на некотором расстоянии от магнитного бруска.

Причина Возникновения Рисунков Железных Стружек в Магнитном Поле

Как и в ранее изложенных соображениях, вокруг отдельных магнитных стрелок также текут присущие им вихря. Поскольку все вихря магнитных стрелок имеют ту же сущность потока, происходит накопление противонаправленных потоков между стрелками. Таким образом возникает эффект накопления, который вынуждает стрелки взаимно отталкиваться.

Если мы используем железные стружки вместо магнитных стрелок, это взаимное отталкивание порождает характерные линии паттернов железных стружек (ср. рис. 1-4). Интенсивности потоков более мелких вихрей пропорциональны интенсивности потока главного вихря, то есть магнитного бруска. Крупные интенсивности приводят к большим расстояниям между линиями железных стружек и большим диапазонам паттернов стружек, в то время как низкие интенсивности приводят к небольшим расстояниям и маленьким диапазонам.

Вышеупомянутые соображения показывают, что при вводе сопротивления в неоднородное поле потока возникает вихрь, направление потока которого всегда имеет ту же сущность, что и более плотная и интенсивная сторона поля потока. Если в такое вихрь погрузить даже ещё меньшее сопротивление, то логично, что в пределах потока вихря должен возникнуть соответствующий меньший поток вихря, потоковая сущность которого зависит от первого потока вихря, а именно опять же от более плотной, более интенсивной стороны поля вихря. Можно было бы продолжать в том же духе, дойдя до нановихря наночастицы и, с другой стороны, до мегавихря спиральной туманности "спиральная туманность".

Теперь давайте познакомимся с эффектом индукции магнитного бруска.

Закон Индукции Постоянного Магнита

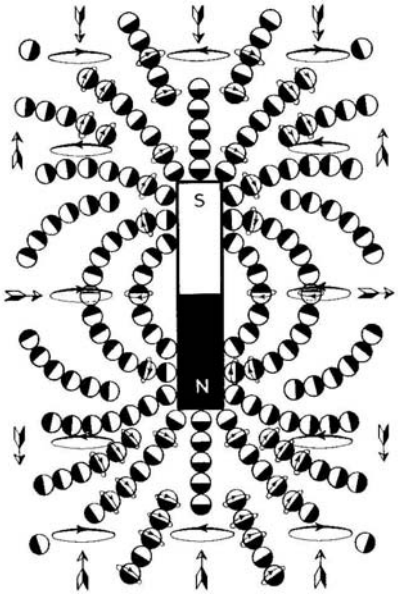

15

Давайте предположим, что магнитный брусок, показанный на рис. 15, окружен невидимыми материальными наночастицами, как обсуждалось в контексте рис. 10 и 11. На данном рисунке, эти наночастицы показаны в виде шаров на осевой плоскости магнитного бруска при очень большом увеличении; их южные полюса показаны черными областями, а северные – белыми областями, дабы более чётко проиллюстрировать полярную структуру. Из вышеизложенного

ясно, что эти наночастицы в пределах большого вихря магнитного бруска имеют свои соответствующие нановихря, так что все они, благодаря своей интенсивности потока, отталкиваются друг от друга и, подобно видимому паттерну железных стружек, незримо располагаются в соответствии с распределением интенсивности спускающихся и восходящих потоковых вихрей магнитного бруска. Направления потоков нановихря отмечены маленькими эллипсами со стрелками. Некоторое количество более крупных петель нарисовано в пределах этого поля нановихрей, чтобы схематично обозначить катушку индукции, то есть катушку, имеющую несколько проводных обмоток. Сторона петли, обращённая к наблюдателю, снабжена стрелкой, обозначающей направление наведённого тока, если петля или катушка индукции перемещаются в направлении оперённых стрелок.

По изображению наночастиц можно видеть, что их полярные оси в каждом местоположении находятся в различных угловых положениях относительно полярной оси магнитного бруска . Поэтому трудно достигнуть высокой степени эффективности индукции. Подобно магнитному бруску, который обеспечивает восходящее вихрь, или лучше сказать – истекающее вихрь, от нейтральной зоны к полюсам по обеим сторонам, мы обнаруживаем вихрь, истекающее из нейтральной зоны наночастиц. Очевидно, что в случае с наночастицей поток силы может быть обнаружен только на восходящих вихрях нейтральной зоны, в то время как невозможно обнаружить его на спускающихся, втекающих сторонах вихря, то есть на сторонах полюсов, потому что частицы расположены очень тесно. Именно потенциал этого истекающего восходящего вихря выводится при премещении поля вихря или катушки индукции в направлении соударяемого потока вихря.

Если, не забывая об этом, мы посмотрим на рис. 15, мы сможем легко идентифицировать наиболее эффективное для индукции перемещение катушки. Мы видим, что наибольший потенциал вихря может быть получен в направлении осевого движения при сохранении, в то же время, концентрического положения катушки. Поэтому весьма интересно определить в отношении этого рисунка, в каком направлении в катушке течёт наведённый или полученный ток, когда катушка перемещается в направлении крылатых стрелок. Когда мы сначала перемещаем катушку аксиально и концентрически к оси магнитного бруска в направлении северного полюса магнитного бруска, в катушке обнаруживается только слабая деривация или индукция по причине всего лишь частичного контакта обмотки с восходящими вихрями наночастиц. Если перемещение к полюсам продолжается, контакт с восходящими сторонами вихрей наночастиц, окружающих северный полюс магнитного бруска увеличивается, так что наблюдается значительное возрастание тока. Это направление движения наведённого тока на стороне северного полюса магнитного бруска - направление против часовой стрелки, в соответствии с соударяемыми сторонами вихрей наночастиц. Когда мы продолжаем перемещать катушку в том же направлении, при приближении к нейтральной зоне мы все более сталкиваемся со спускающимся полярным потоком сторон южного полюса наночастиц. Как уже упоминалось, полярные стороны наночастиц не имеют направленного внешне потенциала, так что никакой ток здесь не может быть получен или наведён. Если мы перемещаем катушку вне этой зоны к южному полюсу магнитного бруска, мы снова и все более и более сталкиваемся со сторонами истекающих вихрей наночастиц. Но поскольку мы на сей раз сталкиваемся с задней стороной нановихрей, ток в нашей катушке индукции изменяет своё направление. Здесь, на стороне южного полюса магнитного бруска, направление течения – по часовой стрелке. Увеличение и уменьшение тока на стороне южного полюса подобно тому, как это происходит на стороне северного полюса, когда перемещение катушки продолжается. Если мы теперь переместим катушку назад к ее первоначальному положению, мы столкнёмся с нановихрями в

каждой полярной зоне, всегда с противоположной стороной. Как следствие, направление наведённого тока противоположно направлению первого перемещения.

Если мы теперь отодвинем катушку от центра оси магнитного бруска, но параллельно ей, очевидно, что мы наведём только маленькую долю тока по сравнению с концентрическим движением, описанным выше. На рис. 15 можно видеть, что, в отдалении от оси магнитного бруска, мы получаем только различие интенсивности потока между наночастицами, расположенными около полюсов, и расположенными дальше. Если бы не было никакого различия между интенсивностью вихрей, индукция была бы невозможна, потому что мы имеем равную потоковую сущность нановихрей в отдалении от магнитного бруска, и потому что эти нановихря нейтрализовали бы друг друга в катушке, как было описано в отношении примера с каналами. Конечно, направление наведённого разностного потока зависит от направления потока тех нановихрей, которые расположены около полюсов и таким образом имеют большую интенсивность потока. Когда мы перемещаем катушку в пределах нейтральной зоны магнитного бруска по направлению к последнему, мы снова наталкиваемся на восходящие вихря наночастиц и получаем их потенциалы в катушке. Здесь, мы также наводим различие между близкими и отдалёнными нановихрями. Во время обратного движения, мы наталкиваемся на стороны вихря, обращённые к магнитному бруску и таким образом получаем реверсию направления тока.

Деривация потенциала нановихрей означает, что движение самих наночастиц или катушки во время соударений действует как принудительное вмешательство в состояние статического равновесия нановихрей и таким образом порождает потенциал или градиент в отношении первоначального состояния равновесия. Из-за взаимоотталкивания их вихрей в пределах главного вихря магнитного бруска, наночастицы являются, если можно так выразиться, жёстко закреплёнными сопротивлениями, которые уступают только силам, которые оказываются мощнее, чем силы их собственной взаимоподдержки. Не перемещаясь, наночастицы таким образом находятся в состоянии статического равновесия. Однако в тот самый момент, когда хотя бы одна единственная наночастица вытесняется из своей статической когерентности с помощью катушки или чего-либо подобного, возникает градиент к её первоначальному положению. Таким образом, вихрь наночастицы течет по направлению к лицевой стороне провода и токосъёмов катушки, в соответствии с созданным градиентом, его поток в том же направлении на провод катушки. Итак, генерирование индукционного тока связано с механической рабочей энергией, которая согласно принципу энергии является энергетическим эквивалентом электромагнитной энергии индукционного тока.

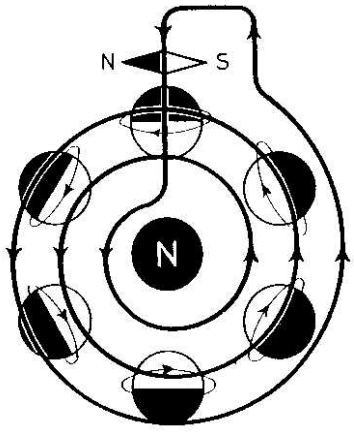

16

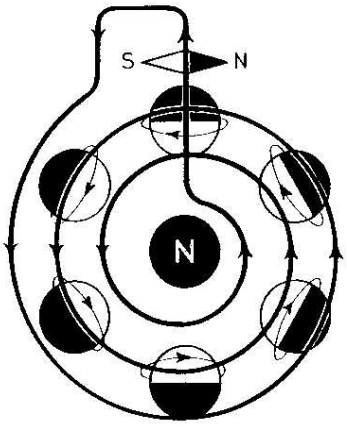

17

В отношении процессов индукции, схематично иллюстрированных на рис. 15, следует добавить, что совсем не одно и то же, скользит ли катушку индукции вдоль магнитного бруска в правосторонней или левосторонней манере. Хотя направление тока индукции абсолютно не изменяется, можно допустить ошибки, если не подумать об изменении полюсов на выводах катушки, когда катушка поворачивается. Опять же, этот пример доказывает логическую последовательность восприятия процессов индукции, описанных здесь. Рис. 16 показывает левостороннюю катушку с направлением взгляда к северному полюсу магнитного бруска с рис. 15. Если эту катушку, к которой подсоединён гальванометр, перемещать в направлении от наблюдателя, соударяющиеся потоковые стороны нановихрей переносят свои потоки в одном направлении к катушке, то есть против часовой стрелки. С другой стороны, на рис. 17 показана катушка после того, как её повернули на 180 ° так, что ее обмотка выглядит восходящей направо. При таком же перемещении катушки и таком же направлении тока индукции, показания гальванометра внезапно изменяются, потому что поворачивание катушки не сопровождалось изменением полюсов на выводах катушки.

Доказательство Существования Вихревых Эффектов Накопления

Следующий эксперимент предоставляет ещё одно чёткое доказательство существования вихревых эффектов накопления. Как и в большинстве представленных здесь экспериментов, автор прогнозировал ход отдельных направлений вращения жидкости в различных частях потока магнитного бруска. На рис. 18 показан в сечении по линии A-B стеклянный сосуд, в который погружается магнитный брусок. Выше и ниже магнитных полюсов помещены два конических металлических кольца 1, и 2 соответственно. Вокруг магнитных полюсов, прикреплены два металлических диска 3 и 4 соответственно, в то время как два металлических цилиндра 5 и 6 окружают так называемую нейтральную зону магнита. Внутреннее пространство заполнено некоторыми полярными группировками сильно увеличенными наночастицами, равно как и проводящей жидкостью, заполняющей стеклянный сосуд почти до края. Рисунок под стеклянным сосудом показывает сечение по C-D, включая металлические цилиндры 5 и 6. Частичный вид слева от сечения A-B показывает в направлении взгляда E верхние конические металлические кольца 1 и 2. Два частичных вида справа от сечения A-B показывают металлические диски 3 и 4, окружающие полюса в направлениях взгляда F и G, в то время как частичный вид в правой нижней части показывает нижние конические металлические кольца 1 и 2 в направлении взгляда H. Если плюс и минус напряжение снабжен коническим металлическим кольцам и цилиндрам согласно рисунку к каждому напряжению, прибывающему от отдельной батареи, то есть от общего количества 5 батарей, полная жидкость вращается в смысле крылатых стрелок в рисунке. Если на конические металлические кольца и цилиндры подаётся положительное и отрицательное напряжение согласно рисунку, и каждое напряжение подаётся с отдельной батареи, т. е. всего 5 батарей, то вся жидкость будет вращаться в направлении, указанном оперёнными стрелками. Если плюс и минус полюса, например конических металлических колец 1 и 2, меняются местами, жидкость в пределах этих частей будет вращаться в противоположном направлении, хотя кольца и цилиндры 3, 4 и 5, 6 сохраняют то же направление вращения, описанное выше. Если теперь плюс и минус полюса металлических цилиндров 5 и 6, также, жидкость вращается в том же направлении, что и части верхних и нижних металлических колец 1 и 2, полюса которых были ранее изменены, в то время как части 3 и 4 сохраняют противоположное направление. Если более внимательно посмотреть на различные рисунки, можно легко понять причины направляющих импульсов. Во-первых, мы обнаруживаем, что часть наночастиц представляет собой металлические ионы, которые под воздействием тока батареи мигрируют от плюс-металлов к соответствующим минус-металлам.

Как только металлические ионы покидают свои плюс кольца и диски, они оказываются окружёнными винтовыми потоками магнитного бруска (как показано на рис. 15) и поэтому принимают соответствующее им полярное положение в течение перемещения согласно рис. 18. Тот же относится и к наночастицам жидкости. Направление ионного винтового вихря определяется направлением нисходящих и восходящих вихревых потоков магнитного бруска, в то время как направление миграции ионов или наночастиц зависит от направления тока батареи. Как ясно видно на рисунках, на одной стороне наночастиц возникают эффекты накопления, то есть силы давления, по причине противоположных направлений потока вихрей, так же как и тока батареи, в то время как на равнонаправленной стороне потока возникают силы всасывания, заставляющие ионы или наночастицы вращаться вокруг магнитного бруска в направлении оперённых стрелок стрелок. Эффект сил всасывания и давления может быть легко прослежен на всех рисунках по стрелкам, обозначающим поток тока батареи, и вихревым стрелкам ионов.

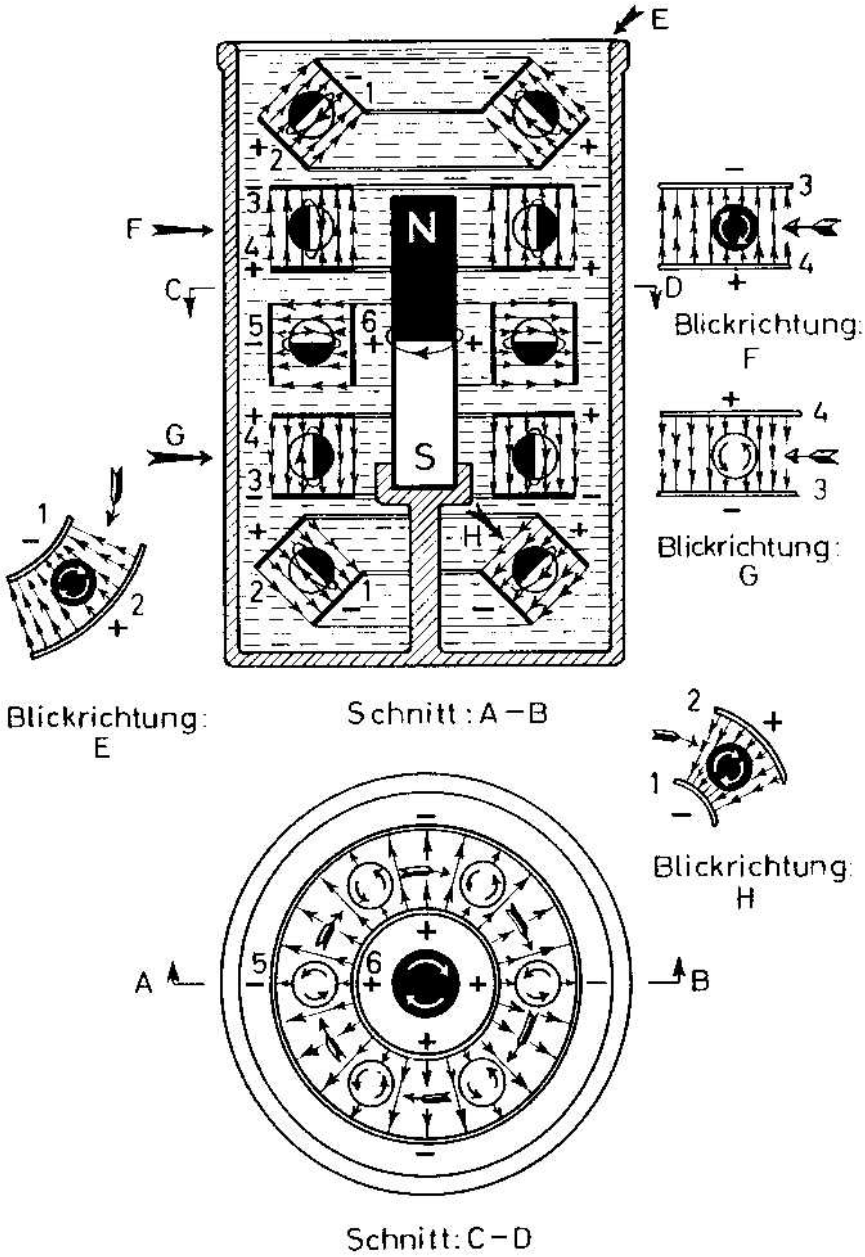

18

Функция Трансформатора

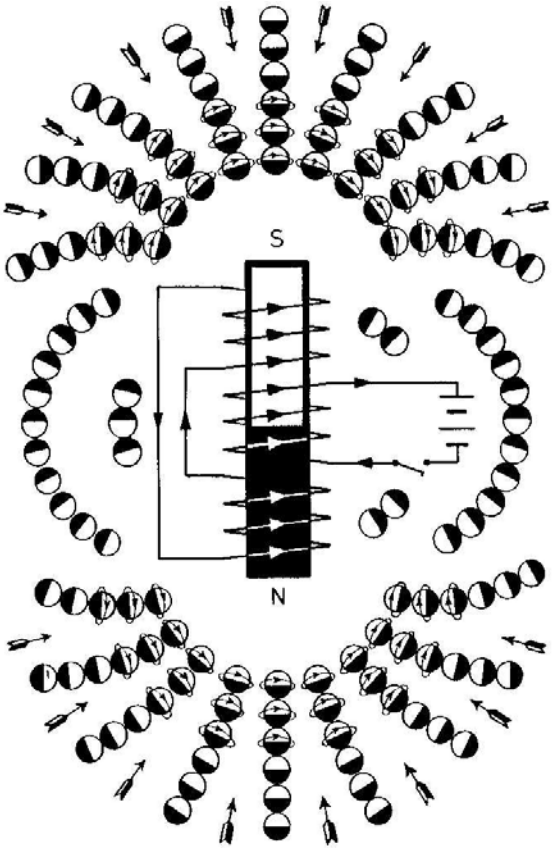

19

Постаравшись объяснить различные явления индукции в простой, иллюстративной манере, давайте перейдём к функции трансформатора. Рис. 19 демонстрирует принцип его действия, для простоты в форме, напоминающей рис. 15 за исключением того, что это - не постоянный магнит, а электромагнит. Первичная катушка расположена в его центре, а вторичные катушки – на полюсах. Вторичные катушки соединены друг с другом, чтобы поток тока индукции имел одинаковое направление в обеих катушках. В принципе, не имеет значения, подаётся ли через первичную катушку прерывистый постоянной ток или переменный ток, потому что в обоих случаях на вторичных сторонах получается переменный ток. Для нашего эксперимента мы предпочитаем постоянный ток, который мы прерываем посредством нажатия кнопки. Известно, что непрерывный постоянный ток не может быть трансформирован, потому что статически сбалансированные наночастицы остаются на своих позициях. На рисунке показан момент прерывания первичного тока. Мы упомянули ранее, что обычно наночастицы подвержены интенсивности поля земли и таким образом находятся на некотором расстоянии друг от друга. Эти естественные, определённые расстояния между наночастицами меньше чем расстояния в пределах поля магнитного бруска или живого проводника. Поэтому, если мы имеем дело с постоянным магнитным бруском как показано на рис. 15, взаимные расстояния наночастиц в пределах магнитного поля больше чем расстояния в пределах поля земли. Однако, расстояния постепенно приближаются к таковым поля земли пропорционально удалению наночастицы от магнита и уменьшению его интенсивности. Таким образом, в пределах магнитного поля мы имеем наибольшее положительное давление около полюсов, которое слабеет по направлению вовне. Теперь весьма очевидно, что в момент, когда б***о***льшая вихревая интенсивность наночастиц в пределах магнитного поля уменьшается до нормальной вихревой интенсивности

поля земли – чего можно легко добиться, прерывая ток, подаваемый на электромагнит - положительное давление исчезает, и начинается внезапное перемещение наночастиц от внешней стороны вовнутрь, до тех пор пока не достигается баланс давления с полем земли, то есть пока наночастицы снова не обретут расстояния, определенные полем земли. (Функция колебательного контура также возвращается к формированию положительного давления в пределах поля земли.)

В конце, самая большая вихревая интенсивность наночастиц – это не что иное, как количество энергии, требуемое для того, чтобы заставить ток течь, и это количество может быть более или менее восстановлено, когда ток прерывается. Если наночастицы, мигрирующие на высокой скорости извне внутрь ударяют электрический проводник, как вторичные катушки в нашем примере, показанном в рис. 19, они передают свою дополнительную или избыточную энергию катушкам в том же самом направлении, что и их соударяющиеся вихревые стороны. Однако, наночастицы, оттекающие назад ударяют не только вторичные, но также и первичные катушки, каковой факт называется самоиндукцией. Таким образом, вызывается всплеск тока не только во вторичных катушках но также и в первичной катушке, где направление тока во врмея оттока наночастиц во всех катушках такое же, как и направление тока в первичной катушке, как очевидно из рис. 19. Большая размыкающая искра, сгенерированная, когда первичный поток прерывается - результат соударения наночастиц, оттекающих на обмотке первичной катушки.

Когда мы замыкаем контур согласно рис. 19, вокруг мягкого железного бруска порождается потоковый вихрь, текущий в том же направлении, что и первичный поток, в соответствии с нашими предыдущими соображениями. Все наночастицы, расположенный вокруг железного бруска, захватываются этим вихрем, заряжаются и отталкиваются друг от друга на большие расстояния, в зависимости от интенсивности. Таким образом, когда контур замкнут, частицы мигрируют изнутри вовне, передавая свой потенциал в направлении их соударяющейся вихревой стороны обмотке катушки, о которую они ударяются. Направление индуцированного тока, однако, является противоположным первичному току, когда последний замкнут, потому что на сей раз соударяются противоположные вихревые стороны наночастиц. Первичная катушка также соударяется наночастицами, мигрирующими вовне и индуцируется в противоположном направлении. Таким образом, когда контур замкнут, в первичной катушке также возникает всплеск тока, известного как экстраток, направление которого протовоположно таковому первичного тока. Ясно, что этот так называемый экстраток должен быть вреден, поскольку он ослабляет первичный ток в соответствии с собственной энергией. В случае постоянного тока, это неудобство происходит только, когда ток задерживается во время замыкания и когда полюса двигателей постоянного тока меняются, в то время как в случае переменного тока каждый период показывает это ослабление в первичной катушке таким образом значительно уменьшая эффективность. Это ослабление называется отдачей или реактансом. Поскольку направленные внутрь и наружу движения наночастиц радиальны, легко понять, почему количество индуцированного тока не зависит от длины или окружности обмотки, но исключительно от количества витков.

Эффект Оболочки

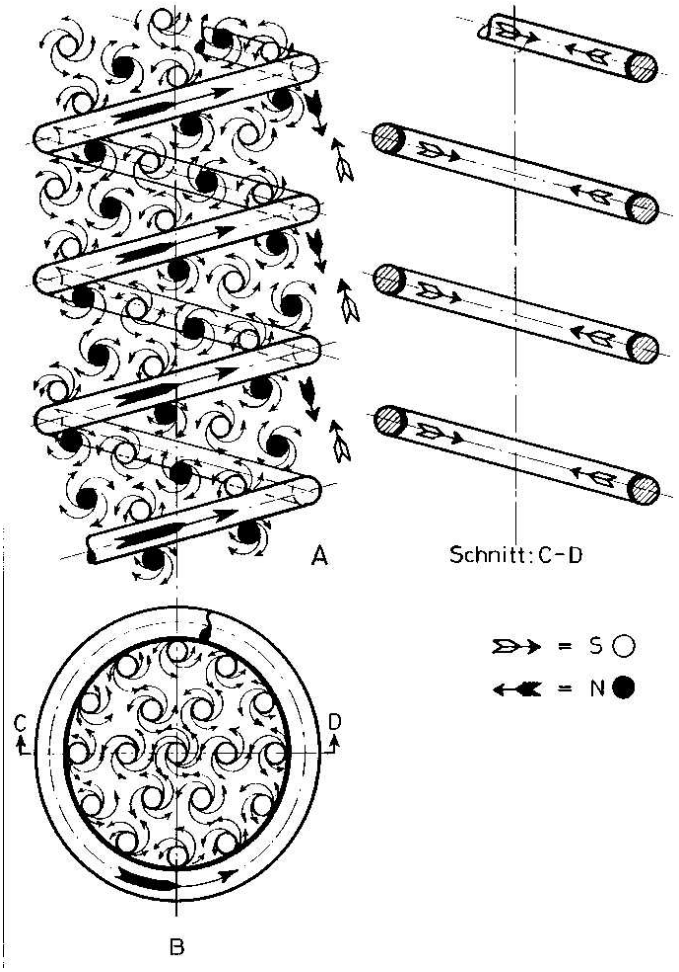

20

Функция индукции становится очень ясной в так называемом эффекте оболочки катушки высокой частоты в соответствии с рис. 20. Известно, что высокочастотный ток катушки течет главным образом на ее внутренней части. Рис. 20 покывает катушку с позиции A, в плоскости рассматривает и в сечении по C-D. Жирные, непрерывные линии в плоскостном представлении B и сечении C-D отмечают местоположение потока тока на внутренней части катушки. Если изучить особенность потока тока на внутренней части катушки B в приложении к вихревой теории, обнаруживается, что не возникает никакой отдачи, когда ток меняется, потому что вихревое направление наночастиц, перемещающихся радиально при соударении с противоположной части обмотки, то же самое, что и направление тока, текущего через эту часть обмотки. Однако, если наблюдать процесс индукции согласно схематическому виду катушки A, сразу можно понять, что нановихри, перемещающиеся в продольном направлении катушки, имеют противоположное направление потока, когда соударяются со следующим витком, и таким образом оказывают затормаживающее влияние на главный поток на поверхности пропорционально индукции. С другой стороны, эффект индукции, вызванный нановихрями, оттекающими назад, возникает на внешней стороне катушки только когда поле уменьшается до нуля.

В итоге можно сказать, что эффект оболочки на внутренней части катушки высокой частоты вызван дополнением, а между витками – отниманием индукции.

В области электротехнологий, нет никакого физического процесса, который нельзя было бы полностью объяснить в иллюстративной манере посредством этой вихревой кинематики. Мы зашли бы слишком далеко, если бы стали обсуждать все явления магнетизма и электричества посредством примеров. Поэтому только три принципа индукции должны быть здесь кратко обсуждены, а именно функция генератора или токогенерирующего механизма, причина перемещения токопроводника в магнитном поле, и функция беспроволочной передачи. Действительно, эти три примера отражают существование статически сбалансированных полей вихря наночастиц в пределах мегавихревого поля земли.

Процесс Индукции в Токогенераторе

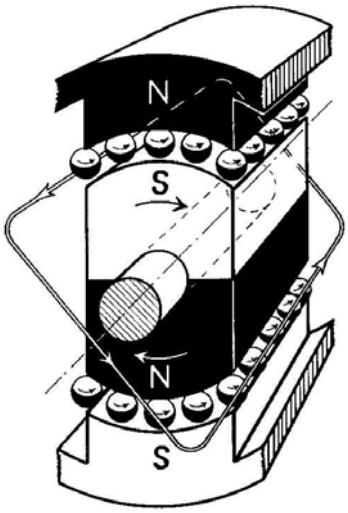

21

Рис. 21 схематично иллюстрирует процесс индукции в машине, генерирующей переменный ток. Для ясности вокруг ротора нарисован только один виток. Когда пары полюсов противоположны друг другу, все вихревые оси наночастиц выровнены параллельно полярной оси, так что проволочная обмотка во время прохождения между полюсами соударяется практически со всеми вихревыми сторонами наночастиц, расположенных в промежутке. В генераторе перемещается не только обмотка, но также и наночастицы нахлынивают туда и сюда, когда полюса ротора приближаются к полюсам статора и таким образом увеличивают свою скорость воздействия, потому что их взаимообратное движение всегда противоположно движения обмотки. Поскольку направление нановихрей между полюсами в точности равно направлению главного вихря магнитных полюсов, мы обнаруживаем тот же направление потока наночастиц в пределах двух так называемых однородных полярных полей. Если обмотка вращается согласно крылатым стрелкам, верхняя часть обмотки соударяется с левой вихревой стороной, в то время как нижняя часть соударяется с левой вихревой стороной наночастиц. Это вызывает одновременное дублирование индукции. Когда мы вытаскиваем обмотку из полярного региона, она все больше и больше соударяется с полярными сторонами наночастиц, пока, после поворота на 90 °, то есть в так называемой нейтральной зоне, ток индукции не уменьшается до нуля. Когда обмотка движется вне этой зоны, направление тока изменяется, потому что первоначальная верхняя часть обмотки теперь соударяется с левой вихревой стороной нижних наночастиц, в то время как первоначальная нижняя часть обмотки соударяется с левой вихревой стороной верхних наночастиц. Если мы развернём обмотку вовне больше, чем на 180 °, ток индукции во второй раз уменьшится до нуля, обретя при развороте на 270 °снова то же самое направление, что и во время разворота в пределах первой зона 90 °.

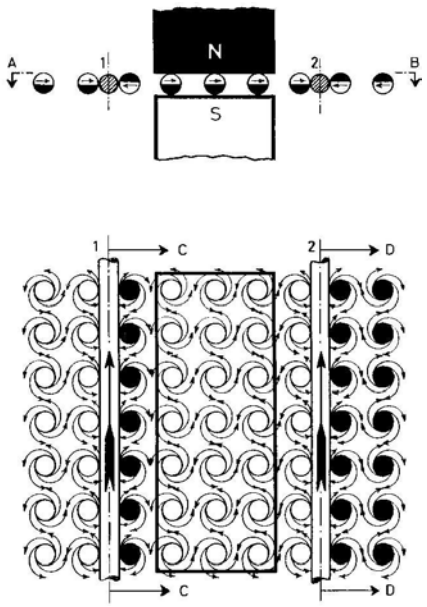

22

В этом контексте интересно также объяснить причину движения токопроводника в пределах магнитного поля, воспользовавшись вихревыми законами накопления. В верхней части Рис. 22 показано сечение магнитного поля между двумя полюсами и двумя проводниками 1 и 2; а в нижней части рисунка – сечение по A-B. Когда ток течёт через оба проводника в направлении жирной стрелки, направление потока наночастиц между проводником 1 и магнитным полем выпрямлено, в то время как направление потока наночастиц между проводником 2 и магнитным полем - противоположное. В результате, проводник 1 перемещается к магнитному полю в направлении C-C, в то время как проводник 2 перемещается от магнитного поля в направлении D-D. Итак, в этом случае оба проводника имеют одно и то же направление перемещения, потому что возникает всасывание или утончение на проводнике 1 и давление, или сжатие, происходит на проводнике 2 из-за накопления потока. Если направление тока проводников 1, 2 изменится, направление перемещения проводников изменяется тоже.

Индукция Магнитного Поля Земли

В отношении токогенерирующего механизма, мы сталкиваемся с фактом, что мы получаем потенциалы нановихрей, произведенные положительными магнитными давлениями посредством естественного (постоянного) или искусственного (временного) вихревого поля, и что возникающие энергетические бреши заполняются непрерывным притоком новой энергии от мегавихря земли. Другими словами: мы производим электрический градиент или потенциал, когда нарушаем состояние равновесия статически сбалансированных полей вихрей наночастиц принудительным и рассчитанным вмешательством..

Принцип Индукции Отдаленной Передачи и Отдаленного Приема

В основном, функция беспроволочной передачи подобна функции электрического проводника и катушки индукции за исключением того, что проводник заменен антенной передатчика, а катушки индукции – антенной приемника.

В обоих случаях, нановихревые поля, распределенные по всему полю земли, представляют среду индукции. Ранее мы видели, что в отношении индукции несущественно, перемещаются ли

электрический проводник или катушка индукции, или нановихревые поля возвратно-поступательным образом. Поскольку первый невозможен при беспроволочной передаче, нановихревые поля земного поля должны перемещаться взад и вперёд, что может быть осуществлено только путём периодического заряда и разряда нановихревых полей поля земли. В основном, это может быть выполнено двумя способами, а именно быстрым закрытием и прерыванием цепи постоянного тока или быстрым чередованием цепи переменного тока. Во всех системах передачи, поле земли в быстрой последовательности дополнительно заряжается и разряжается путём направленного или всестороннего излучения электрической энергии. Также и в земном поле вихри наночастиц движутся всегда под прямым углом к потоку или направлению лучей испускаемой энергии, так что для нилучшего приема антенна приемника должна быть выровнена в направлении лучей, потому что в этом случае оан подвергается воздействию наибольшего количества нановихревых полей. Движение нановихрей под прямым углом в горизонтальном направлении, то есть параллельно поверхности земли, ограничено конечностью окружности земли и поэтому слабо в эффекте индукции и диапазоне. Взаимные расстояния между наночастицами, обусловленное естественным полем земли, не могут быть увеличены горизонтально с помощью дополнительной зарядки, как это возможно сделать вертикально; поэтому, диапазон и индукция нановихрей, перемещаемых вертикально, лучше, чем таковые перемещаемых горизонтально. Так называемое отражение коротких волн от ионосферы, регистрируемое на земле как эхо, связано с вертикальным движением нановихрей. Высока вероятность того, что индуцировано может быть только дополнительное усиление земного поля, которое выражается в дополнительной заряженности вихрей наночастиц и увеличении их расстояний. Как станет ясным в Части Четвёртой о природе и распространении света, взаимные расстояния вихрей наночастиц увеличиваются благодаря солнечному излучению, так что в дневное время с одним квадратным сантиметром столкнётся меньшее число нановихрей, чем ночью. Поскольку частицы, из-за конечности окружности земли, не могут расходиться горизонтально в такой же степени, что и вертикально, распределение плотности вихрей наночастиц вокруг земли имеет овальную форму как на рис. 23. Поскольку температура также, имеет значительное влияние на увеличение расстояния между нановихрями, как объясняется в следующей главе, индукция далее зависит от температурных изменений. Объяснение причины этого влияния оставлено для следующей главы.

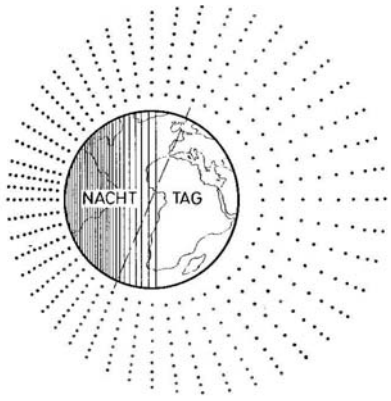

23

Мегавихрь Земли

Мы обнаружили, что ось вихря всегда тянется под прямым углом к потоку и что южный полюс оси всегда на левой стороне, когда возникает большая интенсивность потока над осью вихря, а направление потока - от наблюдателя.

Направление Потока Поля Мегавихря Земли

Когда мы, помня об этой закономерности, взглянем на различные положения магнитного бруска или магнитной стрелки на различных градусах широты и оценим эти положения с точки зрения их взаимоотношений и во всей их полноте, мы обнаружим, что вокруг земли с обеих сторон вверх от экватора и до более высоких градусов широты существует восточно-западный поток, равно как и мегавихрь, истекающий с земли, и входящий вихрь на каждом из магнитных полюсов земли. Два входящих вихря и один истекающий вихрь земли имеют то же самое направление потока, что и в случае с магнитным бруском. Так же, как мы поняли принцип потока в микромире маленьких, мы можем применить ту же самую идею и к макромиру. Поскольку земля представляет только маленькую часть солнечной системы, принцип вихревого потока должен иметь тот же эффект в большем масштабе солнца как и в масштабе земли.

Солнечный Гигавихрь

В то время как ось вращения вихревого потока магнитного бруска занимает положение под прямым углом к потоку мегавихря земли, последний занимает положение под прямым углом к солнечному вихревому потоку. Если мы имеем одинаковые направления потоков магнитного бруска и земли, мы, следовательно, имеем выпрямленный вихревой поток земли и солнца. Как мы поняли ранее, причина прямоугольного положения - накопление двух противоположных потоков. В отношении магнитного бруска (магнитной стрелки), мы находим это накопление на направленной от земли стороне вихря. Таким образом, мы имеем одинаковое направление потока земли и магнита, в то время как на стороне вихря магнита, направленной от земли, существует противоположное движение между вихрем магнита с одной стороны и мегавихря земли с другой. Точно так же, как магнитный брусок или магнитная стрелка сохраняют положение под прямым углом к мегавихрю земли, земля, то есть ось её магнитного полюса, сохраняет положение приблизительно под прямым углом к солнечному гигавихрю.

Возмущения Гигавихря

Это факт, что возмущения, возникающие в пределах солнечного вихря, оказывают эффект на мегавихрь земли, где эти возмущения передаются более мелким вихрям и нановихрям. Таким образом, ежедневные, ежегодные, и светские возмущения солнечного вихря передаются мегавихрю земли, а это оказывает влияние на вихри магнитных брусков и магнитных стрелок, что подтверждается в их ежедневных, ежегодных, и светских отклонениях в соответствии с курсом солнца и процессами на нём в основном контексте. В другой главе мы попытаемся предоставить дальнейшие основания для этих выводов.

Регистрация, Геомагнитный Дифференциальный Двигатель

На рис. 24 и 25 показан, в разработке автора, геомагнитный дифференциальный двигатель, оборудованный системой удаленной передачи для непрерывной регистрации геомагнитного поля. Этот двигатель даёт возможность понять более глубокие отношения между геомагнитным полем и солнцем. Известно, что геомагнитное поле подвержено непрерывным изменениям, обусловленным сменой дня и ночи, времён года и формированием облаков. Эти изменения, как и протуберанцы, вздымающиеся на передней и обратной стороне солнца, регистрируются очень характерным способом. Кроме того, похоже, что существует взаимосвязь между некоторыми землетрясениями и геомагнитным полем. Например, некоторые резкие возрастания кривых совпали почти в с точностью до часов с землетрясением в южной Франции и землетрясением в

тихоокеанском регионе в 1959 г. Автор смог также обнаружить взаимоотношения между геомагнетизмом и колебаниями расстояния до солнца (афелий и перигелий). В связи с обсуждаемыми здесь идеями, это наблюдение позволяет сделать вывод, что геомагнитное поле в основе своей является не подлинным полем земли, но подлинным полем солнца, представляя не что иное, как солнечное поле тяготения, сужающееся в соответствии с расстоянием от солнца. Можно также заключить, что на соответствующем расстоянии поле тяготения земли также сжимается и действует как магнитное поле. Множество интересных и более точных результатов будет получено в будущем, когда на различных градусах меридианов и параллелей будет постоянно работать немалое количество геомагнитных дифференциальных двигателей.

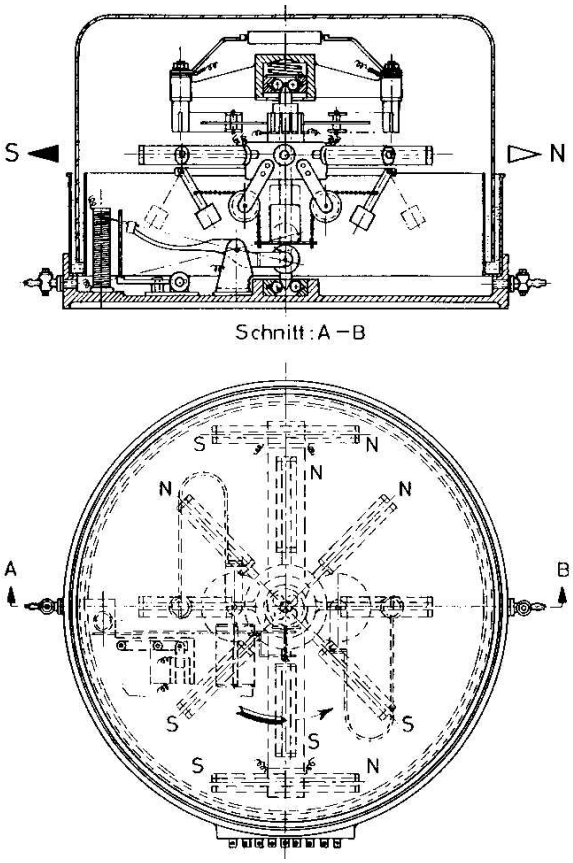

24

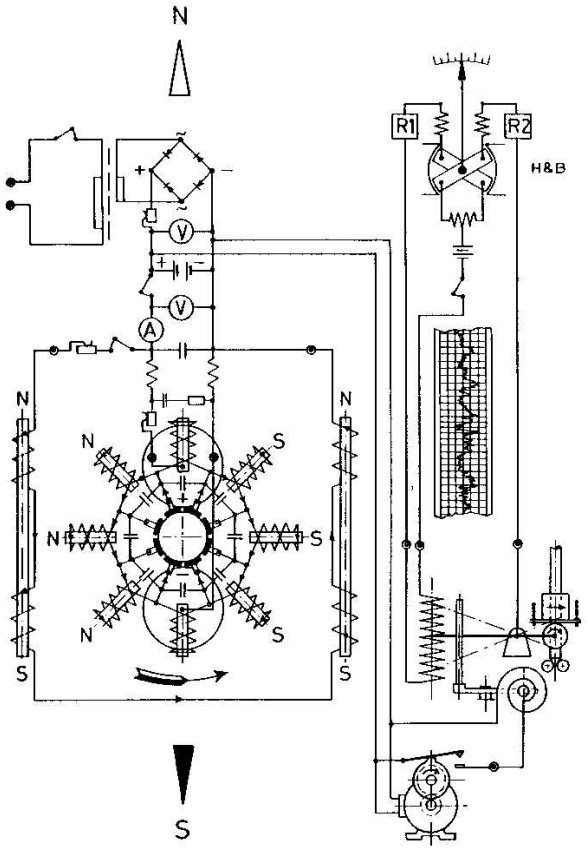

25

Двигатель состоит главным образом из ротора, оснащённого роликовым контакотом-токоснимателем и полем ротора, которое сохраняется постоянным, плюс две постоянные статорные катушки, снабжённые постоянным но более слабым статорным полем. Задача последнего состоит в компенсировании сил трения ротора, которые сводятся к минимуму так, чтобы почти исключительно действовал и регистрировался только геомагнетизм. Более того, нулевое положение двигателя определяется этим постоянным статорным полем путем поворачивания двигателя по его северо-южной оси (1-1) на 180 °. В этом положении статорное поле 3-4, подключённое к двигателю, отрегулировано таким образом, чтобы двигатель пришёл в бездействие. В этом положении самописец удаленного регистратора помещен на нулевую линию. После этой регулировки двигатель поворачивают назад на 180 ° в его первоначальное положение так, чтобы два северных полюса статорных катушек были направлены на Северный полюс земли. В этом положении двигатель начинает работать и получает соответствующую скорость в соответствии с плотностью статорного поля земли. Эта скорость может

варьироваться между 10 и 100 оборотами в минуту. Если плотность поля земли увеличивается или уменьшается, двигатель будет работать медленнее или быстрее соответственно. Благодаря центробежной силе, скорость переносит воздействие в радиальном направлении на два груза, каждый из которых прикреплён к рычагу диаметрально противоположно другому. Эти грузы связаны через цепи с противовесом, установленном с возможностью скольжения на оси ротора. Под нижней передней стороной этого груза устроен подвижной рычаг-датчик, который без трения передает движения груза через зубчатый механизм на удаленный барабан сопротивления передатчика, подключённый к удаленному регистратору. Через определённые интервалы, электрически управляемый прижимающий рычаг приводит рычаг-дачик в контакт с барабаном сопротивления и таким образом без трения передает соответствующие действительные значения геомагнитного поля.

Части Характерных Диаграмм

На рис. 26 показаны геомагнитные колебания в течение одной недели на 49-ом градусе широты и 8-ом восточном меридиане. Относительно конструктивных особенностей геомагнитного дифференциального двигателя, можно добавить, что шпиндельные подшипники ротора работают в призменных шарикоподшипниках специальной конструкции, сопротивление трения которых было уменьшено до минимума. В испытательной модели, отношение понижения между шпиндельным диаметром и шарами - 1:5. Передача постоянного тока на токосниматель осуществляется не обычными скользящими контактами, а роликовыми контактами с отношением понижения 1:50. Действительное трение этих специально разработанных роликовых контактов токоснимателя приближается к нулю и таким образом предотвращает действительни любое влияние трения даже в случае более высокого давления контакта. Хотя рассеивающиеся искры токоснимателя в соновном гасятся конденсаторами, очень крошечные, почти невидимые искры на функциональных поверхностях токоснимателя и колес ролика со временем формировали бы окисный слой, который бы оказывал неблагоприятный эффект на измерения из-за увеличивающегося сопротивления, если бы не был установлен ротор в контейнере, заполненном инертным газом. Верхняя часть контейнера в форме плавучего колокола снабжена стеклянным окном для удобства наблюдения за ротором. Конечно, измерения были бы идеальными, если бы ротор не подвергался изменениям сопротивления из-за изменений атмосферного давления, то есть если бы он был установлен в вакуумированном контейнере.

Для полноты следует отметить, что ротор работает даже без статорных катушек 3-4, но в этом случае на измерения влияют некоторые различия трения.

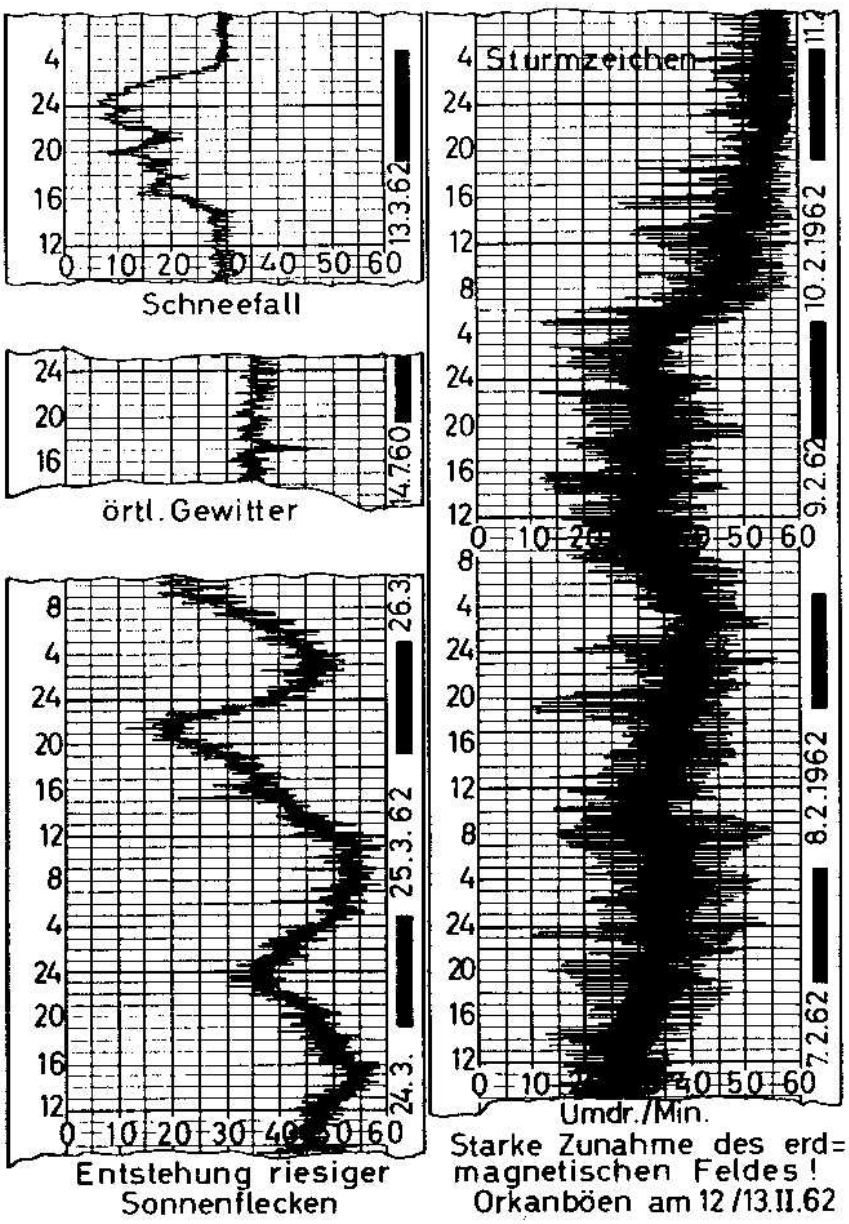

26

В контексте этого двигателя следует упомянуть и о другом интересном эксперименте, который будет иметь значение для дальнейшего обсуждения. Если на коротком расстоянии расположить мягкий железный брусок как продолжение полярных осей, и если у его внешнему концу поднести постоянный магнит, скорость двигателя увеличивается из-за эффекта воздействия. Если мягкий железный брусок нагреть пламенем газовой горелки или чем-либо подобным, двигатель замедляется из-за влияния высокой температуры. С другой стороны, скорость мотора увеличивается, если мягкий железный брусок охлажден.

Действительное Электричество Солнца и Земли

Если прояснять идею, лежащую в основе схемы проекта, изучая взаимодействие множества специфических компонентов, например карманных часов, есть в основном два способа достигнуть одной и той же цели. Наиболее очевидный и обычный путь – наиболее точно изучить законы, управляющие действием различных компонентов, затем категоризировать эти

компоненты, связать их и из функций индивидуальных компонентов вывести функцию всех. Этот путь ведет от индивидуальных материальных элементов к идее проектировщика. Другой путь - оригинальный, прямой путь от идеи проектировщика к материальной эффективности компонентов. И если мы хотим идти этим путём, нам необходимо попробовать окунуться в мир идей проектировщика. Мы сами должны подражать проектировщику, чтобы перейти от задачи к идее и от идеи к индивидуальным компонентам. Мы сами должны заранее привести элементы в систему и определить и вычислить индивидуальные, групповые и общие функции. Если наши ожидания оправдываются, то наши смоделированные идеи и мысли были правильны. Если наши ожидания оправдываются только частично или вообще никак, то мы восприняли идею проектировщика только частично или вообще никак. Мы можем обозначить первый путь как эмпирический, связанный опытом путь от материального к духовному миру идей, а второй путь – как познавательный путь от духовного к материальному миру. В дальнейших рассуждениях, мы предпочитаем следовать познавательным путем. Он труднее, но ведет нас к цели безопаснее и быстрее.

Чтобы проиллюстрировать и объяснить различные процессы индукции в наших рассуждениях, мы должны были допустить существование невидимых потоков энергии, поскольку они знакомы нам по отношению к законам потоков газа и жидкости. Это допущение даже позволило нам определить направления невидимых потоков и основные отношения между земными и космическими процессами. Мы назвали эти невидимые потоки энергии действительным солнечным электричеством.

Свойства Действительного Солнечного Электричества

Мы можем представить это действительное солнечное электричество как восточно-западный спиральный поток, исходящий из солнца, результатом которого является солнечное тяготение по всей солнечной системе. Мы обсудим эти отношения более подробно ниже. Пока, позвольте нам только заявить, что эффект этого действительного солнечного электричества напоминает аэродинамические и гидродинамические законы потока. Следовательно, мы должны приписать действительному солнечному электричеству подобные свойства типа расширения от нагревания и сжатия от охлаждения, также как и тот факт, что высокая температура производится движением, трением, накоплением, в то время как причина низкой температуры – отсутствие трения и накопления, то есть состояние покоя. Можно также сказать, что полюс высокой температуры связан с движением, а полюс холода – с покоем. Таким образом, действительное солнечное электричество - движущееся электричество, в то время как потенциальное электричество – электричество покоя, находящееся в самом низком полюсе холода. Эти отношения также будут рассмотрены ниже более подробно. Потенциальное электричество или энергия - первоначальное физическое состояние всех веществ, так что это - первое физическое состояние материи, создающее предпосылку для газообразного состояния, так же, как последнее создаёт предпосылку для жидкого состояния, которое, в свою очередь, служит предпосылкой для твердого состояния. Поэтому потенциальное электричество или энергия должны быть расценены как строительный материал материального мира.

Природа Тепла и Холода

Если мы применим нашу точку зрения, что состояние тепла является только результатом трения и накопления, к нашему действительному электричеству, мы обнаружим следующее: С этой точки зрения, давайте ещё раз, внимательнее посмотрим на рисунки, приведённые выше. Мы

осуществляем накопления противоположных вихревых потоков во всех пространствах между наночастицами. Так что эти накопления должны порождать тепло независимо от того, смотрим ли мы на искусственное или естественное вихревое поле типа произведенного постоянным магнитом. Поскольку действительное солнечное электричество закруживает наночастицы более или менее интенсивно в зависимости от их вещества и физического состояния, мы можем наблюдать оперделённое тепловое состояние материи благодаря этому накоплению. Известно, что в областях, которые испытывают недостаток солнечного излучения в течение нескольких месяцев, температура никогда не падает ниже-67°C. Эта очевидная температурная задержка - с одной стороны результат накопления противоположных вихрей наночастиц, вызванного действительным солнечным электричеством и действительным геоэлектричеством, и с другой стороны – шаровыми зонами накопления наночастиц, которые будут обсуждаться позже. Некоторые вещества, такие как содержащие радий, имеют более высокое накопление тепла благодаря их внутренней структуре. Но подобно тому факту, что конечная температура искусственно порождённого вихревого поля электрического проводника не может быть превышена, потому что количество тепла, непрерывно поставляемого в окружающую среду равно теплу, порождаемому накоплением протекающего действительного солнечного электричества, окончательная температура вихревого поля этих веществ не может превышать определённый показатель выше окружающей температуры. В пределах электрического проводника нельзя обнаружить вихрей в оси проводника, потому что наночастицы проводящего вещества окружены потоками по всем сторонам. Формирование вихрей возрастает по направлению к краю сечения проводника, пропорционально радиусу от оси проводника так, что вихревая интенсивность наночастиц сильнее всего на краю или около поверхности электрического проводника.

Причина Электрического Сопротивления в Проводнике и Теплопроводности

Если бы электрический проводник содержал только те наночастицы, который мы описали выше как частицы, расположенные в пространстве вне проводника, внутри проводника возникали бы только маленькие вихри и генерация тепла накопления, так что распространение вихрей (теплопроводность) шло бы быстрее, а специфическое сопротивление было бы меньше. Но практически мы обнаруживаем различные вихревые интенсивности и скорости распространения вихрей, в зависимости от структуры и материального состояния проводника. Можно сказать, что высокие и плотные вихревые интенсивности медленно распространяются на смежные частицы, потому что формирование крупных вихрей или большой заряд требуют некоторого времени. Большие вихревые интенсивности вызывают большие накопления, то есть сильную выработку тепла. Следовательно, большие накопления ведут к высокому сопротивлению. Альтернативно можно сказать, что низкие вихревые интенсивности очень быстро распространяются на смежные частицы, потому что более низкий заряд, естественно, требует меньшего количества времени. Небольшие вихревые интенсивности вызывают небольшие накопления и небольшую выработку тепла и, таким образом, низкое сопротивление. Серебро, например, имеет удельное сопротивление приблизительно 0.016 Ом и уровень теплопроводности 0.00035064 килокалорий на один метр, сечение одного квадратного миллиметра и одночасовоую разницу температур, в то время как графит имеет сопротивление 40 Ом и теплопроводность только 0.00000360 килокалорий, в то время как другие показатели подобны таковым в примере с серебром.

Вихревая интенсивность материальных наночастиц не может увеличиваться бесконечно, поскольку существует предел насыщенности.

Увеличение и Уменьшение Электрического Сопротивления из-за Увеличения Температуры

Как подробнее описано ниже, сопротивление должно увеличиваться, пока не достигается предел насыщенности, и должно уменьшаться при превышении этого предела. Этот предел насыщенности давно был преодолён в некоторых неметаллических веществах, таких как углерод в форме графита, суперокись свинца, суперокись марганца, кремний и карбид благодаря высоким показателям их удельного сопротивления и низкой теплопроводности или показателей распространения. Следовательно их удельное сопротивление уменьшается при увеличении температуры, в то время как удельное сопротивление металлических веществ, имеющих меньшие коэффициенты сопротивления и большие коэффициентов теплопроводности, увеличивается с увеличением температуры. Как только достигнут предел насыщенности, расширение или сужение действительного солнечного электричества имеет место, когда температура возрастает. Накопление, а с ним и сопротивление уменьшаются.

Удельное сопротивление и теплопроводность в веществе – взаимосвязанные значения, то есть они взаимно соотносятся друг с другом. Чтобы уподобить эти взаимосвязанные значения, должен использоваться эффект Джоуля, порождённый удельным сопротивлением и выраженный в килокалориях в одних и тех же единицах времени. Соответственно, эффект Джоуля серебра:

Q=0.00024•J2•W•t=0.00024•12•0.016•36=0. 014 ккал/ч.

Для сравнения, эффект Джоуля графита:

Q=0.00024•12•40•3,600=34.560 ккал/ч.

Закон Термо-ЭДС Последовательности

Поскольку коэффициент теплопроводности – это выражение скорости зарядки, а эффект Джоуля меру для принимающей ёмкости наночастиц проводящего вещества, продукт обоих факторов - мера энергии или интенсивности заряженного вихря наночастиц. Если вычислить вихревые интенсивности различных веществ и поместить их в список согласно величине, можно видеть, что этот порядок величин в принципе соответствует эмпирической термо-ЭДС последовательности. Следующая таблица содержит подсчёты автора в отношении некоторых проводящих веществ, приведенные в порядке величин один под другим. Вихревая интенсивность соотносится с температурой вещества 18°C. При более низких или высоких температурах последовательность вихревых интенсивностей и, соответственно, термо-ЭДС последовательность меняется благодаря превышению или недостижению предела насыщенности.

Вещество	**Удельное сопротивление**	**Коэффициент теплопроводности**	**Эффект Джоуля**	**Вихревая интенсивность**
	6 мм²/м	ккал/см•сек•градус	Q=0.00024•J²•W•t/sec	K•Q
Висмут	1.2 - 1.4	0.0194	0.0003360	0.000006458
Константан	0.45 - 0.5	0.0540	0.0001080	0.000005832
Платина	0.108	0.1664	0.0000259	0.000004309
Олово	0.110	0.1570	0.0000264	0.000004144

Золото	0.023	0.7003	0.0000552	0.000003865
Серебро	0.016	1.006	0.00000384	0.000003863
Медь	0.0175	0.8915	0.00000420	0.000003744
Железо	0.09 - 0.15	0.1436	0.0000216	0.000003101

Природа Термоэлектричества

Если два различных вещества соединены и нагреты в точке соединения, становится очевидно, что справа и слева от точки соединения не может существовать никакого вихревого равновесия, потому что вихревая интенсивность на одной стороне выше чем на другой. Таким образом, здесь существует чистый потенциал или градиент. Как необходимость, поток электричество начинается от более высокой к более низкой вихревой интенсивности, то есть расширяющиеся потоки действительного солнечного электричества от вещества с более высокой температурой возрастают к веществу с более низкой температурой. В соответствии со своей природой, действительное солнечное электричество, расширяемое теплом, всегда течет в более холодную зону. Чем больше тепловое различие, тем более крутой градиент имеет поток. Однако для направления потока также важно, какое вещество имеет более низкое сопротивление во время увеличения температуры, то есть какие наночастицы уже превысили предел насыщенности заряда. Ввиду вышеупомянутого, чтобы произвести тепловой поток, не требуется соединения двух различных веществ, но достаточно нагреть проводящее вещество в любом месте и перемещать или источник тепла или нагретое место вперёд-назад. Если в первом тесте источник тепла закреплён неподвижно под проводящим веществом, на обеих сторонах существует вихревая интенсивность или равновесие потенциалов. Расширенное действительное солнечное электричество стремится истекать к обеим более холодным сторонам, но остается сбалансированным благодаря состоянию равновесия. Таким образом, равные градиенты, истекающие на обеих противоположных сторонах нейтрализуют друг друга. Если источник тепла перемещается вправо или влево, равновесие потенциалов нарушается, и расширенное действительное солнечное электричество начинает истекать к стороне, имеющей более низкое удельное сопротивление. Как мы выяснили ранее, увеличение или уменьшение удельного сопротивления в случае повышения температуры увеличения зависит от предела насыщенности вихря. По этой причине, направление тока равно направлению движения источника тепла для множества веществ, таких как медь, в то время как для углеродсодержащего железа и других веществ, имеющих низкий коэффициент теплопроводности, направление тока противоположно направлению движения источника тепла. Если в случае меди источник тепла перемещается вправо, более высокая теплоёмкость будет слева. По мере того, как удельное сопротивление меди повышается вместе с нагреванием, ток находит более низкое сопротивление на правой стороне, имеющей более низкую теплоёмкость и, следовательно, истекает к правой стороне. Если источник тепла перемещается вправо под веществами с низким коэффициентом теплопроводности, такими как уголь, свинец, сурьма, углеродсодержащее железо, удельное сопротивление на левой стороне, имеющей самую высокую теплоёмкость, будет ниже из-за перенасыщения вихря, чем на правной стороне, имеющей более низкую теплоёмкость. Следовательно, поток течет не направо, а налево, то есть протовоположно движению источника тепла.

Равновесие потенциалов электрического проводника может также быть нарушено путём нагревания одного конца проводника и помещением другого, холодного конец на нагретый. В тот же момент равновесие потенциалов значительно нарушается, и ток течёт, в точности как

описано выше, к стороне, имеющей более низкое сопротивление, пока состояние равновесия не будет достигнуто снова путём нагревания холодной части электрического проводника.

Причина Смещения Самых Тёплых и Самых Холодных Дней Года

Известно, что самые тёплые и наиболее холодные дни года не совпадают с самым длинным днем 21-ого июня и самым коротким днем 21-ого декабря, но самые тёплые дни у нас приблизительно в середине июля, и наиболее холодные – приблизительно в середине января. Основываясь на вышеизложенных соображениях, мы должны сделать вывод, что самые высокие и самые низкие температуры года не могут иметь место во время самых длинных и самых коротких дней, потому что в это время, если можно так выразиться, в группировке наночастиц существует состояние покоя. Только после изменения продолжительности дня и полуденной высоты солнца поверхность земли, а с ней и действительное солнечное электричество, текущее вокруг земли, прогреваются по-разному. Солнечное излучение начинает ослабевать только после 21-ого июня, вызывая постепенное сжатие действительного солнечного электричества, то есть расстояния между наночастицами в атмосфере становятся меньше, а их тепло вихревого накопления больше, потому что существует большая плотность накопления на единицу области. Так что в середине июля к относительно сильному солнечному излучению добавляется дополнительное большое тепло накопления противоположных вихрей наночастиц. Тот же самое относится - в противоположном смысле - к зиме. Увеличение солнечного излучения и следовательно постепенное расширение действительного солнечного электричества или увеличение расстояния между вихрями наночастиц начинается только после 21-ого декабря, вызывая относительное уменьшение тепла накопления. В дополнение к солнечному излучению, все еще слабому в середине января, расширение взаимных расстояний между нановихрями и, следовательно, уменьшение тепла накопления, отнимает дополнительное тепло у земли. По этим причинам, самые тёплые и самые холодные дни не могут выпадать на 21-ое июня и 21-ое декабря, а только несколько позже, когда начались изменения расстояний нановихрей, а воздействие солнечного излучения еще не сказывается решающим образом на увеличении или уменьшении температуры на поверхности земли. Практическое использование этого восприятия в отношении тепла и холода будет вероятно начато в ближайшем будущем, когда очень высокие температуры будут достигаться путём периодического резкого увеличения напряжения магнитных полей, в то время как очень низкие температуры будут получены путём увеличения расстояния между вихрями наночастиц, а достигать самых высоких температур в противоположном смысле можно будет, сокращая напряжение, то есть, сокращая расстояния между нановихрями.

Само собой разумеется, что существуют внутренние отношения между законом генерации холода – увеличением расстояний между вихревыми полями – и генерации тепла – уменьшением расстояния между вихревыми полями – и законом расширения и сжатия твёрдых, жидких и особенно газообразных веществ в горячих и холодных состояниях, также как и изменение напряжения. Во всех случаях, действительное электричество, текущее вокруг всех наночастиц, является причиной расширения и сжатия веществ. Расширение вызвано увеличением напряжения, а сжатие – уменьшением напряжения действительного электричества. Увеличение напряжения достигается либо теплом, либо увеличением текущего градиента, в то время как уменьшение напряжения достигается либо холодом, либо уменьшением градиента. Расстояния между вихрями становятся больше или меньше в зависимости от их интенсивности. Однако не только действительное солнечное электричество, но также и действительное геоэлектричество вовлечено в расширение и сжатие веществ. Последнее – специфически

земного характера и порождается внутри земли. Действительное геоэлектричество, которое будет далее объясняться в следующих главах, является причиной земного тяготения. Оно отличается от действительного солнечного электричества только своим состоянием напряжения. Действительное солнечное электричество исходит из солнца и имеет, по причине большого расстояния до солнца, на поверхности земли не такое же высокое напряжение, как действительное геоэлектричество, расстояние которого внутрь, то есть к зоне динамического равновесия, земли относительно невелико. По причине его высокого состояния напряжения, его нельзя измерить таким же образом, что и действительное солнечное электричество. Только сила ускорения падения даёт возможность непосредственного измерения его состояния напряжения. Таким образом, действительное солнечное электричество имеет на поверхности земли состояние напряжения и плотность в соответствии с расстоянием до солнца, в то время как действительное геоэлектричество имеет напряжение и плотность, соответствующие земле. Все земные вещества подчиненны вихрю действительного геоэлектричества, но также и действительному солнечному электричеству относительно в том же смысле, при том различии, что геоэлектричество имеет, благодаря расстоянию, значительно более высокое напряжение и более низкую плотность, чем действительное солнечное электричество, эффект которого понимался как геомагнитное поле при обсуждении геомагнитного дифференциального мотора.

Влияние Действительного Солнечного Электричества на Общий Климат

Действительное солнечное электричество оказывает особенно значительное влияние на вещества в газообразном физическом состоянии. Атмосфера, например, непрерывно испытывает это влияние. Если вихревая интенсивность действительного солнечного электричества увеличивается в пределах поля земли, давление воздуха уменьшается, в то время как давление воздуха увеличивается, когда действительное солнечное электричество уменьшается. Вообще, можно сказать, что влияние действительного солнечного электричества определяет общую погодную ситуацию на земле. Аналогично, действительное солнечное электричество, независимо от солнечного излучения, в значительной степени вовлеченно в явления тепла и холода. Мы также должны различать, увеличивается ли или уменьшается поле действительного солнечного электричества - с солнечным излучением или без него. В общем, можно сказать, что уменьшение поля действительного солнечного электричества вызывает повышение температуры, а его увеличение – понижение температуры, протсто потому, что высокая температура - результат противоположного накопления нановихрей действительного солнечного электричества и изменения расстояний нановихрей.

Формирование Облаков и Града

Во время формирования облаков и града мы можем наблюдать, что холод возникает, когда поле действительного солнечного электричества значительно увеличивается, вызывая конденсацию водного пара в атмосфере, что приводит к формированию облаков, града и гроз, то есть разряду действительного солнечного электричества (молния). Кроме того, увеличение расстояния между наночастицами делает атмосферу более прозрачной, расширяя и увеличивая диапазон обзора. Практическое использование этого нового восприятия позволит в ближайшем будущем осуществлять значительное влияние на местную погодную ситуацию. Будет возможно предотвратить, например, местный град, стимулируя заряженное поле земли быстрыми движениями наночастиц – либо с помощью искусственных молний, либо взрывоподобными колебаниями. Для этого, в защищаемых регионах необходимо разместить должным образом сконструированные и хорошо заземлённые антенны. С другой стороны, можно вызвать дождь

путём зарядки поля земли. Необходимо проведение крупномасштабных испытаний для выяснения наилучшего способа произведения такой зарядки. Было бы возможно, например, рассеивание точно распределяемых электрически заряженных веществ с самолетов, летящих на больших высотах. Эта дополнительная зарядка атмосферных наночастиц увеличила бы их расстояния между ними, вызывая охлаждающий эффект и, таким образом, конденсацию атмосферного водного пара, который затем выпадет в виде дождя. Вышеупомянутая генерация холода путём увеличения напряжения уже бы, таким образом, существовало в природе.

Причина Точки Абсолютного Нуля

Поскольку, согласно этой вихревой теории, электричество и действительное солнечное электричество подобны друг другу и отличаются только в плане напряжения и плотности, явления накопления, тепла, и сопротивления должны также быть одним и тем же. Поскольку высокая температура порождается накоплением, вызванным противоположными вихрями, это накопление может также быть обозначено просто как сопротивление действительного солнечного электричества. Когда, в случае чистых металлов, электрическое сопротивление, которое является всего лишь результатом эффекта вихревого накопления электрического тока, возрастает до приблизительно 0.4 % на градус понижения температуры, это должно быть применимо и к газам, когда понижение температуры должно согласовываться с уменьшением накопления противоположных вихрей. И дело действительно так и обстоит, потому что уменьшение накопления газов в то же время связано с уменьшением расстояний наночастиц и таким образом с сокращением объема, которое, хотя и не равномерно до самых низких температур, составляет 0.3662 % на градус понижения температуры, то есть сопротивление действительного солнечного электричества уменьшается в газах на 0.3662 % на градус понижения температуры, в то время как сопротивление электричества составляет 0.4 % в чистых металлах типа меди, свинца, алюминия. Так что легко подсчитать, что при 100 % понижения температуры на отметке минус 273 °C сопротивление и, следовательно, вихревое накопление и накопление тепла должны полностью исчезнуть. Другими словами, это подразумевало бы, что начиная от -273 °C, действительное солнечное электричество в веществах больше не подчинено вихревому формированию и поэтому течет через вещества без какого бы-то ни было накопления или сопротивления. Единственной причиной такого поведения электричества может быть тот факт, что действительное солнечное электричество, достигающее земли при определённой плотности и напряжении, ни расширяется, ни сжимается при температуре точно в минус 273 °C, то есть, что именно эта температура соответствует его состоянию напряжения по достижении земли. Так что действительное солнечное электричество больше не имело бы никакого вихревого градиента, накопления и генерации тепла за пределами минус 273 °C. Однако, действительное геоэлектричество остается незатронутым этой температурой, поскольку его состояние напряжения намного выше чем таковое действительного солнечного электричества. Из-за зависимости напряжения действительного солнечного электричества от расстояния между солнцем и землей, возникает поворотный момент в систематичности кинетической газовой теории на отметке приблизительно в -273 °C. Законы кинетической газовой теории больше не применимы за пределами этого поворотного момента.

Чёткое рассмотрение показывает, что, хотя мы неспособны в настоящее время понизить температуру ниже -273 °C, нет никакой причины останавливаться на этой температуре в наших дальнейших рассуждениях. Действительно, непреклонный закон логики позволяет нам допустить, с видом на структуру веществ, описанную в Части Второй, что температуры далеко ниже-273 °C являются возможными и правомерными. Кроме того мы приходим к восприятию

того, что температура -273 °C - специфически земная величина, которая не должна применяться к астрономическим телам, имеющим другие расстояния до солнца, и что на самом деле каждое астрономическое тело в пределах солнечной системы имеет свою собственную определенную так называемую точку абсолютного нуля. Например, средние специфические точки абсолютного нуля в °C для наших планет были бы следующие:

Меркурий -106	**Венера -197,5**	**Земля -273**
Марс -418	**Юпитер -1425**	**Сатурн -2610**
Уран -5250	**Нептун -8230**	**Плутон -10800**

При экспериментальном определении самой низкой температуры необходимо принимать во внимание самые близкие и самые дальние расстояния от солнца, потому что и те, и другие должны давать различные результаты.

Резюме

Теперь, когда автор сделал попытку грубо выделить новый, универсально эффективный вихревой закон, мы не хотим завершить наши рассуждения без того, чтобы еще раз не взглянуть на существенные особенности и характеристики этого закона, чтобы, возможно, лучше осветить некоторые из новых восприятий. Ради ясности и краткости, расположем полученные восприятия в алфавитном порядке как независимые члены единого целого.

1. Контактное давление (притяжение) и отталкивание

Так называемое притяжение, которое мы обозначаем как контактное давление, в соответствии с нашими идеями всегда означает силы давления, действующие в пространстве снаружи внутрь, то есть центростремительным способом, в то время как отталкивание означает центробежные силы. Чтобы прояснить это различие, мы должны начать с нормального состояния земного поля. Теперь мы знаем, что наночастицы или энергетические шары в поле земли находятся на определенных расстояниях друг от друга. Когда мы имеем дело, например, с магнитным бруском в пределах поля земли, мы понимаем, что энергетические шары поля земли дополнительно заряжаются на полюсах магнитного бруска опускающимися полярными вихрями и поэтому около полюсов они находятся дальше друг от друга, чем где бы-то ни было. Таким образом, в околополярной области мы имеем, если можно так выразиться, разжижение энергетических шаров, которое проявляется в пределах поля земли как положительное давление, потому что земное поле всегда стремится к нормальным расстояниям между энергетическими шарами. Когда мы перемещаем южный полюс второго магнитного бруска близко к северному полюсу первого магнитного бруска , как показано на рис. 27, состояние статического равновесия энергетических шаров нарушается, как только две сферы разжиженных энергетических шаров входят во взаимодействие. Теперь поле земли через внешнее давление пытается втолкнуть две сферы разжиженных энергетических шаров друг в друга, несмотря на их противоположные полярности, чтобы достичь состояния равновесия даже в мельчайшем пространстве. Это вталкивание друг в друга, однако, является возможным только, потому что вихревые потоки между энергетическими шарами неравных полюсов имеют то же направление потока и следовательно ни накапливают, ни отталкивают друг друга.

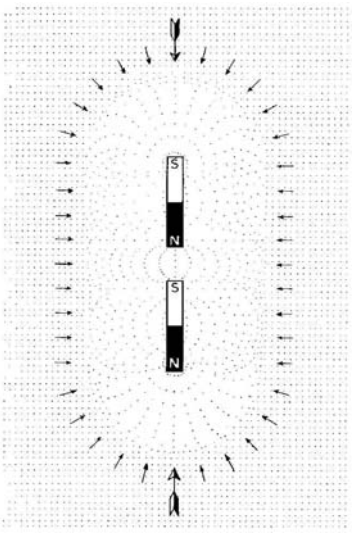

27

Отталкивание означает только, что направление потока между энергетическими шарами равных полюсов противоположно и попрождает эффект накопления, который в его полноте действует против вталкивания разжиженных сфер друг в друга. Вообще, как мы увидим далее, все химические составы и реакции основаны на том же самом принципе контактного давления и отталкивания.

2. Электричество

По своей природе, электричество – это концентрированное действительное солнечное электричество, градиент которого относительно нормального состояния поля земли может быть или положительным, или отрицательным. Поскольку электричество всегда порождается нарушением состояния равновесия поля земли, всегда существует баланс между положительным и отрицательным. Нарушение состояния равновесия может быть достигнуто различными способами:

1) еханическим смещением энергетических шаров в пределах статически сбалансированного поля энергетических шаров (индукция, трибоэлектричество);

2) озданием термоградиента посредством отличия вихревых потенциалов (термоэлектричество, гальваническое электричество);

3) далением потенциального сердцевинного электричества энергетического шара (фотонная ракета, фотопоток).

3. Потенциальное и действительное геоэлектричество

Потенциальное геоэлектричество происхождит из центра земли и было выброшено из солнца при огромном извержении в очень отдаленном прошлом. С другой стороны, действительное геоэлектричество – это та сила, которая, подобно действительному солнечному электричеству, течет в восточно-западном направлении от зоны динамического равновесия земли как восходящий, очень напряженный винтовой поток вокруг земли, завихряется вокруг всех веществ и придавливает их кпо направлению к земле путём возникающих эффектов накопления. Это означает, что вещества не притягиваются, а придавливаются к земле в центростремительном направлении. Действительно, действительное геоэлектричество - это

земное тяготение. Действительное геоэлектричество частично влияет на орбиту луны вокруг земли и является далее, в комбинации с положением луны, причиной приливов и отливов. Более подробно это будет обсуждаться позднее.

4. Геомагнитное поле

Неоднородный мегавихрь земли содержит огромное количество энергетических шаров, расстояния между которыми зависят от интенсивности мегавихря, температуры и солнечного излучения. Благодаря неоднородному мегавихрю, все вихри энергетических шаров имеют одно и то же направление потока. Солнечное излучение дополнительно заряжает вихри энергетических шаров, расположенные на стороне дневного света так, что их взаимные расстояния увеличиваются. Таким образом, количество энергетических шаров на один квадратный сантиметр на стороне дневного света меньше, чем на ночной стороне, где плотность энергетических шаров выше. Можно было говорить, что на стороне дневного света происходит разброс или расширение расстояний энергетических шаров - или можно было бы также говорить о сокращении количества энергетических шаров на единицу пространства, в то время как на ночной стороне происходит сжатие путём сокращения расстояния или увеличение количества энергетических шаров на единицу пространства. Если стимулировать геомагнитное поле, самый высокий ток получается, когда катушка индукции перемещается в направлении экватора энергетических шаров, все южные полюса которых направлены на магнитный северному полюс земли, причём необходимо принимать во внимание отклонения, вызванные возмущениями поля. Если катушку перемещать к их полюсам, ток также равен нулю. Относительно геомагнитного поля также возможно - как описано в отношении магнитного поля электрического проводника или магнита - сохранять катушку индукции неподвижной при взаимообратном перемещении энергетических шаров, как только геомагнитное поле подвергается периодическому и дополнительному усилению. Последнее может быть достигнуто высокочастотными токами (передатчиками). В этом случае, катушка индукции будет служить принимающей антенной. Очевидно, что индуцировано может быть только дополнительное усиление геомагнитного поля, которое вызывает зарядку вихрей энергетических шаров и увеличение расстояний между ними. Далее ясно, что наилучшая индукция возможна только ночью и, в то же время, при низкой температуре, потому что при этом процессе количество вихрей энергетических шаров на квадратный сантиметр больше, чем днём и при более высоких температурах. Направляющий эффект передатчиков вызван тем фактом, что дополнительное усиление геомагнитного поля распространяет электрическую энергию передачи в подобной лучу манере и позволяет энергетическим шарам двигаться под прямым углом к направлению луча посредством обусловленного дополнительного заряда. Лучшая индукция или лучший прием обеспечены только, когда антенна выровнена в направлении луча, потому что наибольшее количество энергетических шаров индуцируется движением поперек направления потока или луча. Движение энергетических шаров под прямым углом к поверхности земли ограничено конечностью окружности земли и поэтому имеет только слабый индукционный эффект. Энергетические шары не могут увеличивать свои взаимные расстояния в горизонтальном направлении так, как это возможно в вертикальном направлении. Следовательно индукция или прием вертикально перемещаемых энергетических шаров лучше, чем таковая горизонтально перемещаемых шаров, и в первом случае диапазон более шире. В зависимости от вертикального расширения расстояний энергетических шаров, время взаимообратного движения также будет различаться. Если в случае импульса передачи выброс во внешнее пространство велик – чего особенно следует ожидать в летние дни, - импульс заднего движения потребует большего количества времени, чем наоборот. Поскольку

вертикальная индукция энергетических шаров лучше, чем горизонтальная, рекомендуется конструировать антенну в виде горизонтальных полос с широкой и горизонтальной ровной основой.

Пропорционально расстоянию до земли, взаимные расстояния энергетических шаров становятся меньше, так что их концентрация по направлению к внешнему пространству непрерывно увеличивается, так же как мы наблюдали сокращение расстояний шаров в полях магнитов и электрических проводников пропорциональных расстоянию.

5. Тепло

Что касается его природы, тепло – это накопленное действительное солнечное электричество. Везде, где возникают равно противоположные электрические потоки, они нейтрализуют действие друг друга. Но там, где возникают неоднородные электрические потоки, как во всех вихревых полях, накоплении, трении, и следовательно возникает тепло и расширение действительного электричества через взаимопроникновение потоков в противоположных направлениях. Вихревая интенсивность энергетических шаров растёт, а их взаимные расстояния увеличиваются. Количество энергетических шаров на единицу пространства или области уменьшается, вызывая положительное давление в этой единице.

6. Индукция

Что касается ее природы, индукция основана на сдвиге или нарушении состояния равновесия статически взаимно выровненных вихревых полей энергетических шаров. Индукцию можно полностью понять, только если представить всё геомагнитное поле полностью заполненным вихрями наночастиц. Эти нановихри находятся на определенных расстояниях друг от друга в соответствии с интенсивностью потока геомагнитного поля. Если эти данные расстояния дополнительно расширяются неоднородным вихревым полем постоянного или временного магнита или неоднородным полем потока электрического проводника, вызывающего зарядку нановихрей, нановихри двигаются наружу, пока не восстанавливается состояние статического равновесия между геомагнитным полем и дополнительным полем. Когда во время перемещения нановихри поражают закрытый проводник (катушку индукции), они передают свой дополнительный заряд в том же направлении, что и ударяемая сторона вихря. Когда дополнительный заряд исчезает благодаря прерыванию тока, нановихри возвращаются к первоначальному положению и передают свой дополнительный заряд индукционному проводнику при столкновении с ним. Однако, когда вихри ударяют противоположную сторону при оттоке назад, направление потока индуцированного тока на этот раз будет обратным. Тот же самый эффект индукции может быть достигнут, когда нановихри остаются неподвижными, в то время как индукционный проводник перемещается к экваторам нановихрей. Ось полюса нановихрей всегда занимает положение под прямым углом к полю потока (см. также Геомагнитное поле.)

7. Потенциальное и действительное лунное электричество

Что касается его природы, лунное электричество – это гео- и в конце концов солнечное электричество. Потенциальное электричество происходит из центра луны и находится также на абсолютном космическом пределе холода. Также, как земля была однажды выброшена из солнца, луна как объем потенциальной энергии была взрывным образом выброшена из земли. Действительное лунное электричество является причиной тяготения на луне. Все другие луны

других планет имеют подобную судьбу и также обладают потенциальным и действительным электричеством.

8. Отрицательное электричество

(См. положительное электричество)

9. Планетарная нулевая точка

Каждая планета имеет собственную (абсолютный) нулевую точку, которая, в зависимости от расстояния до солнца, является самой высокой в случае Меркурия и самой низкой в случае Урана, Нептуна и Плутона. Из-за увеличивающегося расстояния от солнца, напряжение действительного солнечного электричества уменьшается в результате температурного снижения, в то время как его плотность на единицу пространства увеличивается в том же самом отношении. Таким образом, действительное солнечное электричество завихряется вокруг каждой планеты и ее веществ в различном напряжении и плотности и выражается как магнетизм. Поскольку, в отношении веществ в газообразном физическом состоянии, взаимное расстояние энергетических шаров и их тепло накопления вызвано главным образом напряжением и интенсивностью действительного солнечного электричества, эти расстояния и аналогично тепло накопления меняются, когда меняется его напряжение. Если требуется достичь самых низких температур на планете, например на земле, то это возможно только до того градуса, при котором существующее напряжение действительного солнечного электричества не может больше повышаться путём понижения температуры зон динамического равновесия энергетических шаров. От этой точки и далее, температура, достигнутая в зоне равновесия, не даёт действительному солнечному электричеству расширяться далее, так что больше не происходит формирования вихрей и генерации тепла накопления. Следовательно, невозможно достигнуть температур ниже-273 °C известными методами, потому что от этой точки и далее действительное солнечное электричество больше не действует как генератор тепла накопления. В соответствии с различным действительным солнечным электричеством на других планетах, самый низкий достижимый предел холода в отношении к их действительному планетарному электрическому напряжению также различен. Этот достижимый предел холода, однако, не имеет никакого отношения к абсолютному космическому пределу холода самой низкой температуры пустого пространства солнца, планет и лун.

10. Положительное и отрицательное электричество

Действительни, два вида электричества отличаются только их противоположным отклонением от нормального состояния геомагнитного поля и направлением градиента или потенциала. Чтобы пояснить это различие, мы должны начать с понятия нормального состояния геомагнитного поля. Нормальное состояние – это такое состояние геомагнитного поля, при котором взаимные вихревые расстояния энергетических шаров или наночастиц определяются без внешнего вмешательства, такого как дополнительное усиление или ослабление геомагнитного поля. Если расстояния между энергетическими шарами увеличиваются путём дополнительной зарядки – что подобно сокращению количества энергетических шаров на единицу пространства и очевидно наиболее возможно на поверхности веществ -, мы получаем положительное электричество, как только энергетические шары отдают свой дополнительный вихревой заряд и возвращаются в своё нормальное состояние. В этом случае, дополнительное действительное солнечное электричество истекает изнутри наружу, то есть центробежно. Если, однако, взаимные расстояния между энергетическими шарами сокращаются путём уменьшения

их нормального заряда, определяемого геомагнитным полем - что означает увеличение количества энергетических шаров на единицу пространства или области-, мы получаем отрицательное электричество, как только энергетические шары восстанавливают их недостаток вихревого заряда и возвращаются к своему нормальному состоянию. На этот раз, однако, заряжающее действительное солнечное электричество истекает снаружи внутрь, то есть центростремительно, пока энергетические шары снова не достигают своего нормального состояния. Когда мы в этом контексте сравниваем паттерны Личтенберга как показано в рис. 28 и рис. 29, мы находим полное подтверждение вышеописанного. Существующая традиционная идея о том, что электрический ток течёт от минусового к плюсовому полюсу вызвала определённую путаницу даже среди специалистов. Эта идея была основана на перемещении электронов, которые бегут против потока тока назад через вихри. Также, не совсем ясно, почему отрицательный полюс описывается как имеющий много электронов, а положительный полюс – как имеющий мало электронов. Если, чтобы избежать этой путаницы, знаки минус и плюс были бы последовательно поменены местами, это соответствовало бы внутреннему потоку тока, но на практике это новое обозначение полюса вызвало бы ещё больше путаницы.

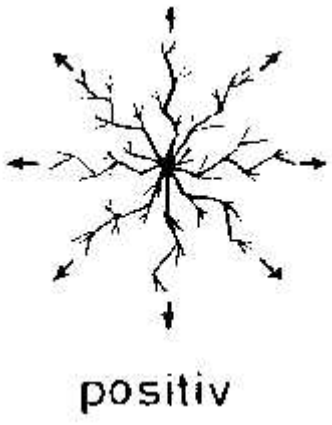

28

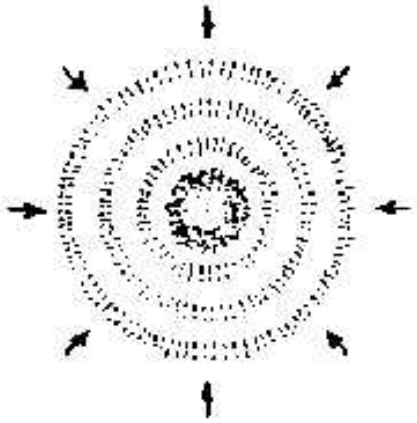

29

Согласно вихревым законам здесь описанным, весь вопрос не составляет никакой проблемы. Мы восприняли, что на положительной стороне существует более высокая вихревая интенсивность чем на отрицательной стороне. Поэтому на положительном полюсе присутствуют большие вихревые расстояния, то есть меньшее количество энергетических шаров на единицу области или пространства, чем на отрицательном полюсе. Так, можно было обозначить отрицательный полюс как имеющий много, а положительный полюс – как имеющий мало энергетических шаров (рис. 30). Сила, которая вызывает дистанционную группировку энергетических шаров - действительное солнечное электричество, завихряющееся вокруг энергетических шаров. Чем выше вихревая интенсивность, тем больше расстояние между энергетическими шарами и выше напряжение действительного электричества. Поскольку увеличение расстояния и сокращение расстояния энергетических шаров могут иметь место только на поверхности твердых веществ, но не внутри их, компенсация напряжения вихревых интенсивностей имеет место через жидкость с поверхности на поверхность, несмотря на более высокое внутреннее сопротивление. Было бы неправильно говорить, что ток тек от минуса к плюсу, потому что факт в том, что положительное электричество или градиент порождаются веществом, имеющим самую высокую вихревую интенсивность, и действительно наименьшее количество мобильных энергетических шаров на ее поверхности. Положительное электричество или градиент солнечного электричества всегда порождается из вещества, допускающего на

своей поверхности более высокую вихревую интенсивность путём отделения энергетических шаров, так что оно, в следствии этого, корродирует.

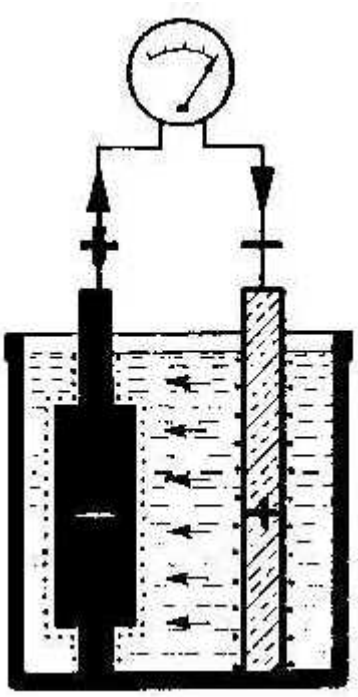

30

Таким образом, обычное обозначение полюса правильно только в ограниченном смысле и применяется только к внешнему потоку тока. Внутренний поток тока истекает от положительного вещества к отрицательному. Следовательно, неправильно, абсурдно и некорректно говорить, что ток тек от минусового к плюсовому полюсу. Но если делается различие между внутренним и внешним потоком тока, противоречие улаживается раз и навсегда, и ток течёт во внутреннем также как и во внешнем контуре всегда от плюсового полюса к минусовому полюсу, где, конечно, положительный, электропитающий плюсовой полюс расположен в начале внутреннего потока тока.

11. Потенциальное и действительное солнечное электричество

Потенциальное солнечное электричество –это первое физическое состояние материи. Его происхождение - центр солнца при самом низком космическом пределе холода. Переход от потенциального к действительному солнечному электричеству формирует зону динамического равновесия солнца. Температура этой зоны - приблизительно 6,000 °C. В своём потенциальном состоянии солнечное электричество имеет самую высокую плотность и наименьшее напряжение. Это - начальное состояние силы. Действительное солнечное электричество истекает непрерывно от зоны динамического равновесия солнца к обеим сторонам экватора солнца до высоких градусов широты с востока на запад в восходящих спиралях и таким образом охватывает всю солнечную систему. Эффект этого винтового потока - гравитация солнца и причина вращения солнца вокруг его собственной оси с востока на запад также как орбит планет, планетоидов и лун вокруг солнца. Далее, это - причина магнетизма и специфической земной нулевой точки минус 273 °C.

12. Перспективы к новым задачам

После прояснения более глубоких закономерностей магнитных и электрических полей, возникает вопрос, возможно ли использовать градиент действительного солнечного электричества, который мы признали как восточно-западный поток в нашей земле, для выгоды человечества, также, как возможно преобразовать воздушные или водные потоки или воздушные или водные градиенты в энергию, годную к употреблению. Действительно, мы используем этот градиент в динамо-машине, расходуя много энергии, но не естественно данным способом. Использование этого градиента в современных динамо-машинах – это, наконец, тот же самый акт, как если бы мы качали воду, которую природа даёт нам в виде дождя, из низких равнинах на горы, а затем преобразовывали полученный градиент в энергию. В настоящее время, мы выявляем этот естественный восточно-западный поток от полюсов постоянных и временных магнитов, то есть от нисходящих винтовых потоков, вместо того, чтобы разрабатывать средства для того, чтобы выловить восточно-западный поток либо непосредственно, производя естественные градиенты, либо выловить убегающие восходящие винтовые потоки путём физических манипуляций, когда диамагнитные вещества должны были бы действовать как посредники при применении их в правильном направлении потока.

Часть Вторая

Первобытное Явление Формирования Вещества

В первой части нашего ознакомления с вихревой теорией, мы пытались прояснить природу тепла и выяснили, что потенциальное солнечное электричество также как потенциальное геоэлектричество находятся, в их первобытном физическом состоянии, на абсолютной космическом нулевой точке, и что действительное солнечное электричество всегда стремится приблизиться к своему первобытному состоянию, то есть холоду. Мы также указали на равный характер солнечного и геоэлектричества, понимая, что на земле они отличаются только различным состоянием напряжения и плотностью. Наше логическое размышление должно было прийти к выводу, что так называемая точка абсолютного нуля -273 °C никоим образом не должна быть самой низкой космической абсолютной нулевой точкой. При упоминании космической абсолютной нулевой точки в дальнейшем, позвольте нам относить термин "абсолютный" только к нашей солнечной системе.

Формирование Вещества

После того, как мы немного отстранили наши идеи и мысли от традиционных и знакомых, позвольте нам выдвинуть более основную гипотезу на основе наших предыдущих исследований. Если эта гипотеза близка к абсолютной истине, она сможет объяснить все явления естествознания без исключения. Мы поймем, что мы близки к истине, когда попробуем разобраться с явлением света и законов движения в нашей солнечной системе. Прежде всего, мы должны пробовать исправить нашу идею о том, что -273°C - самый низкий предел холода. Когда при температуре около -273 °C электрический ток проходит через проводник без какого-либо сопротивления, наше восприятие, здесь обнаруженное, предполагает, что на этой отметке не происходит никакого вихревого накопления. Электрический ток не находит никакого градиента по направлению к наночастицам проводящего вещества; следовательно ток течет без вихревого формирования и таким образом без накопления или сопротивления и без генерации тепла. То. Что мы в настоящее время измеряем как температуру, всего лишь температура накопления между частицами вещества, но не их основная, сущностная температура. Как только накопление противоположных потоков прекращается, мы достигаем -273 °C. При этой температуре кажется, что действительное солнечное электричество, выброшенное из солнца, достигло своей самой высокой плотности на земле в соответствии с расстоянием между солнцем и землей. Прежде, чем более подробно рассмотреть вышеупомянутую гипотезу, мы должны понять посредством следующих соображений, что это вполне ясно, что температуры гораздо ниже -273 °C должны существовать. Позвольте нам выдвинуть следующее соображение касательно закона силы и противосилы, открытого Ньютоном и доказанного в классической физике многочисленными испытаниями: известно, что один грамм Радия высвобождает 10 миллиардов Джоулей тепла до его полного распада. При пересчёте относительно эквивалента тепла, это равнялось бы 2,390,000 килокалориям. Давайте теперь предположим, что эти 2,390,000 килокалорий были бы внезапно высвобождены любым событиям, в то время как с другой стороны этому высвобождению должно было быть эффективное противодействие. Никто не будет сомневаться, что этому выпуску можно было бы эффективно противодействовать холодом. Так что равное количество холода должно было бы быть сопоставлено с этим теплом в 2,370,000 килокалорий, чтобы создать равновесие, могущее предотвратить огромную опасность, свойственную такому высвобождению тепла. Но поскольку

внезапное высвобождение невозможно при нормальных условиях, приходится допустить, что существует непрерывный баланс тепла и холода, то есть что сила и противосила всегда балансируются. Силой была бы потенциальная энергия или потенциальное солнечное электричество в ядре каждой частицы вещества на ее самом низком пределе холода. Можно представить, что эта потенциальная энергия, покоящаяся сама в себе, может только поддерживать себя в этом состоянии невероятного холода. Противосилой была бы сила, которой, как мы узнали, является действительное солнечное электричество, которое, благодаря внешней температуре, стремится приблизиться к своему первобытному состоянию, то есть пределу холода. Зона, в которой сила и противосила сбалансированы, была бы зоной динамического равновесия наночастицы или луны, планеты, или солнца. При желании нарушить сбалансированное состояние этой потенциальной энергии, это было бы возможно только путём изменения внешней температуры, потому что при этом силовой баланс силы и противосилы будет сдвинут наружу или внутрь. При увеличении внешней температуры, диаметр динамической зоны равновесия стал бы больше, в то время как он стал бы меньше, если бы внешняя температура была понижена. Поскольку вещества, имеющие различный атомный вес также имеют различные ядерные температуры в соответствии с эквивалентом Джоуля, диаметры этих наночастиц также отличаются по размеру. По этой причине, внешняя температура не должна увеличиваться безгранично, потому что в этом случае был бы риск взрыва динамической зоны равновесия наночастиц из-за перегруппировки различных наночастиц вещества, что означало бы прямой контакт между потенциальным ядерным электричеством, составляющим миллионы градусов холода, и внешней температурой, так что это потенциальное ядерное электричество, из-за своей тепловой чувствительности, расширилось бы в огромном взрыве, во время которого высвобожденное потенциальное электричество сожгло бы все в пределах определённого диапазона. Необходимо различать, были ли частицы, имеющие самую низкую ядерную температуру, высокую плотность и низкое напряжение или частицы, имеющие более высокую ядерную температуру, низкую плотность и более высокое напряжение, подвергнуты максимальной внешней температуре. В первом случае, взрыв динамической зоны равновесия привёл бы к высокой плотности и низкому напряжению, в то время как в последнем случае имели бы место низкая плотность и более высокое напряжение. Таким образом, вещества, имеющие самые низкие ядерные температуры, самую высокую плотность и самое низкое напряжение были бы менее опасны, чем вещества с более высокими ядерными температурами, низкой плотностью и высокими напряжениями типа водорода. (Пока этот эксперимент был подтвержден созданием " атомной бомбы ".)

Если бы внутренность солнца была бы столь же горяча, сколь она холодна в действительности, мы не могли бы видеть его как шар в его существующей форме на небе, но его давно уже постигла судьба новой Пикторис или новой Геркулеса. Возможность почти неистощимого запаса потенциальной энергии солнца основана исключительно на допущении самого низкого предела холода.

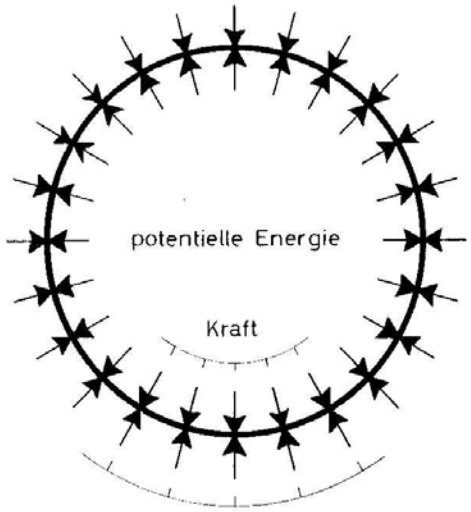

31

Позвольте нам в конечном счете перейти к нашей вышеупомянутой гипотезе. Давайте предположим, что наша земля была выброшена много миллионов лет назад в огромном извержении из внутренности солнца как объем потенциального электричества при холоде приблизительно в минус 5 миллионов °C. Этот объем потенциального электричества немедленно принял бы форму шара сконцентрированной силы вне солнечной зоны динамического равновесия и в пределах внешней температуры, потому что этот объем был расположен в пространстве со значительно более высокой температурой. Согласно нашим до сих пор полученным восприятиям, этот процесс происходил бы следующим образом: действительное солнечное электричество, граничащее с периферией выброшенного объема, попыталось бы центростремительно достичь своего первобытного состояния холода (рис. 31) в то время как с другой стороны периферия выброшенного объема войдет в контакт с более теплой зоной. Поскольку потенциальный объем очень чувствителен к высокой температуре, он чрезвычайно расширился бы центробежным способом на своей периферии. Так что силы вступили бы в противодействие, чтобы нейтрализовать друг друга и сформировать, так сказать, зону равновесия. Поскольку противостоящие силы были в одинаковом количестве, неизбежно будет сформирована сферическая форма - подобно мыльному пузырю, который также характеризуется балансом между внутренними и внешними силами давления. Нельзя думать об этой зоне равновесия как о твердой и неподвижной, а скорее как о динамически мобильной и характеризующейся постоянным неспокойствием. Это непрерывное перетечение друг в друга на периферии конечно генерировало бы тепло, так что можно было бы говорить, что зона динамического равновесия является в то же самое время зоной тепла. Теперь надо представить, что эта зона тепла уменьшается внешне также как внутри, и внутреннее уменьшение является гораздо более резким, чем уменьшение, направленное наружу. Если, в течение этого непрерывного стремления к сферическому уравниванию зоны динамического равновесия, зона тепла приближается ко внутреннему потенциальному электричеству, которое мы теперь будем называть геоэлектричеством, последнее, из-за его теплочувствительности, сильно расширилось бы - возможно подобно взрыву - и прорвало бы зону равновесия в некоторых местах. В то же время, то же самое, что случилось в крупном масштабе во время выброса из солнца, теперь произошло бы в самом мелком вообразимом масштабе. Сформировались бы наношары, ядерная температура которых была бы адекватна зоне, из который эти выброшенные объемы

потенциального электричества произошли. Поскольку все наношары имели бы одинаковую степень силы, плотность, умноженную напряжением, они бы отличались только ядерной температурой и, таким образом, диаметром. Водород, например, был бы сформирован сначала на наиболее удаленной периферии и следовательно, имел бы самую низкую ядерную температуру и соответственно самую низкую плотность, но в то же время самое высокое напряжение и самый большой диаметр. Можно продолжать в том же духе в отношении всех элементов вплоть до одного из самых тяжелых, урана. Хотя это не чистый элемент, поскольку чистые элементы не могут существовать вообще, но он составлен из множества различных наночастиц. В конце концов, большинство этих частиц имеет почти самую высокую плотность, самое низкое напряжение и самый маленький диаметр, потому что ядерная температура во многих из них - на самом низком пределе холода, который покоится сам в себе в своём первобытном состоянии. Непрерывное нарушение этого состояния покоя вызвано только частицами, имеющими больший диаметр, более низкую ядерную температуру и более высокое внутреннее напряжение. Частицы – несвязные, и таким образом производят температуру на 2 - 3 градуса выше окружающей температуры, что ускоряет распад. Если бы в промежутке не присутствовал элемент гелий с его большим диаметром и высоким внутренним напряжением, даже уран не распадался бы.

Ядерное электричество, остающееся в состоянии покоя становится действительным электричеством на его границах с зоной тепла, что означает, что зона динамического равновесия возникает от внутренней части. Высоко вероятно, что эти наночастицы были выброшены из более глубоких областей земли в сильных извержениях ближе к окончанию процесса формирования вещества. Поскольку наночастицы веществ представляют центр силы благодаря их потенциальной энергии, позвольте нам именовать их энергетическими шарами. Если мы несколько ближе взглянем на динамическую зону равновесия энергетических шаров, которую мы также обозначили как зону тепла, мы выясним, что чтобы увеличить его температуру на 1 °C, водород должно быть снабжён большей теплоёмкостью по причине его более низкой зоны тепла, чем к другим энергетическим шарам, имеющим более высокие зоны тепла. С другой стороны, уран имеет самую высокую зону тепла и соответственно самое низкое теплоснабжение (ср. Табл.)

Обозначение	**Символ**	**Порядковый №**	**Атомный вес 1x**	**Теплоёмкость 1x**	**Плотность 1x**
Водород	H	1	1.0078	3.43	0.09
Гелий	He	2	4.002	1.25	
Литий	Li	3	6.940		0.534
Бериллий	Be	4	9.02	0.424	1.93
Бор	B	5	10.82	0.306	2.5
Углерод	C	6	12.00		3.51
Азот	N	7	14.008		
Кислород	O	8	16.00		1.4292
Фтор	F	9	19.00		1.14
Неон	Ne	10	20.183		

Обозначение	Символ	Порядковый №	Атомный вес 1x	Теплоёмкость 1x	Плотность 1x
Натрий	Na	11	22.997	0.297	0.97
Магний	Mg	12	24.32	0.249	1.74
Алюминий	Al	13	26.97	0.218	2.7
Кремний	Si	14	28.6	0.171	2.34
Фосфор	P	15	31.02	0.182	1.83
Сера	S	16	32.06	0.175	2.07
Хлор	Cl	17	35.457	0.226	1.5S
Аргон	Ar	18	39.944	0.124	1.38
Калий	K	19	39.096	0.187	0.86
Кальций	Ca	20	40.08	0.149	1.55
Скандий	Sc	21	45.10		
Титан	Ti	22	47.90	0.112	4.5
Ванадий	V	23	50.95		5.5
Хром	Cr	24	52.01	0.112	6.7
Марганец	Mn	25	54.93	0.11	7.39
Железо	Fe	26	55.84	0.113	7.86
Кобальт	Co	27	58.94	0.103	8.6
Никель	Ni	28	58.69	0.1081	8.8
Медь	Cu	29	63.57	0.0936	8.933
Цинк	Zn	30	65.38	0.0931	7.1
Галлий	Ga	31	69.72	0.0802	5.92
Германий	Ge	32	72.60	0.0737	5.459
Мышьяк	As	33	74.91	0.0830	5.72
Селен	Se	34	78.96	0.1125	4.8
Бром	Br	35	79.916	0.1071	3.14
Криптон	Kr	36	83.7		2.155S
Рубидий	Rb	37	85.44	0.0792	1.52
Стронций	Sr	38	87.63		2.54

Обозначение	Символ	Порядковый №	Атомный вес 1x	Теплоёмкость 1x	Плотность 1x
Иттрий	Y	39	88.92		3.8S
Цирконий	Zr	40	91.22	0.0660	6.4
Ниобий	Nb	41	92.91		7.37
Молибден	Mo	42	96.0	0.0646	9.0
Масурий	Ma	43			
Рутений	Ru	44	101.7	0.0611	12.26
Родий	Rh	45	102.91	0.0580	12.1
Палладий	Pd	46	106.7	0.0592	11.5
Серебро	Ag	47	107.88	0.0565	10.5
Кадмий	Cd	48	112.41	0.0549	8.64
Индий	In	49	114.71	0.0569	
Олово	Sn	50	118.7	0.556	7.28
Сурьма	Sb	51	121.76	0.0503	6.62
Теллур	Te	52	127.61	0.0483	6.25
Йод	J	53	126.92	0.0524	4.942
Ксенон	X	54	131.3		5.815
Цезий	Cs	55	132.91	0.0481	1.88
Барий	Ba	56	137.36	0.068	3.8
Лантан	La	57	138.92	0.044	6.1
Церий	Ce	58	140.13		6.8
Празеодим	Pr	59	140.92		6.476
Неодим	Nd	60	144.27		6.96
Иллиний	Il	61			
Самарий	Sm	62	150.43		7.7
Европий	Eu	63	152.00		
Гадолиний	Gd	64	157.3		
Тербий	Tb	65	159.2		
Диспрозий	Dy	66	162.46		

Обозначение	Символ	Порядковый №	Атомный вес 1x	Теплоёмкость 1x	Плотность 1x
Гольмий	Ho	67	163.5		
Эрбий	Er	68	167.64		4.77S
Тулий	Tm	69	169.4		
Иттербий	Yb	70	173.04		
Кассиопеий	Cp	71	175.00		
Гафний	Hf	72	178.6		
Тантал	Ta	73	180.88	0.0326	16.6
Вольфрам	W	74	184.00	0.0338	19.1
Рений	Re	75	186.31		
Осмий	Os	76	191.5	0.0311	22.48
Иридий	Ir	77	193.1	0.0323	22.4
Платина	Pt	78	195.23	0.0320	21.4
Золото	Au	79	197.2	0.0311	19.2
Ртуть	Hg	80	200.61	0.0334	13.69S
Таллий	Tl	81	204.39	0.0326	11.85
Свинец	Pb	82	207.22	0.31	11.34
Висмут	Bi	83	209.00	0.0303	9.8
Полоний	Po	84	210.00		
Алабимий	Am	85			
Радон	Rn	86	222.00		
Виргиний	Vg	87			
Радий	Ra	88	226.05		
Актиний	Ac	89	227.0		
Торий	Th	90	232.12	0.0275	11.0
Протактиний	Pa	91	230		
Уран	U	92	238.14	0.0280	18.7
1x) Landolf Börnstein: *Physikalisch Chemische Tabellen* [Physical Chemical Tables]					

Тот факт, что, с одной стороны, тепло накопления динамической зоны равновесия является функцией ядерной температуры, также как и окружающей или внешней температуры, и что, с другой стороны, вес является непосредственным представлением этой функции в связи с

мегавихрем земли, позволяет внешней температуре элементов казаться почти постоянной. Так что существует более или менее постоянное отношение между весом, теплом накопления и внешней температурой веществ. Если мы хотим увеличить, например, внешнюю температуру веществ на один градус, необходимо сообщить определенное количество тепла в дополнение к теплу накопления (атомному теплу), которое уже присутствует в веществах, чтобы поддержать уже существующее постоянное отношение. Поскольку водород имеет самую высокую ядерную температуру и следовательно самое низкое тепло накопления среди всех элементов, то чтобы увеличить его внешнюю температуру на 1 °C, необходимо сообщить ему наибольшее количество калорий.

Природа потенциального ядерного электричества – это причина, почему в определенных температурных пределах применима только около-константа, потому что низкая температура пустого пространства становится эффективной, когда внешняя температура увеличивается. Это в особенности относится к мультиатомным газам типа водного пара, углеродистой кислоты, аммиака, и т.д. Здесь количество тепла, которое необходимо сообщить, то есть теплоёмкость, значительно увеличивается вместе с температурой. Wiedemann, например, нашел следующие значения:

Тип газа		**Теплоёмкость**		**Ср при 200°**
		0°	100°	
Углеродистая кислота	CO_2	0.195	0.217	0.239
Диоксид азота	NO_2	0.198	0.221	0.244
Аммиак	NH_3	0.501	0.532	0.563
Этилен	$C_2>H_4$	0.336	0.419	0.502

Когда мы рассматриваем явления тепла и холода или связанную с весом взаимозависимость двух или более веществ, содержащихся в органических или неорганических соединениях (валентность) в свете этой теории воспириятий, мы приходим к чёткому пониманию многих аспектов эффективности мира веществ. Согласно этой гипотезе, земля развилась бы от невидимого до газообразного, горяче-жидкого и твердого мира веществ с нынешним ядром земли, все еще находящимся в невидимом состоянии, то есть с потенциальной энергией, все еще находящейся здесь в покое. Зона динамического равновесия или зона тепла располагалась бы рядом с ним, до сих пор представляя газообразное и - далее по направлению наружу - горяче-жидкое состояние. Твердое состояние развилось бы миллионы лет спустя.

Причина Периодической Системы Элементов

Объем потенциальной энергии, выброшенной из солнца конечно немедленно стал бы подчиняться вихревому закону солнечного мегавихря и получил бы своё движение от восточно-западного потока, что мы обсудим более подробно в последней главе. Во всяком случае, формирование твердых веществ также тесно связано с соответствующим созвездием или с землей относительно других планет. Мы можем получить иллюстративное представление относительно эффекта взаимного влияния эффективных силовых полей, если подвесим множество магнитных брусков обособленно на определенных расстояниях так, чтобы равные полюса были расположены наверху и внизу соответственно. Если один из этих брусков отклонить от его положения, другие бруски реагируют немедленно, принимая новые

положения. Поскольку наши планеты на их орбитах имеют Северные полюса на одной и Южные полюса на другой сторонах соответственно, подобным образом, они также взаимодействуют, особенно когда Сатурн, Юпитер, Марс, Земля, Венера и Меркурий находятся на радиальной линии с солнцем. Можно легко представить, что во время периода отвердевания поверхности земли, соответствующие подобные планетарные созвездия вызывали извержения, ведущие к формированию веществ, имеющих соответствующие подобные физические и химические свойства. Так что мы могли бы подойти к чёткой идее о формировании периодической системы элементов. Если мы посмотрим с этой точки зрения на спиральную схему периодического закона химических элементов Эрдманна (1) (рис. 32), нам пришлось бы допустить, что элементы, помещенные на одном луче, были сформированы при подобных планетарных созвездиях соответственно. Таким образом можно назвать схему Эрдманна демонстрирующей закон развития вещества. Здесь также, водород располагался бы в начале развития, в то время как уран, имеющий самый высокий атомный вес представлял бы собой замыкающего члена в цепи формирования вещества.

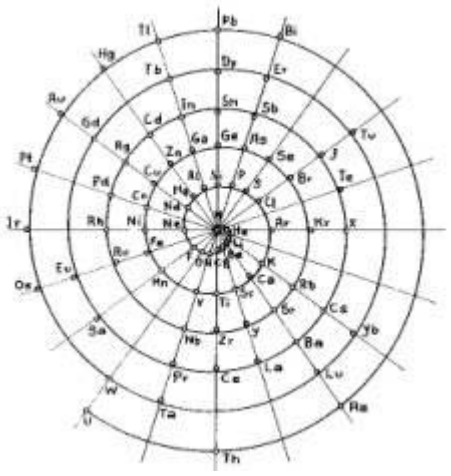

32

Спиральная таблица периодического закона химических элементов
Элементы на каждой стороне двух половин каждого непрерывного луча формируют две ветви одного семейства.
Расстояния от центра спирали - атомные веса.

Можно ясно представить себе, что при таких планетарных созвездиях относительно солнца происходили мощные извержения на земле, которая становилась крепче и крепче, со всё более отвердевавшей поверхностью. Эти всё более мощные извержения выбрасывали объемы из всё более глубоких первоначальных местоположений, имеющих более низкие степени холода, и эти объемы формировали энергетические шары, имеющие более низкие ядерные температуры до тех пор, пока в конце процесса отвердевания сформировался уран с его самой низкой ядерной температурой и самым маленьким диаметром энергетического шара.

Роль планетарных созвездий в отношении земли и солнца во время формирования вещества может все еще ощущаться в отталкивающих силах веществ, то есть в накопительных силах винтовых потоков энергетического шара. Также как земля имеет присущий ей восточно-западный винтовой поток - вызванный ее действительным геоэлектричеством, которое постоянно расширяется благодаря тому, что граничит с зоной тепла, что порождает земную гравитацию, - все планеты имеют присущие им восточно-западные вихри действительного электричества, которые даже сейчас проникают в геосферу и в частности завихряются вокруг

тех веществ, которые были сформированы в период определенных созвездий одной или других планет. Пара гравитационных весов, разработанных автором, показывает в очень иллюстративной манере влияние соответствующего положения планет на различные металлы, особенно таковые земли в процессе ее вращения вокруг солнца в перигее (близко к земле) и апогее (далеко от земли).

Автор еще не закончил свои эксперименты в этом отношении. Вышеупомянутое устройство будет рассматриваться в следующей главе, посвящённой гравитации.

Не нужно говорить много нового об объединении энергетических шаров, формирующем вещество. Мы видели, что действительное электричество завихряется вокруг энергетических шаров и что эффект накопления или возникающая полярность соединяют их, формируя так называемые элементы. Вихревое направление этого потока действительного электричества энергетических шаров всегда зависит от мегавихревого поля земли и следовательно никогда не сможет изменить ее полярность. Действительное солнечное электричество, однако, завихряется также вокруг энергетических шаров с водоворотом, прекращающимся в минус 273 °C. Все химические соединения и реакции выполняются дополнительным вихрем солнечного электричества. Внутри веществ, этот вихрь действительного солнечного электричества не обязательно привязан к направлению потока вихря действительного геоэлектричества, что означает, что более слабые вихри энергетических шаров действительного солнечного электричества всегда подчинены следующему более сильному солнечному вихрю энергетических шаровв и следовательно подвергаются изменению полярности, вызванному более сильными вихрями. Полярность вихревых полей равной силы не может быть изменена. Таким образом, фундаментальный закон всех химических соединений основан на факте, что на каждый более слабый солнечный вихрь энергетических шаров оказывает давление накопительный эффект снаружи напротив центра следующего более сильного солнечного вихря энергетических шаров, и более сильный вызывает изменение полярности более слабого. Но поскольку солнечное электричество прекращает формировать любые вихри при -273 °C, никакие химические соединения, и реакции не возможны больше при этой температуре, как мы упомянули ранее.

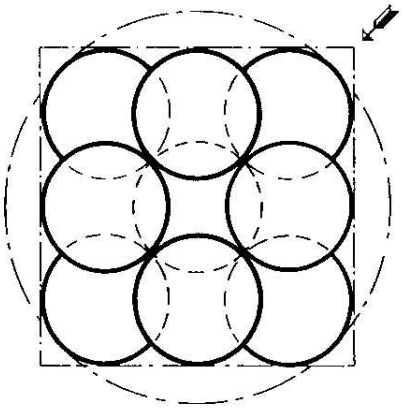

33

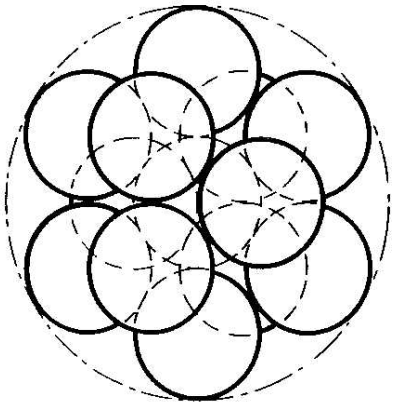

34

Как покажет восприятие спектра при рассмотрении явлением света, едва ли существует вещество, состоящее из только энергетических шаров равного размера. Идеальный случай, который вероятно не может существовать в реальности, показан на Рис. 33 и 34. Рис. 33 демонстрирует куб, содержащий 13 энергетических шаров одинакового диаметра, расположенных на равных расстояниях друг от друга. Когда мы смотрим на этот куб со стороны

любого из его 8 углов, мы понимаем при взгляде по диагонали через центр куба, что 6 шаров расположены на равных расстояниях вокруг энергетического шара в центре. Перед и позади этих 7 энергетических шаров, расположенных в одной плоскости согласно рис. 34, размещены 3 энергетического шара соответственно. Так что есть всего 13 шаров, внешняя периферия которых формирует сферу или, если посмотреть с другого направления, куб. Если объем этих 13 шаров вычесть из объема периферийной сферы, остающийся объема, или промежуточное пространство, равняется точно объему 14 шаров. Вещественный объем этой гипотетически предполагаемого вещества составил бы 48 4/27 %, в то время как объем промежуточного пространства был бы 51 23/27 %. Так, промежуточное пространство этого идеализированного вещества было бы на 3 19/27 % больше, чем само вещество.

Но как мы восприняли, все вещества получают свое внутреннее единство и взаимную связующую силу только от различных ядерных температур энергетических шаров, то есть от их различных диаметров и таким образом от их накопительных эффектов, действующих внутрь от внешней стороны. Соответственно, промежуточное пространство отличается по размеру от одного вещества к другому. Когда мы преуспеем в регистрации отдельных веществ в соответствии с составом их энергетических шаров различных размеров, станет также возможным определить их промежуточные пространства. Не может быть веществ, не имеющих промежуточных пространств. Только у первого физического состояния веществ практически нет промежуточных пространств; поэтому оно заполняет промежуточные пространства всех веществ. То, что мы всё ещё называем магнетизмом относится к первому физическому состоянию и следовательно также заполняет все промежуточные места веществ. По этой причине, вещества не формируют никакого сопротивления или препятствий этому физическому состоянию, хотя мы должны делать различие относительно энергетических шаров, перемещаемых в электромагнитном поле, которые не могут проникать в вещества и поэтому могут быть экранированы, потому что они передают свой заряд проводящим веществам согласно закону индукции, описанному ранее.

Самая высокая плотность воды при 4 °C также доказывает, что энергетические шары отдельных веществ H2 и O имеют различные диаметры. Как мы видели, энергетические шары водорода больше, чем энергетические шары кислорода. Из-за охлаждения шаров, имеющих различные размеры, их диаметры сжимаются, так что происходит постепенная перегруппировка относительно положений отдельных сфер, пока при 4 °C энергетические шары уже не могут быть ближе к друг другу. Если бы энергетические шары H и O имели тот же самый диаметр, вода имела бы свою самую высокую плотность при 0 °C.

Возможно, небезынтересно будет указать на процессы кристаллизации в связи с диаметрами энергетического шара. Везде, где бы ни сходились энергетические шары одинакового размера, не возникает никакого изменения полярности, но вместо этого происходит накопление винтового потока между ними. Не происходит объединения, но имеет место отталкивание в пределах этого накопления, которое имеет связанный с плоскостью эффект между частицами. Таким образом, процесс кристаллизации в процессе отвердевания вещества – это процесс отталкивания среди энергетических шаров равного размера. В зависимости от присутствия энергетических шаров различных диаметров, формируются различные кристаллические формы, которые могут быть разъединены в соответствии с положениями их плоскостей накопления.

Резюме

Мы сделали попытку использовать гипотезу, чтобы понять, что-273 °C не может быть самым низким пределом холода, но что при этой температуре восточно-западное солнечное электричество больше не находит градиент и таким образом течет без накопления через проводящее вещество. То, что мы измеряем – это не ядерная температура энергетических шаров, а температура между энергетическими шарами, которая генерируется противоположными направлениями потока благодаря вихревому накоплению. Далее мы постарались понять, что мыслимо держать огромные запасы тепла энергетических шаров, например радия, в балансе при самых низких температурах в миллионы градусов, потому что эта холод напоминает первобытное состояние потенциального электричества, которое в этом состоянии обладает своей самой высокой плотностью и самым низким напряжением. Поскольку каждый энергетический шар обладает тем же самым степенью силы (плотность, умноженная на напряжение), диаметры энергетических шаров должны отличаться, согласно их соответствующей ядерной температуре. Водородный энергетический шар имеет самый большой диаметр, самую низкую плотность и самое высокое внутреннее напряжение, но конечно ту же самую степень силы, как и все другие энергетические шары, имеющие более низкие ядерные температуры. Более высокая скорость распространения водородных энергетических шаров также вызвана их самым высоким внутренним напряжением. Однако, энергетический шар урана имеет самый маленький диаметр, самую высокую плотность и самое низкое напряжение потому что солнечное электричество, которое стало геоэлектричеством, покоится здесь в своём первобытном состоянии. По всей вероятности, формирование веществ было вызвано, помимо стремления зоны динамического равновесия к уравниванию или компенсации, планетарными созвездиями, которые вели к извержениям с большими и регулярными интервалами, формирующим периодическую систему элементов. Сцепляемость энергетических шаров вызвана накопительным эффектом, который всегда придавливает энергетические шары, имеющие более высокие ядерные температуры, центростремительно к энергетическим шарам, имеющих более низкие ядерные температуры. Энергетические шары, имеющие равные ядерные температуры, отталкивают друг друга. Можно было бы также сказать, что связь между энергетическими шарами - их отличающийся атомный вес, потому что более высокий атомный вес означает больший вихревой поток, который навязывает своё направление потока меньшему вихревому потоку более низкого атомного веса или изменяет полярность энергетического шара, имеющего более низкий атомный вес, так что на внешней стороне существуют противоположные потоки, которые вызывают центростремительный эффект накопления. Все вещества состоят из однородного, чувствительного к высокой температуре материала, который мы называем солнечным электричеством, согласно его происхождению, и планетарным или лунным электричеством, согласно его более позднему присоединению. Пока существует температурное различие между внутренней частью и внешней стороной, мы рассматриваем это электричество как на вещество. Если, однако, температурное различие больше не существует, мы рассматриваем электричество как первое физическое состояние материи, или в случае существования градиента, как энергию, магнетизм, электричество, молнию и т.п. Внутри солнца электричество находится в своём потенциальном состоянии при самом низком космическом пределе холода. Оно представляет огромный запас энергии всей солнечной системы; частичные запасы формируют внутренности планет, планетоидов и лун. Сферические зоны динамического равновесия – это горячие зоны – такие как фотосфера солнца или газообразное и горяче-жидкое состояние под твердой земной поверхностью или подобные состояния в отношении других планет и лун.

Часть Третья

Функция Гравитации

Закон Гравитации

Как мы восприняли в Части Второй вихревой теории, атомный вес веществ – это функция действительного геоэлектричества, где различные ядерные температуры энергетических шаров определяют их диаметр и соответствующие расстояния от друг друга, в то время как восточно-западные потоки действительного геоэлектричества завихряются вокруг каждого отдельного энергетического шара, накапливаясь над ним и таким образом придавливая его к земле. Следовательно становится ясно, что вещества не притягиваются землей, а придавливаются к ней извне.

Причина Атомного Веса и Ускорения Падения

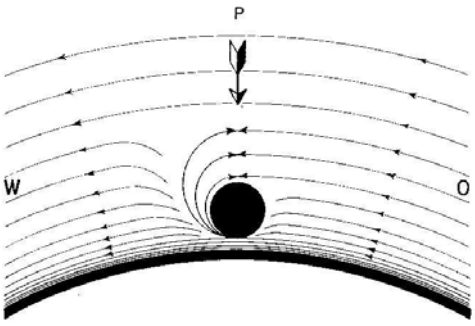

35

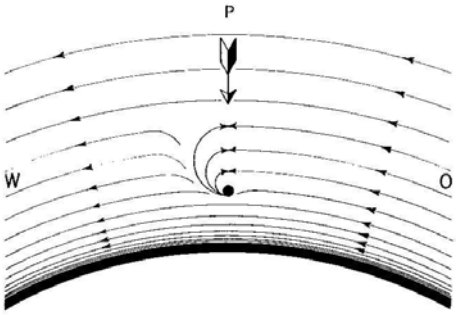

36

Вес вещества зависит от количества его энергетических шаров, которые в свою очередь зависят от ядерных температур и таким образом от диаметры их зон динамического равновесия и меры силы (плотность, умноженная на напряжение) поля восточно-западного мегавихря земли в определенном местоположении, равно как и от центробежной силы, порождённой вращением земли. Давайте теперь взглянем на два примера в попытке объяснить давящую силу или атомный вес и ускорение. Рис. 35 схематично показывает энергетический шар атома водородна в пределах поля восточно-западного мегавихря земли. Из всех известных сегодня элементов, этот энергетический шар имеет самую высокую температуру пустого пространства и самую низкую плотность, равно как самое высокое внутреннее напряжение. Таким образом, тепло накопления, или атомное тепло, в пределах зоны динамического равновесия более низкое, чем в случае других веществ. Поскольку, в соответствии со своей природой, восточно-западный поток действительного геоэлектричества, подобно таковому действительного солнечного электричества, всегда течет к своему первобытному состоянию холода, он также течет по направлению полюсам холода каждого отдельного энергетического шара и снова вытесняется в нейтральную, более теплую зону. Однако, поскольку поле восточно-западного потока неоднородно, во время притока и оттока порождается вихревой поток, направленный в направлении более плотного потока между зоной динамического равновесия земли и веществом. Это - причина формирования восходящих и нисходящих спиралей. Поскольку направление потока между энергетическим шаром и зоной равновесия земли имеет то же самое направление и противоположны на стороне вихря, направленной от от земли, это противопоставление вызывает накопительный эффект на этой стороне, что придавливает

энергетический шар к земле под прямым углом к направлению потока мегавихря с силой универсально единой меры силы - плотность, умноженная на напряжение. Поскольку плотность и напряжение поля восточно-западного потока геоэлектричества взаимообратны к расстоянию от динамической зоны равновесия земли, то есть отношение плотности к напряжения всегда одинаково на каждом из расстояний, существует одинаковая постоянная степень силы относительно ускорения земли, g = 9.80665 м./с². Когда мы сравниваем в отношении рис. 36 схематическую иллюстрацию энергетического шара урана, мы сразу понимаем различие в размере по сравнению с энергетическим шаром водорода. В вычислительном плане, объем энергетического шара водород мог бы охватить приблизительно 238 энергетических шаров урана. Поскольку оба энергетических шара имеют одинаковую степень силы (плотность, умноженная на напряжение), накопительная сила энергетического шара урана равна таковой энергетического шара водорода. Альтернативно можно было сказать, что, если бы объем энергетического шара водорода стал равным таковому энергетического шара урана, энергетический шар водорода будет иметь тот же вес, что и энергетический шар урана. Но поскольку объем энергетического шара водорода в 238.14 раз больше, чем таковой энергетического шара урана, то ядерная температура, или температура пустого пространства, зоны динамического равновесия, то есть атомное тепло, должна быть намного ниже чем таковая энергетического шара урана. Из-за десятичных чисел атомного веса и атомного тепла веществ, которые не могут быть приведены к единому отношению, может определённо заключить, что каждый из элементов включает множество различных энергетических шаров, как мы воспримем позже при обсуждении спектра. Оставляем науке определить точный список целых чисел, отражающих количество энергетических шаров элементов, включая их соответствующие ядерные температуры, диаметры, равно как их накопительное тепло (атомное тепло).

Накопительный эффект P энергетического шара представляет результирующую силу двух компонентов накопления, а именно нановихревой потенциал, зависящий от постоянной степени силы с одной стороны, и мегавихревого потенциала земли с другой. Кроме того, оба зависят от концентрации действительного геоэлектричества. Около экватора и в более высоких слоях, например, концентрация не так сильна, как около полюсов земли, и следовательно вес этой отличной концентрации подчиняется геоэлектричеству. Концентрация геоэлектричества может быть определена только на основе ускорения падения, которое составляет 978.030 см/сек на экваторе и 983.216 см/сек на полюсах. Аналогично, концентрация или плотность геоэлектричества могут быть определены посредством различного отношения вращения геомагнитного дифференциального двигателя, описанного в Части Первой.

Развив идею о гравитации, мы предпочитаем не говорить больше о притяжении, но только о придавливании. Давящая сила земли, включая ускорение падения заканчивается в пределах зоны динамического равновесия земли, где она равняется нулю так же, как в центре земли. Подобно тому, как результирующие давящие силы направлены извне к зоне динамического равновесия, давящие силы действуют от центра земли по направлению наружу к зоне равновесия. Следовательно, тело практически никогда не будет падать вниз к центру земли, но только к зоне динамического равновесия, и аналогично, падающее тело около центра земли будет выдавливаться наружу вверх к зоне динамического равновесия независимо от центробежных сил, порождённых вращением земли.

Закон Гравитации

Ранее было упомянуто, что различие между гравитационным полем и геомагнитным полем ограничивается только различной плотностью и напряжением действительного солнечного электричества, воспринимаемого на земле. Так называемое геомагнитное поле принадлежит гравитационному полю солнца. Как мы увидим в Части Пятой, двухрукавная винтовая струя действительного солнечного электричества постоянно истекает в большое пространство, в котором движутся планеты со своими лунами. Автор представляет как экспериментальное свидетельство свой геомагнитный дифференциальный двигатель, обороты которого в единицу времени и при равных температурах имеют, в перигелии и афелии, одинаковое отношение как квадраты расстояний земли от солнца. Если бы геомагнетизм не порождался солнцем, а был бы специфически земным, среднее отношение оборотов не менялось бы при приближении или отдалении от солнца. Те же результаты измерений получаются, при непосредственном индуцировании поля земли посредством экранированного синхронного двигателя, импульс которого сохраняется постоянным посредством точно контролируемой частоты. Измерения должны были бы длиться много лет, потому что колебания поля земли огромны и постоянно подчинены солнечным протуберанцам и созвездиям планет.

Имея дело с так называемым законом гравитации Ньютона (1687) "Два тела притягиваются друг к другу с силой, прямо пропорциональной произведению их масс и обратно пропорциональной квадрату расстояния между ними" и принимая во внимание закон вихревой кинематики, необходимо различать, имеют ли тела одинаковую или противоположную полярность. Если друг с другом сопоставляются два тела с противоположными полярностями, что в пределах солнечной системы применимо исключительно к солнцу, этот закон должен звучать так: "Два тела придавливаются друг к другу, и т.д.", но если сопоставляемые тела имеют одинаковую полярность, как это имеет место среди планет и планетоидов или среди различных солнечных систем, то формулировка должна быть точно как в законе Кулона, "Два тела отталкиваются друг от друга с силой, прямо пропорциональной произведению их масс и обратно пропорциональной квадрату расстояния между ними."

Гравитационная Постоянная

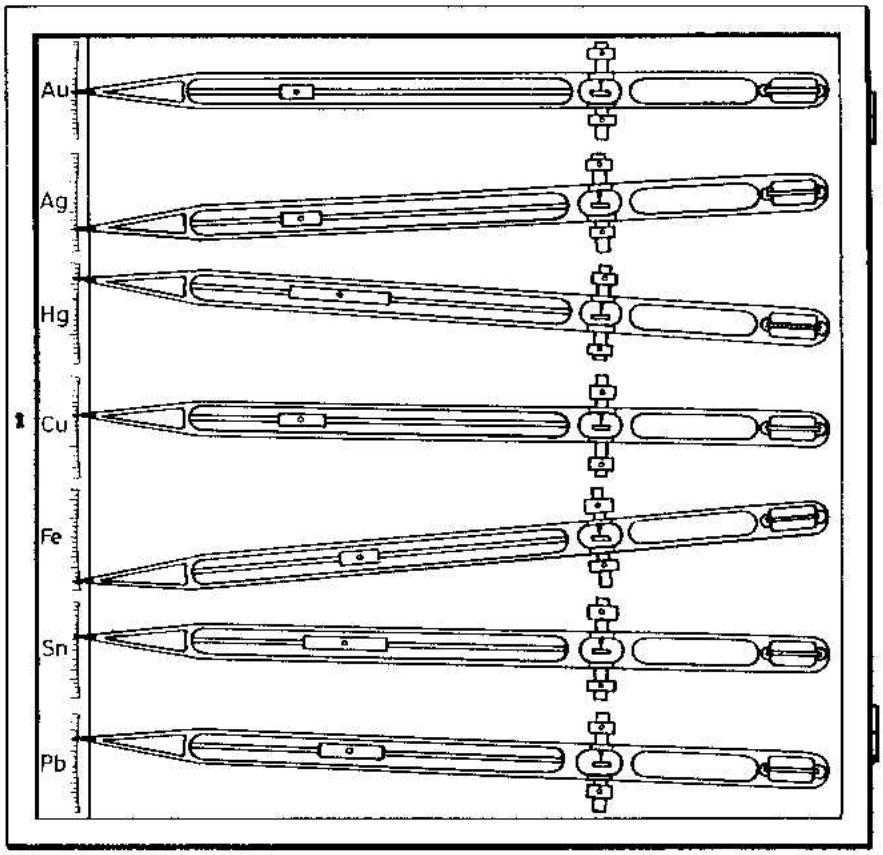

Ursache der Gewichtszunahme Feb./März = „Planeten - Sonderstellung 4.II.62"

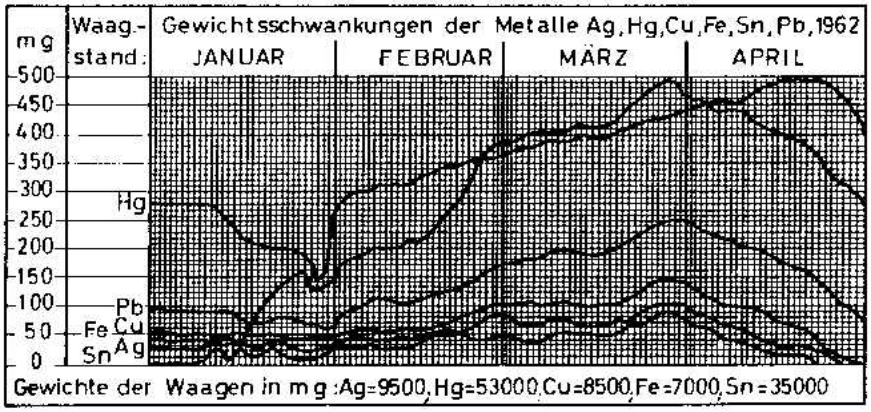

37

В свете экспериментальных исследований автора, кажется спорным, является ли действительной гравитационная постоянная, определенная Richarz и Krigar-Menzel посредством тестов на свинце. Эксперименты автора показали, что свинец, также как различные другие металлы, подчинен постоянным колебаниям веса, так что их веса только относительны. Автор сделал семь точных весов из древесины клена (рис. 37) и положил на одну сторону каждых весов золото, серебро, ртуть, медь, железо, олово и свинец соответственно. На другой стороны коромысла весов использовалась древесина клена как противовес. Затем весы были покрыты лаком, чтобы защитить их от влияния влажности. Чувствительность весов была откалибрована согласно соответствующему несомому грузу. Полный диапазон индикации составлял 1/10 веса,

несомого каждыми весами с отклонением, составляющим 130 мм. В ходе двухлетнего испытательного периода стало очевидно, что наши веса увеличиваются от самой дальней точки до солнца (афелий) до самой близкой (перигелий), а оттуда и до следующего афелия – уменьшаются на то же значение. Далее автор выяснил, используя эти весы, что гравитация различных планет оказывает увеличивающее или уменьшающее вес влияние на определённые металлы соответственно. Это становится наиболее очевидным, когда планеты находятся на на противоположных позициях. Максимальные отклонения весов позволяют установить со всей уверенностью и точностью до часа, какой металл приписывается к нахождению планет на противоположных позициях, и в каком часе достигается это нахождение. На данный момент автор выяснил, что есть связь между металлом ртутью и планетой Меркурий, равно как между свинцом и Сатурном. Дальнейшие испытания в процессе разработки. [Ср. воспроизведение эксперимента в Гравитационном Эксперименте.]

Автор сделал другое интересное наблюдение с этими весами в период с 6-ого по 13-ое сентября 1960 г. В течение этого периода несколько раз случилось, что все стрелки " по команде " перемещались в свои наивысшее позиции, оставались там в течение нескольких часов и постепенно возвращались в свои первоначальные положения. Время этих экстремальных позиций совпало с ужасными ураганами "Донна" на Американском острове Пуэрто-Рико, в Ориент Провинс, Джибаре, Флориде, и Нью-Йорке. Эти положения указателей весов позволяют заключить, что гравитационное поле земли временно увеличилось. Далее, это заключение дат возможность предположить, что в пределах зоны динамического равновесия земли произошли сильные извержения, вызвавшие экстраординарные штормы. Если бы были найдены другие подтверждения этих измеримых влияний гравитации, исследования Richarz и Krigar-Menzel должны были бы быть пересмотрены в свете этого аспекта.

До сих пор, мы всегда говорили только о мегавихре земли. Однако, надо принять, что все планеты, планетоиды и луны, входящие в нашу солнечную систему, имеют собственные мегавихри, и что все мегавихри, в свою очередь, подчиняются солнечному гигавихрю, который покрывает всё пространство солнечной системы. Так, луны - не только подчинены мегавихрям своих соответствующих планет, но в то же время непосредственно подчинены солнечному гигавихрю. С этой точки зрения, закон гравитации планет и солнца должен быть грубо сформулирован следующим образом: "Мегавихри планет прямо пропорциональны их объему потенциального электричества, покрываемому их зоной равновесия, в то время как результирующая давящая сила их противоположного компонента накопления обратно пропорциональна квадрату их расстояния от солнца ".

Если закон серьезности применяется только к отношениям среди планет, термины " давящая сила " и " расстояние от солнца " должны быть заменены на " отталкивающая сила " и " расстояние между ними ", соответственно. В отношении планет, имеющих луны, закон гравитации более сложен, потому что давящие силы лежат в основе чередующегося добавляющего или отнимающего влияния отталкивающих сил. Эти взаимодействия будут обсуждаться более подробно при рассмотрении причины движения астрономических тел в Части Пятой вихревой теории.

Выдвинутый здесь закон гравитации даст возможность создания антигравитации посредством обеспечивая спутник с естественно данной интенсивностью потока, которая непосредственно поставляется солнцем, следовательно имеет то же самое вихревое направление, что и земля, и таким образом отталкивается от земли. Мы далее разовьем эту идею после того, как заложим необходимые основы в Части Пятой.

Часть Четвёртая

Природа и Распространение Света

Природа и Распространение Света

Теперь, после того, как мы нашли ключ к объяснению всех событий, связанных с движением и теплом, равно как и с формированием мира веществ, наш следующий шаг приведёт нас, с неизбежной потребностью, к природе и распространению света. Научное исследование восприняло - с очевидной уверенностью - волновую природу света с одной стороны и материальный характер света (кванты энергии) с другой. Однако, квантовая теория сильно противоречит волновой теории Гюйгенса. В настоящее время, последняя имеет вероятное основание для явлений движения и интерференции. Согласно нашим соображениям, идея двойного характера распространения света, являющийся одновременно волновым и корпускулярным, может выживать, пока этот двойной характер правильно интерпретируется и тщательно изучается. В основном, отношение между волнами и квантами света подобно отношению между водными волнами и плывущим судном или между воздушными волнами и снарядом или самолетом. Следовательно, волны света были бы ни чем иным, кроме как вторичным явлением квантов энергии или, в соответствии с развитой здесь концепцией, следствием движения наночастиц и/или энергетических шаров, перемещающихся на высоких скоростях и определённых расстояниях друг между другом. На основе наших полученных на данный момент восприятий, предпримем попытку показать путь к тому, чтобы разумно и с воображением объяснить явление света во всех его очевидных формах.

Первобытное Явление Луча Света

Ранее мы восприняли, что самая крошечная, неделимая частица вещества - так называемый энергетический шар - является только объемом энергии, ядро которого имеет определённую степень холода и оболочка которого окружена значительно более высокой температурой. Свойство электричества сжиматься при холоде и расширяться при высокой температуре вызвало к существованию динамическую зону равновесия энергетического шара. Таким образом, ядро энергетического шара представляет покоящуюся, потенциальную энергию. Если зона равновесия энергетического шара нарушается внешним повышением температуры, зона равновесия прорывается в направлении источника нарушения, то есть потенциальное ядерное электричество или энергия в её первичном физическом состоянии расширяется в результате этого одностороннего нагревания и истекает с огромной силой и скоростью, толкая энергетический шар в противоположном направлении благодаря реактивной силе. В основном, луч света – это не что иное, как первобытный пример ракеты, и в то же время переход вещества или возвращение к его первичному физическому состоянию. Скорость такой ракеты из энергетического шара зависит от произведения плотности, умноженной на напряжение потенциального ядерного электричества. Поскольку энергетический шар почти невесом, сила, используемая для его ускорения, очень низка. Известная высокая скорость приблизительно в 300,000 км/сек грубо соответствует расширению потенциальной энергии. Эта загадка луча света будет теперь объяснена с помощью очень конкретных примеров:

Как мы восприняли в Части Второй, посвящённой формированию вещества, количество диаметров энергетического шара равняется количеству ядерных температур. Даже так

называемые элементы составлены из многочисленных энергетических шаров различных размеров в соответствии с линиями, встречающимися в их соответствующем спектре. Мы более подробно разберёмся с этими моментами позже. Когда мы доводим вещество - скажем, нить электрической лампы – до высокой температуры, возникает непрерывное отталкивание ракет энергетических шаров от внешней периферии нити во все стороны, пока запас энергетических шаров не истощается на определенно воздействуемом или более слабом местоположении, так что электрический контур становится постоянно прерванным. Рис. 38 схематично показывает увеличение края такой нити. Когда нить заставляют пылать с помощью электроэнергии, прежде всего возмущение затрагивает энергетические шары, расположенные в наиболее удаленной зоне нити, в их зоне динамического равновесия, потому что шаровая поверхность энергетических шаров, направленная к центру оси нити, имеет, благодаря накоплению между предпоследним и последним восходящим винтовым потоком этих энергетических шаров, более высокую температуру, чем незатронутая поверхность шара, направленная наружу от нити. Легко понять, что зоны динамического равновесия энергетических шаров нарушаются только по отношению к наиболее удаленным шарам и следовательно прорываются так, что реакция ядерного электричества отталкивает энергетические шары как ракеты, в то время как предпоследний, предпредпоследний, и т.д. энергетические шары равномерно нагреваются со всех сторон, не подвергаясь нарушению их зоны динамического равновесия, до тех пор, пока не приходит и их очередь быть отталкиваемыми, потому что их направленные наружу шаровые поверхности свободно открыты. Поскольку в тот же момент, когда наиболее удаленные энергетические шары отталкиваются, за ними идут следующие, порождается непрерывная цепь ракет энергетических шаров, которую мы, из-за производимого ею эффекта, называем лучом света. В соответствии со своим химическим составом, каждое вещество извергает энергетические шары различных размеров, таким образом обеспечивая – как мы воспримем позже - спектральную характеристику каждого вещества.

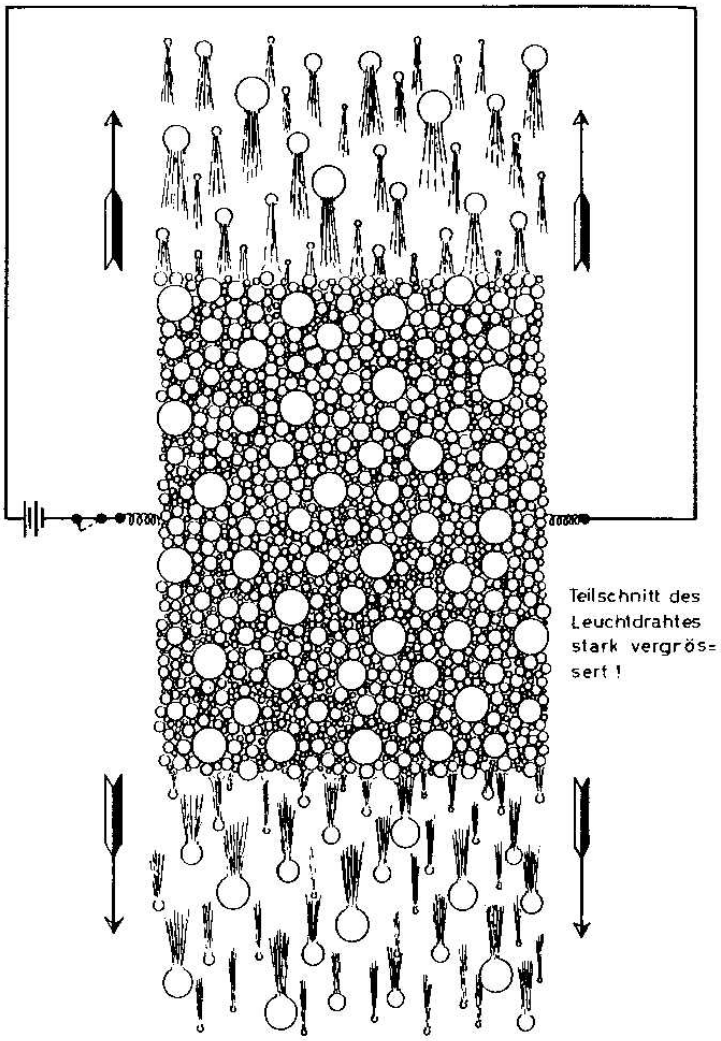

38

Когда лучи света поражают поверхность прозрачного вещества под острым углом, они не проходят через вещество в направлении своего угла атаки, но отклоненяются внутри этого вещества от своего первоначального направления.

Типы Преломления Света

Рис. 39 схематично показывает два луча I и II исходящие из одного и того же источника света, где I идёт из воздуха и поражает водную поверхность под острым углом. Этот первый случай ясно показывает, что энергетический шар, благодаря своей сферической форме, определённому диаметру, углу излучения a, и энергии воздействия c = (m•v2)/2, разворачивается к углу излучения a1 и продолжает своё движение в воде под этим углом. Когда, как в случае II на рис. 39, луч света поражает водную поверхность под прямым углом, так что вихрь излучения a совпадает с перпендикуляром к углу атаки, шар не разворачивается, и луч света не преломляется, независимо от различий в диаметрах энергетических шаров и природе прозрачного вещества.

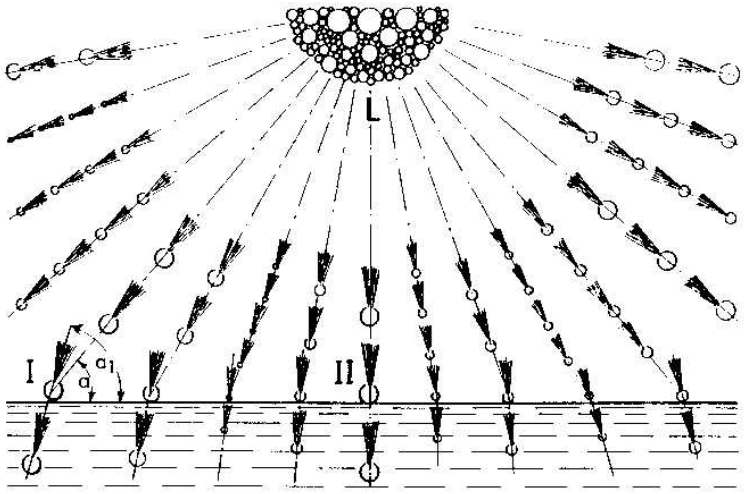

39

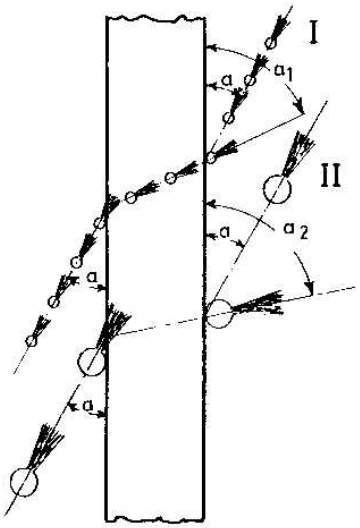

40

Следующие примеры, как предполагается, иллюстрируют отношение между цветами и диаметрами энергетических шаров и следовательно углы преломления. Рис. 40 иллюстрирует путь двух лучей света через пластину стекла, имеющую плоско-параллельные поверхности. Давайте предположим, что луч I - луч красного света. Таким образом, ракета энергетического шара имеет маленький диаметр, низкую ядерную температуру и высокий уровень тепла накопления в зоне динамического равновесия или так называемое атомное тепло. Из-за большого температурного различия между ядерными и окружающими температурами, напряжение потенциального ядерного электричества низко, в то время как его плотность высока. Произведение плотности, умноженной на напряжение, равняется эффективной энергии ракеты, то есть единой мере силы всех ракет, которая порождает скорость распространения. Поскольку масса ракет энергетических шаров не зависима от их диаметров, должно быть взаимное отношение между напряжением и плотностью потенциального ядерного электричества. Так что если красный луч I сталкивается с передней входной поверхностью пластины под углом a, ракета откатывается в соответствии с ее диаметром и скоростью распространения к углу a1 и затем проходит через всю толщину пластины стекла под этим новым, большим углом. На выходной поверхности, ракета катится на сей раз на противоположном полушарии к противоположной стороне под тем же углом, что и угол атаки, прочь от пластины стекла.

Теперь взглянем на фиолетовый луч II на нашем рис. 40. В этом случае диаметр ракеты больше чем в луче I. Поэтому ядерная температура не такая низкая, в то время как динамическая зона накопления более холодна, то есть атомное тепло более низкое. Таким образом, плотность потенциального электричества более низка и его внутреннее напряжение выше. Произведение обоих факторов даёт ту же самую эффективную энергию ракеты, как и в случае луча света I. Следовательно, все цветные лучи, содержащиеся в белом свете, имеют ту же самую скорость распространения. Когда фиолетовый луч II сталкивается с передней поверхностью пластины под тем же углом, ракета большего диаметра откатывается к углу a2 в соответствии со своим большим радиусом и со своей скоростью распространения, проходит через всю толщину стекла под этим большим углом и выходит, как и луч I под тем же углом, что и угол атаки a. Таким образом, фиолетовый луч II имеет, благодаря большему диаметру его ракеты, больший угол прохождения, или угол преломления, чем красный луч I.

Генерация Спектра в Призме

Теперь мы подошли к одному из наиболее интересных явлений света, генерации спектра. В прежние времена это явление справедливо рассматривалось как нечто священное и тщательно охранялось посвящёнными. Эта тайна раскрывает зависимость потенциальной ядерной энергии от материи, выброс первого и растворение материи иутём превращения в свет. В этом контексте и для лучшего понимания нижеследующего, мы должны начать с упоминая о том, что цвет сам по себе, то есть вне наших глаз, не существует вообще, и что явление, которым мы обычно называем цветом, является просто выражением того, что мы ощущаем сетчаткой, когда истекающее электричество ракеты энергетического шара достигает оптического нерва при отличной интенсивности. Это потенциальное электричество, струящееся в глаз - сила, которая поддерживает способность глаза к видению. Если эта сила постоянно блокируется, глаз теряет свою способность принимать свет. Обычно прием интенсивности зрительного нерва соответствует возможностям видимого спектра, в то время как более низкие интенсивности уже не ощущаются. Однако, это не означает, что глаз безразличен к неощущаемым интенсивностям. В то время как ультракрасный соответствует интенсивности ракеты энергетического шара, имеющей низкое напряжение и высокую плотность ядерного электричества, ультрафиолетовый имеет интенсивность высокого внутреннего напряжения и низкой плотности ядерного электричества. Эффективная энергия ракеты в единицу времени определяет, получает ли глаз слишком много или слишком мало света. Высокая энергия уничтожает глаз быстро, в то время как слишком низкая интенсивность уничтожает глаз постепенно. Чтобы достигать разумной адаптации к терпимому входу нормальной световой интенсивности, чтобы защитить глаз от слишком-много или слишком-мало, благоразумие природы создало диафрагму глаза, чтобы регулировать количество входящих фотонных ракет. Чтобы не отступать слишком далеко от нашей темы, позвольте нам теперь описать генерацию спектра с использованием кварцевой призмы, как схематично показано на рис. 41.

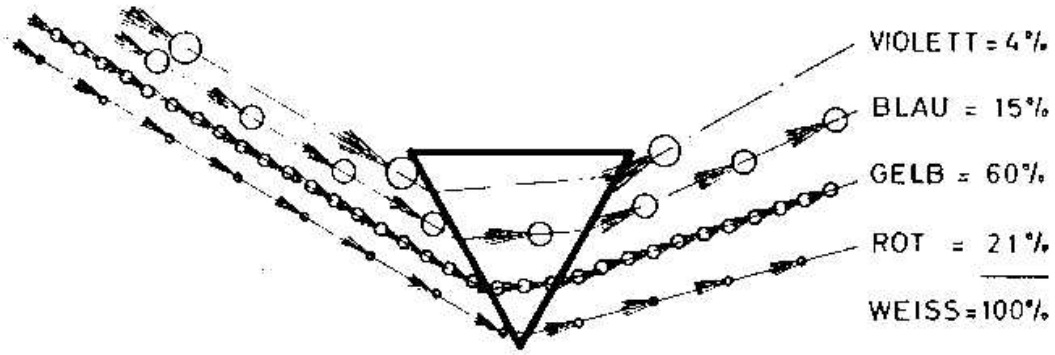

41

На рис. 41 показаны ракеты энергетических шаров в виде цветов с их соответствующими диаметрами, адекватными их цветам, и в расстояниях между ними во время своего путешествия. Для ясности они расположены один под другим согласно размеру. В действительности, однако, их траектории беспорядочны, так что ракеты с самыми большими диаметрами могли возникать рядом с самыми маленькими, в точности как энергетические шары химически связаны в пределах вещества. Это также причина, почему спектр становится видимым на некотором расстоянии от призмы, потому что самые маленькие и самые большие ракеты достигают входной грани призмы в смешанном виде. Мы обсудим эти связи подробнее при обсуждении рис. 43.

Когда мы прослеживаем индивидуальные ракеты относительно их размера в процессе прохождения через призму, мы понимаем - также, как с рис. 40 - что самые большие ракеты видимого спектра, когда они сталкиваются с наклонной поверхностью призмы, имеют больший импульс отклонения в соответствии с их большим сферическим радиусом и таким образом отклоняются призмой в более высокой степени. При выходе из призмы, ракета находит поверхность выхода призмы под углом, являющимся точной противоположностью угла поверхности входа. Следовательно, полушарие, которое вступило в призму сначала, выходит последним, так что снова создаётся импульс отклонения, который вынуждает ракету еще раз отклоняться с тем же самым угловым значением. Когда мы прослеживаем траекторию самой маленькой ракеты видимого спектра таким же образом, мы понимаем на входе и выходе, что, из-за меньшего сферического радиуса, импульс отклонения, также как отклонение, в этом случае меньше. Все ракеты различных диаметров между этими двумя крайностями получают отклонение согласно своему импульсу отклонения, который зависит от их сферических радиусов, так что мы получаем в видимом диапазоне между фиолетовым - самый большой диаметр ракеты - и красным - самый маленький диаметр ракеты - полный фиолетово-сине-желто-красный цветной спектр, в котором переходные цвета индиго-зеленый-оранжевый появляются от смешения фиолетового и синего, синего и желтого, желтого и красного. Диаметр ракеты ультрафиолетовых лучей даже больший чем таковой фиолетовых лучей. Поэтому они не проникают в стекло, имеющее более узкий проходной диапазон, и задерживаются или поглощаются при прохождении через жидкости и газы в результате их большего сопротивления. С другой стороны, диаметр ракеты невидимых ультракрасных лучей даже меньше, чем таковой красных лучей. По этой причине, эти ракеты имеют большую проникающую силу, то есть более низкое сопротивление против прохождения через газы и жидкости, чем лучи других цветов или ракеты с большими диаметрами. Отношение между диаметрами красных фотонных ракет и диаметром фиолетовых фотонных ракет пропорционально углу преломления красных и углу преломления фиолетовых световых лучей. Рис. 41 далее иллюстрирует приблизительный процент расстояний между последовательными ракетами различных цветов или, другими словами, приблизительное отношение смешивания индивидуальных ракет в единицу времени. Следующий эксперимент также предоставляет свидетельство правильности состава белого света из основных оттенков спектра, то есть красного, желтого, синего, и фиолетового. Если измерить значение яркости белого света, проецируемого на экран через призму, это значение равняется сумме отдельных значений спектральных цветов красного, желтого, синего, и фиолетового из той же самой призмы при условии, что измерение выполнено при тех же самых условиях – расстоянии до экрана и интенсивности освещения – что и с белым светом. Процентное распределение измеряемых значений около линий Фраунгофера A D G и H грубо будет следующим: красный 21 %, желтый 60 %, синий 15 % и фиолетовый 4 %. Следовательно, химический эффект цветных лучей зависит скорее от качественного, чем от количественного условия. Хотя эффективная энергия ракеты всех цветных лучей одинакова, как очевидно из скорости распространения, существует существенное различие относительно того, имеет ли ядерное электричество высокую плотность или высокое напряжение. Например, фиолетовые световые лучи с их высоким напряжением ядерного электричества и низкой плотностью ядерного электричества вызывают отделение металлического серебра от солей типа хлораргирита, йодита или бромида в то время как, с другой стороны, красные фотонные ракеты с их высокой плотностью ядерного электричества и низким напряжением ядерного электричества производят, вместе с хлорофиллом в растениях, разделение двуокиси углерода на углерод и кислород, с углеродом, используемым для создания растений и кислородом для

дыхания людей и животных. Никто не может предвидеть то, что случится на нашей планете, если смесь излучения изменилась бы за счет красного и в пользу фиолетовых световых лучей.

Это представление добавило бы некоторые аспекты, стоящие рассмотрения к квантовой теории профессора Макса Планка. Универсальная постоянная h, также называемая квантом действия, была бы равна эффективной энергии ракеты: плотность, умноженная на напряжение, умноженная на время. Однако, следует говорить не " Чем выше значение колебания, тем больше квант действия ", а " Чем больше количество фотонных ракет в единицу времени, тем больше квант действия ".

Позвольте нам теперь взглянуть на некоторые другие явления спектра, чтобы поддержать общую истину этого нового восприятия дальнейшими частичными истинами. Известно, что температура спектра повышается от ультрафиолетового до ультракрасного. Какова причина этого факта? Мы восприняли в связи с генерацией энергетических шаров, что самые большие энергетические шары имеют самые высокие ядерные температуры и следовательно самое низкое тепло накопления или атомное тепло, в то время как с другой стороны самые маленькие энергетические шары имеют самые низкие ядерные температуры и следовательно самое высокое тепло накопления или атомное тепло. Когда мы в этом контексте смотрим на ультрафиолетовые и фиолетовые лучи, то есть самые большие энергетические шары, действующие как ракеты, мы выясняем, что к ультрафиолетовому и фиолетовому ракетному диапазону спектра должно быть добавлено некоторое количество тепловых единиц по причине его низкого атомного тепла, чтобы достичь температурного равновесия с ультракрасным и красным ракетным диапазоном спектра, имеющим более высокое атомное тепло. Количество фотонных ракет в единицу времени также играет существенную роль.

Другое явление – это определение, с использованием спектра, приближается ли звезда к земле или удаляется от неё. Когда звезда приближается к земле, в спектре происходит фиолетовое смещение, в то время как звезда, которая удаляется от земли, вызывает красное смещение в спектре. Как может данная идея относительно фотонных ракет объяснить этот факт? Мы заявили ранее, что угол преломления фотонной ракеты зависит от ее скорости распространения с одной стороны и ее диаметра с другой. Если либо скорость распространения увеличивается или уменьшается, либо если диаметра ракеты увеличивается или уменьшается, угол преломления всегда изменяется. Обычно, скорость распространения света постоянна во всех световых лучах, но это сразу меняется, когда меняется количество фотонныех ракет в единицу времени. Так, если звезда приближается к нам, скорость света повышается пропорционально скорости приближающейся звезды, потому что расстояния между последовательными фотонными ракетами стали меньше. Поэтому интенсивность света также увеличивается. Следовательно, угол преломления света, испускаемого той звездой увеличивается, так что происходит фиолетовое смещение. Если, однако, звезда удаляется от нас, скорость света уменьшается пропорционально скорости удаляющейся звезды, потому что на сей раз расстояния между фотонными ракетами стали большими. Интенсивности света также уменьшается. Следовательно, угол преломления света, испускаемого той звездой, разумеется становится меньше, что приводит к красному смещению. Этот принцип Допплера, при применении к волновой теории, вызывает огромные теоретические трудности, которые до сих пор еще не были точно разрешены.

Когда мы заключаем, что скорость света постоянна, это заключение, согласно закономерности, описанной здесь, применяется только к распространению света в пределах пространства, имеющего постоянную температуру. Мера силы (плотность, умноженная на напряжение)

фотонной ракеты конечно постоянна, но есть разница, мчится ли фотонные частица через пространство, имеющее высокую плотность действительного электричества и низкое напряжение или через пространство, имеющее низкую плотность и высокое напряжение. Мы знаем, что плотность действительного солнечного электричества увеличивается при уменьшающихся температурах (афелий) и уменьшается при повышающихся температурах (перигелий). Так, скорость луча света уменьшится, когда температура падает и увеличится, когда температура повышается. Если это будет доказываться в лаборатории путём измерения скорости света в пределах достаточно длинной камеры, имеющей температуру плюс 60 °C, то эта скорость света должна была бы быть выше чем в камере при 20 °C. Если бы это предположение было подтверждено, красное или фиолетовое смещение линии K можно было бы объяснить как вызванное светом, проходящим через более холодные или более теплые зоны соответственно, которые уменьшают или увеличивают скорость, таким образом вызывая красное или фиолетовое смещение соответственно. Относительно нашей Земли, красное и фиолетовое смещение имело бы ту же самую причину. Когда мы отдаляемся от солнца, начиная с 21 декабря, солнечный свет должен проходить через более холодные зоны до 21 июня, что означало бы задержку скорости света и следовательно красное смещение, в то время как с другой стороны свет проходит через более теплые зоны с 21 июня по 21 декабря, что означало бы увеличение в скорости света и следовательно фиолетовое смещение.

Так что, если бы испытания подтвердили это предположение, в чём автор не имеет ни малейших сомнений, невероятный тезис о том, что спиральные галактики с их бесчисленным числом солнц убегают от нашей системы Млечный Путь со скоростью десяти тысяч километров в секунду, лишился бы оснований, потому что степень красного или фиолетового смещения стала бы всего лишь мерой для изменяющегося холодного или горячего состояния пространства, через которое должен проходить свет от этих спиральных систем.

Как мы можем объяснить изменение спектра, когда температура исследуемого газа повышается или понижается? Ранее мы заявили, что зона динамического равновесия энергетического шара - та зона, в которой расширение ядерного электричества, по причине влияния более высокой окружающей температуры и действительного электричества вне энергетического шара, который стремится к своему первобытному состоянию холода, сбалансировано. Повышающаяся окружающая температура автоматически расширяет зону динамического равновесия, потому что градиент между внутренней и внешней частями увеличивается, в то время как падающая окружающая температура уменьшает градиент, что приводит к сжимнию диаметра зоны динамического равновесия. Поэтому повышение (окружающей) температуры увеличивает диаметр ракеты, вызывая фиолетовое смещение в спектре, в то время как уменьшение окружающей температуры сокращает диаметр ракеты, вызывая красное смещение в спектре.

Причина, почему увеличивающийся атомный вес веществ смещает спектральные линии к красному концу спектра - то, что угол преломления света, испускаемого веществами, становится меньшим, когда диаметр энергетического шара сжимается, как мы ясно видели, когда описывали путь луча через призму. Поскольку спектр между ультрафиолетовым и ультракрасным покрывает все известные и все еще неизвестные вещества, мы можем расценивать спектр как шкалу компонентов вещества и их ядерных температур. Таким образом, диаметры фотонных ракет и ядерные температуры энергетических шаров имеют различную величину во всех их положениях от ультрафиолетового до ультракрасного.

Так что нельзя говорить, что фотонные ракеты соответствующих полос пропускания красного, например, имеют только один диаметр, а скорее что необходимо допустить непрерывный

переход от одного диаметра до следующего по всей полосе пропускания. Местоположения, характеризуемые темными, так называемыми линиями Фраунгофера, испытывают недостаток соответствующих диаметров ракеты, так что мы видим брешь, прежде всего вызванную отсутствием некоторых энергетических шаров или фотонных ракет или возможно поглощением. Когда фотонные ракеты таких подобных диаметров испытывают столкновение с противоположного направления, их скорости нейтрализуют друг друга и следовательно исчезают из спектра, то есть на этих местах появляются темные линии. Было бы неправильно представлять диаметры зон динамического равновесия энергетических шаров или фотонных ракет как внешнюю границу фотонных шаров, но скорее надо думать о невидимом силовом поле, простирающемся вне этих крошечных шаров и по существу вносящем свою лепту в откатывание и отклонениям. Это похоже на наномагнит, силовой диапазон которого простирается далеко за пределы его вещественной части. Будущая химия должна будет принять во внимание что диаметры отдельных энергетических шаров, чтобы достичь полной ясности о возможностях комбинации для формирования новых веществ. С связи с вышеизложенным, кажется невозможным делать любые положительные утверждения о характере веществ других астрономических тел. Земли достигают энергетические шары (фотонные ракеты) с широким разнообразием диаметров и ядерных температур, которые группируются в пределах нашей геосферы с её специфическим земным напряжением и условиями плотности в порядке, в котором они появляются в спектре, в соответствии с призмой последовательности их диаметров. Поэтому невозможно предположить, что вещества других астрономических тел идентичны земным веществами. Общая основа веществ различных астрономических тел представлена первобытными компонентами мира, которые мы узнали как энергетические шары или фотонные ракеты. Все вещества астрономических тел сделаны из этих первобытных компонентов согласно соответствующим закономерностям этих тел. Закономерности составов вещества на планетах нашей солнечной системы определяется их соответствующим расстоянием от солнца. То, что мы, на нашей планете Земля, называем, например, железо, медь, никель, и т.д., применимо только к земле. Из-за различных расстояний от солнца, на других планетах другой состав вещества существует. Действительно, тот факт, что метеоры, которые падают на землю, всегда состоят главным образом из железа, доказывает, что любое вещество, которое достигает состояния раскалённости добела из-за трения в атмосфере, подчиняется закономерностям земли и следовательно перегруппировывается, и что в этой земной зоне с ее отличным состоянием напряжения только 90 % железа, 8 % никеля, и 2 % различных веществ могут быть сформированы.

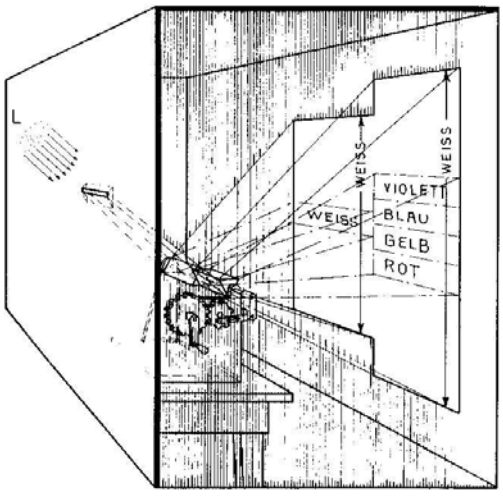

42

Главное возражение, снова и снова выдвигаемое последователями теории цвета Гете против мультицветового состава белого света – это мнение, что смешивание индивидуальных цветов путём вращения цветового круга даёт не чистый белый цвет, а грязный серый. Причина, однако, в том, что смешиваемые цвета – это не чистые спектральные цвета, кроме спектральных цветов, собранных в одном месте выпуклой линзой. Последователи теории цвета Гете отрицают это последнее доказательство, потому что думают, что состояния напряжения белого света, вызванного призмой нейтрализуются выпуклой линзой. Следующий эксперимент, который автор повторил несколько раз, чётко опровергает все эти нелогичные возражения. Когда чистые спектральные цвета, сортируемые призмой, смешиваются быстрым, колебательным движением призмы, как показано на рис. 42, на экране появляется чистый белый свет. Если колебательное движение замедляется, спектр становится видимым сначала только на точках возврата, и становится видимым на всём пути только если движение замедляется и далее. Чтобы определить, кажется ли колеблющийся спектр действительно белым против белого солнечного света, делается вторая призма того же размера для участия в колебательном движении первой призмы, причем вторая призма смещена на 120 угловых градусов, так чтобы не спектр но только белый свет попадал на экран от этой призмы рядом со спектром первой призмы. Когда обе призмы исполняют то же самое колеблющееся движение, ни малейшего различия не обнаруживается между этими двумя полосами света. Относительно этого эксперимента, нельзя говорить, что состояния напряжения нейтрилизуют друг друга.

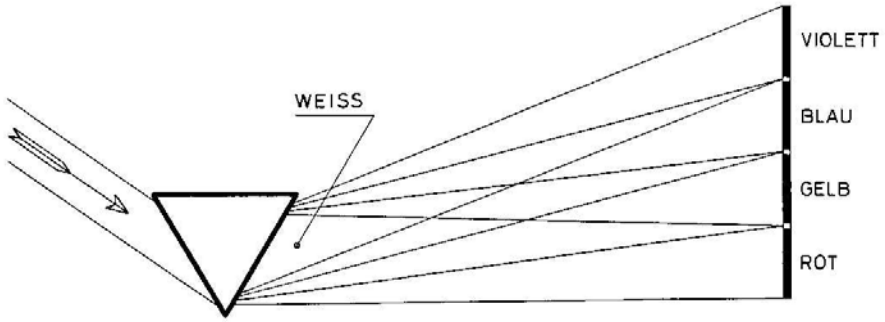

43

Второе возражение, выдвинутое Гете тогда и повторенное всеми его последователями в настоящее время, состоит в том, что сразу позади призмы глаз не различает никаких цветов, но только белый свет. Но если объективно проследить путь луча через призму к экрану как показано на рис. 43, обнаруживается, что сначала белый свет попадает на всю входную грань призмы. Как было упомянуто ранее, все фотонные ракеты различных размеров смешаны в белом свете, проходят пространство без порядка и попадают на входную грань призмы в этом состоянии; они следуют своему пути через призму согласно своему отклонению к наклонной противоположной выходной грани и отклоняются там еще раз. Благодаря двойному, то есть полному, отклонению, фотонные ракеты, выходящие из второй грани призмы, имеют почти те же различия размеров и расстояний, что и во время их входа в призму. Из-за отличающихся диаметров, они отклоняются друг от друга в своих дальнейших траекториях, так что видимый спектр от красного до фиолетового становится когерентным только на определённом расстоянии между призмой и экраном с шириной спектра в зависимости от ширины выходной грани призмы. Весьма очевидно, что глаз может различать только белый свет позади выходной грани в пределах точно определимого светового клина (рис. 43) потому что этот световой клин содержит все цветные фотонные ракеты, которые достигают глаза и создают в своей полноте восприятие белого света. Если принять во внимание, что согласно Ramoeny/Cajal каждый квадратный миллиметр сетчатки напротив апертуры входа глаза содержит в среднем 13,000

нервных окончаний плюс восприимчивые элементы типа палочек и колбочек, каждый поймет, что, из-за почти невообразимых маленьких диаметров фотонных ракет, последние выделяют свой заряд между палочками и колбочками, таким образом создавая в этой крошечной области восприятие, соответствующее их разрядке, которое, если все цветные фотонные ракеты, встречающиеся в белом свете, разряжаются одновременно, является "белым" восприятием. Рис. 43 далее показывает, что область вне белого светового клина больше не содержит все цветные фотонные ракеты, но только фиолетово-синие и красно-желтые. Перекрывание или смешанные цвета индиго-зеленый-апельсин были опущены. Таким образом, только часть фотонных ракет снаружи белого легкого клина попадает на сетчатку наших глаз, так что мы никогда не можем различать эти краевые лучи как белый свет, поскольку он воспринято в пределах белого клина фотонных ракеты позади выходной грани призмы. Таким образом, второе возражение теории цвета Гете также становится несоответствующим.

Формирование Нормальных Спектров

На рис. 44 схематично показаны путь и отклонение фотонных ракет во время прохода через узкий промежуток. Явно очевидно из этой иллюстрации, что те фотонные ракеты, которые поражают края промежутка 1, и 2 отклоняются по-другому согласно их ракетным диаметрам. Здесь также меньшие диаметры откатываются меньше, чем большие диаметры. Поэтому, первые цветные ракеты спектра первого порядка, появляющиеся на правой и левой сторонах экрана - красные, в то время как фиолетовые появляются последними. Центр промежутка позволяет пройти всем цветным ракетам, содержащимся в белом свете, и различаем как белый на экране. Это явление можно приятно наблюдать, если посмотреть на солнце через щель, имеющую ширину 1/1,000 миллиметра и толщину 1/100 мм, и особенно если щель помещен в фокус сильной увеличительной линзы, установленной внутри трубы. Щель можно также заменить круглой апертурой, имеющей диаметр 1/1,000 мм. В этом случае, однако, спектр состоит не из параллельных продольных полос, а, естественно, из концентрических колец, имеющих ту же самую цветную последовательность, что и спектр щели.

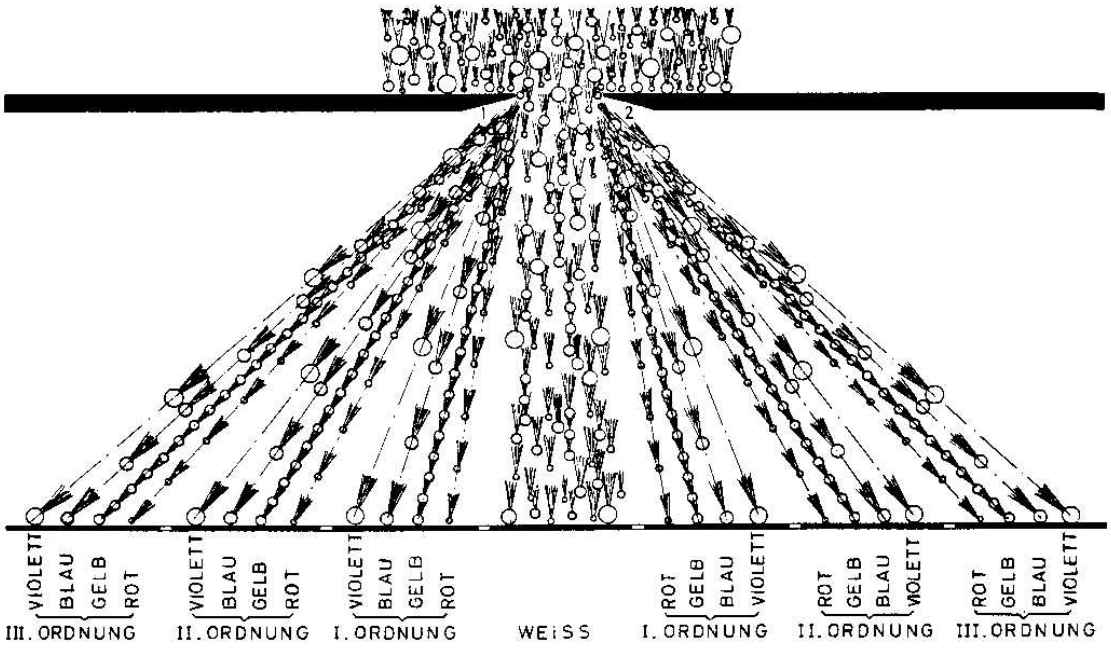

44

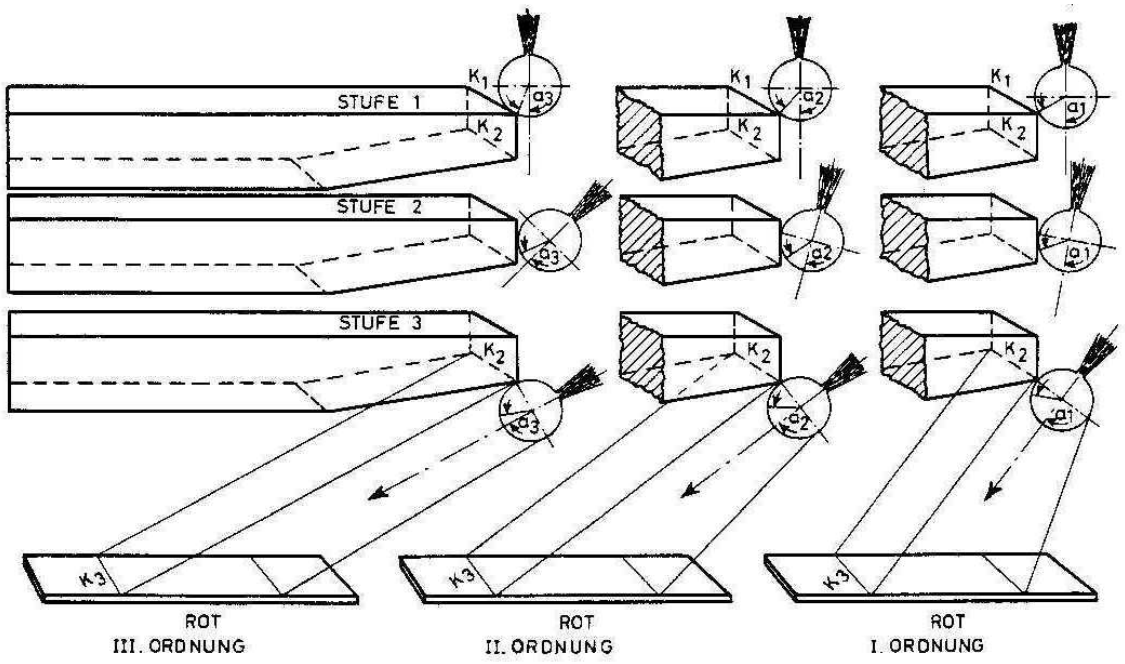

45

Как мы можем объяснять причину спектров первого, второго и третьего порядков в свете принципа ракеты? Позвольте нам сначала показать в отношении рис. 45, как вообразить действие фотонных ракет, попадающих на клин промежутка. Возможно для любой фотонной ракеты поразить любую точку переднего края промежутка с его передним полушарием. По существу этот тот удар, который определяет, отклонены ли фотонные ракеты к первому, второму, или третьему порядку, или блокированы ли фотонные ракеты, поглощены, или рассеяны, чтобы быть расцененными как рассеянные. Поскольку полоса пропускания красного включает большое количество переходов от одного диаметра ракеты до другого также как все оттенки красного, мы хотим использовать в нашем примере красный из линии Фраунгофера A, который из-за его уникального оттенка имеет уникальный диаметр ракеты и следовательно уникальное отклонение. Это отклонение иллюстрировано на рис. 45 в связи с тремя различными точками соударения переднего полушария ракеты, принимая, что угол траектории a1 ракеты приблизительно 60 °. При соударении под углом приблизительно 60 °, ракета ударяет край K1 как препятствие и откатывается соответственно. Траектория ракеты уклоняется вправо, и реактивная сила ракеты заставляет её дрейфовать влево около края K2, так что мы видим на экране цвет красный в 1-ом порядке и темную линию K3 как наиболее удаленную линию границы. Эта темная линия появляется неизбежно и является ни чем иным, как результат ракеты подобных диаметров, которые были выровнены фронтально краем промежутка K2. Как мы видели ранее, красный включает много оттенков, которые вызваны более крупными диаметрами ракет по направлению к желтому. По этой причине, многочисленные темные линии следуют на K3, каждая из них – фронтальное выравнивание фотонных ракет сходного размера, вызванное более низким краем промежутка K2. Доказательство факта, что эти темные линии промежутка K3 не имеют ничего общего с волновыми линиями - то, что эти линии K3 простираются параллельно, независимо от формы линии промежутка K2 – будь она волнистой или изогнутой или зигзагом – в то же время находясь в прямой связи с различными диаметрами фотонных ракет. Эти темные линии K3 кажутся темными только потому, что они представляют цепочечные краевые границы ракетных диаметров и не оказывают вообще никакого воздействия на сетчатку. Они не появились бы вообще, если бы разрядка ракет, окружающих их, не порождала цветное восприятие.

Полоса красного света 2-ого порядка представляет угол соударения ракеты a2 приблизительно 40 ° относительно траектории ракеты. В этом случае, ракета встречает даже большее сопротивление на краю K1 и следовательно откатывается больше, так что траектория ракеты уклоняется больше вправо, заставляя реактивную силу двигать ракету более влево на крае K2. Так что на экране появляется красный цвет 2-ого порядка. Здесь также появляются темные линии, как описано выше. Что касается красного 3-го порядка, угол соударения ракеты a3 - приблизительно 20 ° относительно траектории. По точно тем же самым причинам, отклонение больше, чем с красным из 2-ого порядка. Здесь также появляются темные краевые линии по причине фронтального выравнивания подобных ракетных диаметров.

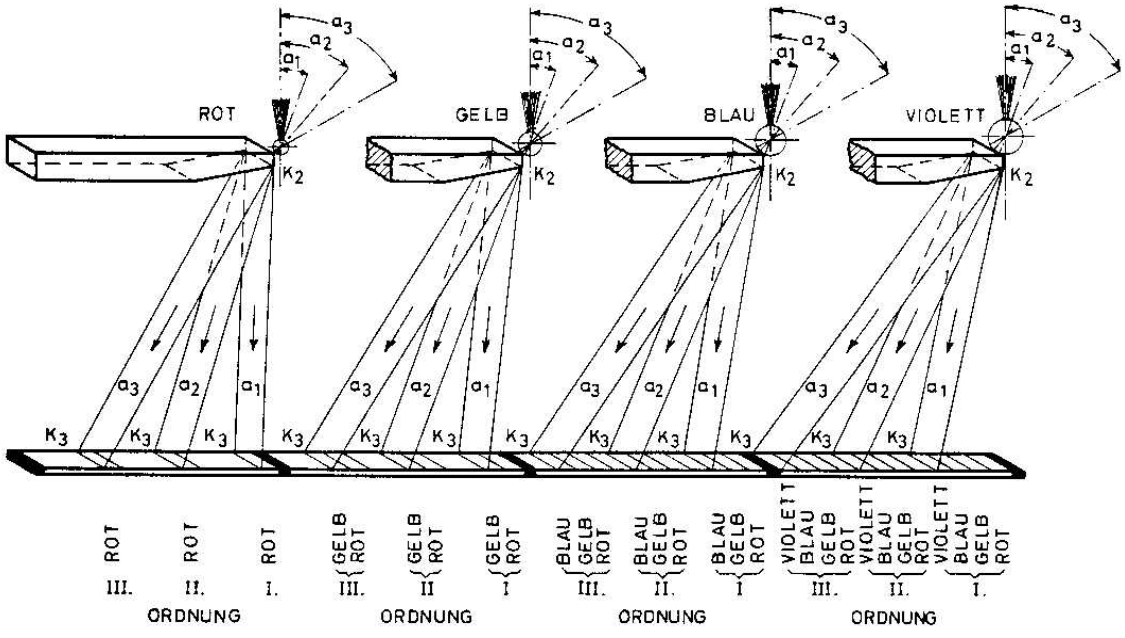

46

Наконец, рис. 46 показывает формирование полных спектров 1-го, 2-го, и 3-го порядков путём вставки увеличивающихся цветных ракет желтый-синий-фиолетовый. В соответствии с увеличивающимися ракетными диаметрами, увеличивается отклонение по причине увеличения импульса отклонения, так что отсутствующие цвета непрерывно добавляются. Для ясности, соударения ракет были иллюстрированы только углами a1, a2, a3, а траектория – стрелками. Предполагается, что наиболее вероятно, соударения фотонных ракет на крае промежутка K1 изменяются в некоторых пределах, вызывая легкое рассеивание траекторий ракет, что становится очевидным по более широкой основной линии спектров и переходов между отдельными цветами.

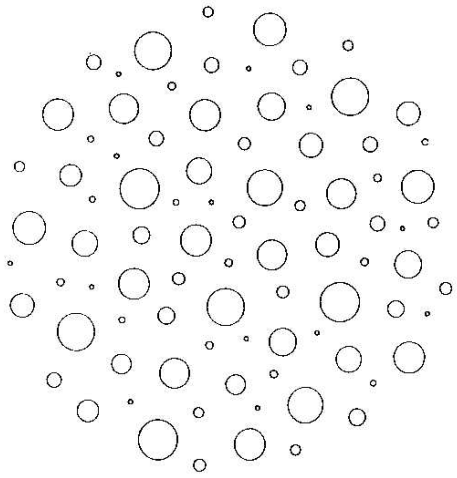

47

В основном объяснив явления света, мы теперь можем отважиться рассмотреть поляризацию света. Если бы мы смогли сделать сечение поперек направления луча пучка лучей света, мы увидели бы результат, показанный на рис. 47: Мы различили бы только множество фотонных ракет различных размеров, имеющих прорыв на тыловых полушариях, из которых истекает ядерное электричество, из самых маленьких диаметров при самом низком напряжении и самой высокой плотности и из самых больших диаметров при самом высоком напряжении и наименьшей плотности. Давайте теперь направим такой пучок лучей под прямым углом на кольцо R помещенное перед призмой P на рис. 48.

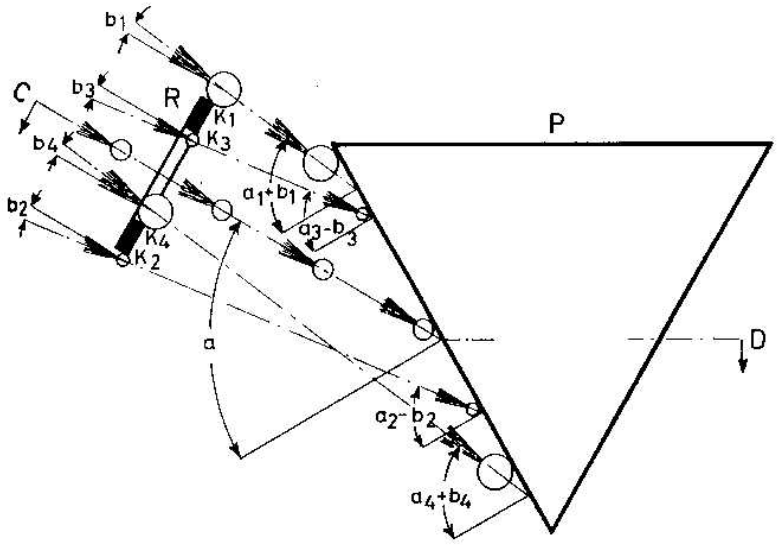

48

Все лучи или фотонные ракеты, касающиеся внешних и внутренних кольцевых граней K1, K2, K3, K4, отклоняются от своих траекторий, в то время как все другие лучи следуют по их траекториями без препятствий вне кольца и внутри кольцевого отверстия, так что они попадают на входную грань призмы без отклонения под отличным углом атаки a. Эти лучи или фотонные ракеты проходят через призму, как описано выше, различаются как белый свет сразу позади призмы в пределах светового клина, и появляются как цветные краевые лучи вне светового клина из-за их неполного состава. Когда мы начинаем исследовать те отклоненные лучи, которые входят в контакт с внешним кольцевым краем K1 и K2 на своих траекториях, мы с

удивлением выясняем, что угол атаки a1 верхней фотонной ракеты увеличивается на ее угол отклонения b1, в то время как угол атаки a2 нижней фотонной ракеты уменьшается на ее угол отклонения b2. Когда мы теперь обращаемся к отклонению луча во внутреннем кольцевом крае K3 и K4, мы находим здесь, что угол атаки b3 верхней фотонной ракеты уменьшается на сей раз на значение ее угла отклонения b3, в то время как угол атаки a4 нижней фотонной ракеты на сей раз увеличивается на ее угол отклонения b4. Все фотонные ракеты, углы атаки a которых уменьшены, начинаются с цветов красного и желтого, в то время как все фотонные ракеты, углы атаки которых увеличены за пределы нормального угла атаки a, начинаются с цветов синего и фиолетового. Таким образом, поляризация - законное деление пополам или центрированное разделение спектра на основе вычитания или дополнения соответствующих углов отклонения ракеты b от или до нормального угла сферы действия a. На рис. 48, кольцо было выбрано намеренно, потому что это позволяет получать все возможные степени поляризации от нуля до самого высокого градуса отклонения в 90 °. Этот самый высокий градус отклонения достигнут в точке, где тангенсы внешних и внутренних кольцевых граней тянутся параллельно оси призмы, в то время как самая низкая степень поляризации, то есть 0 °, достигнута в точке, где тангенсы внешних и внутренних кольцевых граней простираются под 90 °, то есть под прямым углом, относительно оси призмы. Диапазон между нулем и 90 ° включает все вычитания и дополнения углов фотонных ракет. Если в нашем примере с кольцом выполнить круговое движение от центральной кольцевой оси вверх к внешнему кольцевому краю, то есть от 0 ° к 90 °, отклонение фотонных ракет возрастёт, то есть углы атаки a станут больше. При перемещении вне 90 °, углы отклонения снова становыться меньше, пока не достигают 0 ° или нормального угла атаки в 180 °. При перемещении вне 180 ° вниз, отклонение фотонных ракет снова увеличивается до 260 °, но с тем отличием, что соответствующие углы атаки a становятся меньше. От 270 ° до 360 °, углы атаки снова увеличиваются и достигают при 360 ° или при изначальной точке 0 ° нормального угла атаки a. Если проследовать таким же образом к точка контакта фотонных ракет на внутреннем крае кольца от 0 ° до 90 ° вверх, соответствующие углы атаки не становятся больше, чем в случае внешнего кольцевого края, но становятся меньше, пока при 180 ° сжимаются до нуля, то есть до нормального угла атаки a. Аналогично, углы атаки не становятся меньше, чем на внешнем крае от 180 ° до 270 °, пока снова не достигают нормального угла атаки a при 360 ° или 0 °.

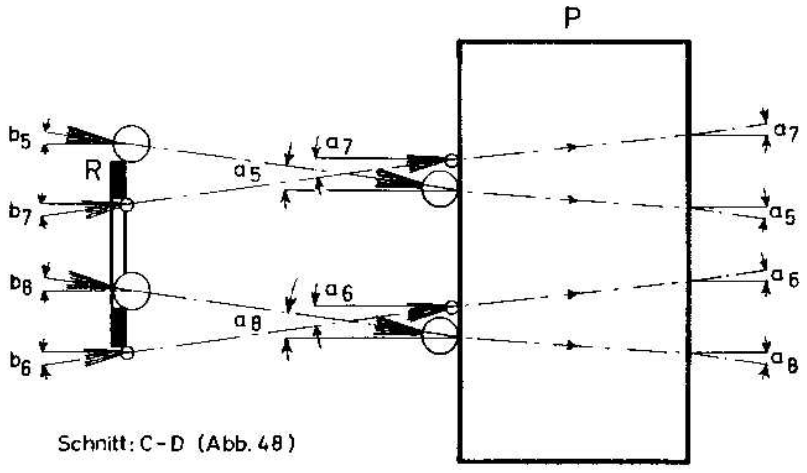

49

Что заставляет поляризацию уменьшаться до нуля, когда внешние и внутренние тангенсы кольца находятся под прямым углом к оси призмы, то есть что фотонные ракеты не отсортировываются согласно их цветовым значениям или диаметрам или величине, когда

проходят через призму? Или другими словами: Почему мы видим световые грани под прямым углом к оси призмы без цветных граней? Как показано на рис. 49, как сечение C-D рис. 48, это тот же самый принцип пути луча как в отношении плоско-параллельных стеклянных пластин, которые мы описали ранее в отношении рис. 40. Когда фотонные ракеты K5 и K6 входят в контакт с внутренними гранями кольца, они отклоняются и на входе и выходе подвергаются отклонению a5-a8 относительно перпендикулярного или параллельного смещения. Следовательно, никакая поляризация не может происходить в пределах позиции 90 °.

В этом контексте, позвольте нам вспомнить эксперимент с использованием щели, имеющей ширину 1/1,000 мм и толщины 1/100 мм. Если смотреть через щель на прут, помещенный перед источником света, этот прут показывает очень острые контуры, когда щель направлена под прямым углом относительно прута, в то время как он теряет эти острые контуры, когда щель поворачивается на доли градуса, и становится невидимым, когда щель поворачивается на 90 °. Это явление становится полностью ясным, если к нему применить законы преломления фотонных ракет, описанные ранее.

Отражение Света

Когда световые лучи от источника света попадают на вещества, последние становятся видимыми и представляются глазу в отличном цвете. Лучи отражаются от поверхности веществ в другой смеси или составе в соответствии с поверхностью вещества. В зависимости от состояния поверхности отражения, лучи отражаются в определенном направлении или рассеянно. Гладкие поверхности отражают лучи более или менее упорядоченно, в то время как грубые поверхности отражают их беспорядочно во все стороны.

Причина Отражения

Когда мы расцениваем луч света как состоящий из ракет энергетических шаров, мы с лёгкостью осознаём более глубокие отношения между отражением, цветом и состоянием поверхности освещаемого вещества. Если рассматривать измерения ракет энергетических шаров и расстояний между энергетическими шарами на поверхности освещаемого вещества, становится ясно, что каждое вещество сохраняет некоторое количество фотонных ракет определённого размера, то есть диаметра, в зависимости от группировок энергетических шаров вещества и соответствующих меньших или больших ниш и впадин на его поверхности. Следовательно, только отличные виды ракет от поверхности вещества достигают глаза и порождают соответствующую разрядку, то есть восприятие цвета, между палочками и колбочками сетчатки. Если, из-за состояния поверхности вещества, все или скорее подавляющее большинство фотонных ракет остаётся в нишах и впадинах поверхности вещества, мы воспринимаем это вещество как черное. Свет, как мы обычно говорим, поглощается. Как естественное следствие, фотонные ракеты передают своё тепло накопления веществу. Если только малое количество или, как в случае полного отражения, вообще никакие фотонные ракеты не удерживаются, мы воспринимаем вещество как белое, или мы видим белый свет. Когда свет поглощается, то есть когда фотонные ракеты пойманы черным веществом, они осуществляют давление на вещество в соответствии с их скоростью и массой или кинетической энергией (m•v2)/2, известное как давление излучения. Поскольку фотонная ракета - упругое тело, она отбрасывается или отражается согласно механическому закону толкания полностью упругих тел. В большинстве случаев, однако, очень вероятно, что отбрасывание вызывает соответствующее изменение направления реактивной силы ракеты, как мы описали в отношении нормального спектра.

Радиометр

Когда фотонные ракеты отражаются от гладкой и белой поверхности согласно закону толкания упругих тел, они передают не всю свою кинетическую энергию поверхности, о которую ударяются. Если, однако, фотонные ракеты попадают на черную поверхность, они ею поглощаются, так что черная поверхность получает их полную кинетическую энергию. Различие между двумя моментами белых и черных поверхностей, порождённое кинетической энергией, определяет направление вращающения радиометра, изобретенного англичанином Круксом, в 1874.

Много можно еще сказать о распространении и изгибе света и многих его оптических явлениях, особенно о поляризованном свете, порождении расходящейся радиации, переливающихся гранях линз и их устранения при помощи оптической короны и оптического кремня, равно как и о двойном преломлении света в кальците. Также было бы очень интересно изучить влияние гравитации на фотонные ракеты, которые мы узнали как частицы массы. Предполагаемое существование фотонных ракет даёт также объяснение влиянию магнитного поля на так называемую плоскость поляризации света, которая, с нашей точки зрения, подобна выравниванию фотонных ракет посредством краёв промежутка K1, K2. Известно, что даже Фарадей доказал это влияние. Объясняется также и другой эффект магнетизма в связи со светом, который Зиманн обнаружил через 40 лет. На основе закономерности света, описанной выше, каждый может найти ответы на все вопросы в этом отношении.

Концепция Света Гете и Ньютона

Но как же насчёт мнения Гете, что белый свет – это не составной свет, а уникальный простой свет и что цвета возникают только из-за замутнённостей или ограничений, накладываемых на белый свет веществами? В свете наших вышеупомянутых исследований мы должны сказать: с чисто эмоциональной точки зрения его артистического, интуитивного восприятия, Гете был конечно на правильном пути к полной истине, но был неправ по сравнению с Ньютоном в утверждении, что белый свет – это уникальный простой свет. Ньютон представил экспериментальное доказательство своей концепции, хотя это доказательство, как мы увидели, также было не совсем правильным. Тщательное исследование полностью подтвердило концепцию Ньютона, в то время как было возможно с научной точки зрения опровергнуть утверждение Гете.

Гете, и вероятно все другие художники, пытается делать выводы от целого к частному, в то время как аналитические естествоиспытатели и возможно все ученые извлекают частное из целого, тщательно изучают это частное и делают выводы от частного к целому. Наши приведённые выше соображения показывают, однако, что первобытный строительныйа материал или первое физическое состояние веществ, включая свет – это ядерное электричество, то есть потенциальная энергия, и что любая субстанциальная, тепловая и световая материя происходит от этой энергии. Так что можно уверенно описать это ядерное электричество словами Гете как " уникальное простое ". Однако, нельзя обобщать это важное восприятие односторонне, как это сделал Гете, но следует принять обнаруженные факты как факты и признать, что свет, воспринимаемый как белый, состоит из суммы отдельных "светов", воспринимаемых как цветные. Гете поддерживал более высокую концепцию на уровне, который заслуживал бы полного разъяснения. Ньютон был на пути к этому разъяснению в своих исследованиях. Гете, с другой стороны, использовал острые и оскорбительные выражения,

чтобы отказаться от научного разъяснения. Именно этот отказ разрушил его цветовую теорию. Тем не менее, мы должны признать художника Гете, "Глаз обязан своим существованием свету" и "Если бы глаз не был подобен солнцу, как бы мы могли видеть свет? Если в нас жила собственная мощь Бога, то где же божественный восторг?"

Новое Предложение Измерения Скорости Света в Зависимости от Вращения Земли

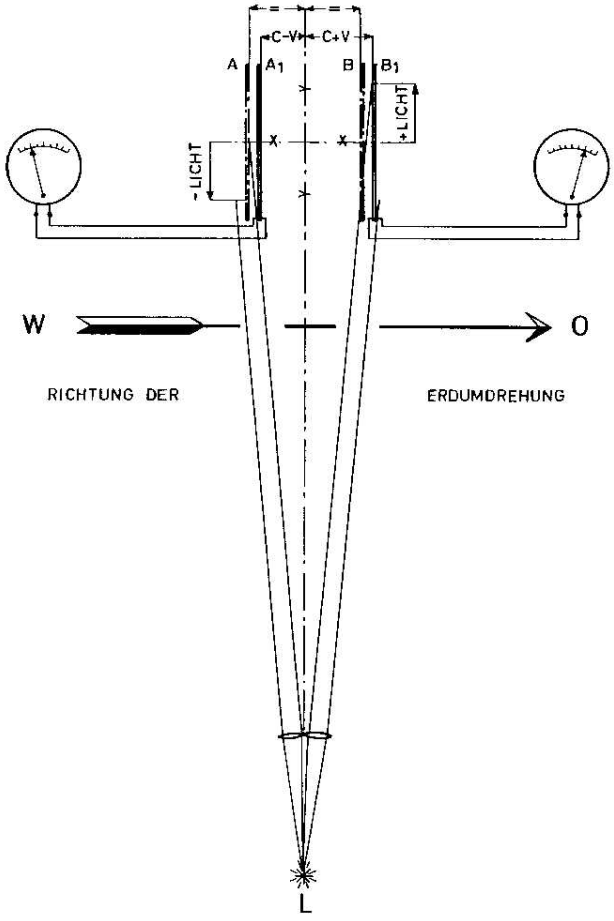

50

Рис. 50 схематично иллюстрирует устройство для измерения скорости света в зависимости от вращения земли. Это устройство по существу состоит из постоянного источника света L, двух фотоэлементов A-B, двух инструментов электрических дисплеев и соответствующего оптического оборудования. Всё устройство установленно на вертикальной оси с возможностью вращения. Устройство работает следующим образом: с целью калибровки весь измерительный прибор сначала вращается в горизонтальной плоскости так, что общая ось фотоэлементов принимает северо-южную, а Ось Y источника света – восточно-западную ориентацию. В этом положении калибрования считываются значения, выводимые на дисплеи. Когда вся измерительная система поворачивается на 90 °, так что Ось X фотоэлементов принимает восточно-западную, а Ось Y источников света – северо-южную ориентацию, фотоэлементы сканируются уже не равномерно, а неравно пучками лучей источников света, потому что за единицу времени вплоть до прибытия луча света, фотоэлемент A принимает положения A1, а фотоэлемент B – положение B1. Таким образом, при перемещении всей системы из ее первоначального положения в v/c отношении 1:1, сила излучения, действующая на

принимающие поверхности A и B, измененяется. Таким образом, интенсивность света на светочувствительном экране A1 уменьшается, в то время как она увеличивается в том же самом отношении на экране B1. Ещё одно считывание значений, показанных на инструментах дисплея, даёт различие по сравнению со значениями, считанными в положении калибрования, и это различие пропорциональн скорости света и вращению земли. Инструмент фотоэкрана A1 показывает отрицательное, а инструмент экрана B1 – положительное значение. Поскольку угол атаки света, так же как двустороннее смещение экранов A-B в направлении вращения земли, могут быть точно рассчитаны и таким образом расценены как известные количества, увеличение или уменьшение поверхностной интенсивности может быть рассчитано с предельной точностью и считано на инструментах, калиброванных для скорости света.

Резюме

1. Свет

Свет – это специфическое восприятие интенсивности ядерного электричества, истекающего из энергетического шара на сетчатке глаза и представляет переход из второго к первому физическому состоянию веществ.

2. Распространение света

Когда зона динамического равновесия энергетического шара нарушается односторонним нагреванием, ядерное электричество истекает из энергетического шара с результирующей реакцией, отбрасывающей его в противоположном направлении в соответствии с принципом ракеты.

3. Скорость света

Скорость света зависит от меры силы (плотность, умноженная на напряжение) ядерного электричества, истекающего из ракеты энергетического шара, которая имеет одинаковую энергию во всех энергетических шарах.

Часть Пятая

Причина Движения Астрономических Тел

Причина Движения Астрономических Тел

Если мысли и идеи, которые мы сформировали на основе вихревой теории о мире малого - микрокосмосе - соответствуют действительности, то они должны также соответствовать действительности, когда мы применяем их логически к миру большого - макрокосмосу. Действительно, закон вихревых потоков, который мы можем доказать в мелкомасштабных экспериментах, соответствует во всех деталях закону движения нашей солнечной системы, так же как спиральных или вихревых галактик, и мы даже способны определить направление осевого вращения планет, лун и солнца, так же как направления планетарных орбит вокруг солнца на основе нашего знания о потоках. Далее мы находим удовлетворительное объяснение обратных орбит некоторых лун и комет. Начиная с развитых выше идей, давайте теперь попробуем прийти к грубой, но конкретной идее о формировании нашей солнечной системы. В этой попытке мы не хотим повторить ошибку теории Канта и Лапласа и отдаваться на волю любому слепому случаю в законах. Также при рассмотрении классического экспериментального доказательства эффекта раскола планет с использованием хорошо известной капли масла, мы не хотим пренебречь тем фактом, что идея и власть преподавателя формируют фон для вращения капли масла. Аналогично, в наших соображениях о формировании мира мы не хотим игнорировать тот факт, что логически идея относительно мира также должна быть основанием его формирования, и что должна существовать сила, чтобы преобразовать идею в действительность. Так же, как и все в маленьком земном масштабе, это только сравнение или образ неисчезающего большого, и так же, как ничто не случается, не будучи разработанным где-нибудь, мы должны быть последовательны в нашем предположении, что в мире большого также ничто не случается, не будучи разработанным заранее во всех деталях и определенным как идея. Выяснить или по крайней мере подозревать, кто есть великий и великолепный мыслитель и создатель всего, что происходит в большом и широком мире - польза любого индивидуума. То, о чём мы здесь говорим, связано только со строительным материалом и рафиком строительства очевидных явлений и движений чисто физического и механического типа в пределах нашей солнечной системы.

Давайте сначала примем, что пространство, в котором расположена наша солнечная система, было, в очень отдаленном прошлом, полостью без вещества в открытом космосе, то есть что это пространство находилось на самом низком возможном космическом полюсе холода и было заполнено только потенциальным электричеством и/или материей в её первом физическом состоянии.

Формирование Нашей Солнечной Системы

Таким образом, это потенциальное электричество было бы в своей самой высокой концентрации в упомянутой полости, поскольку оно находилось на точке абсолютного космического нуля. Если бы мы могли наблюдать эту полость снаружи, нас бы ничего особенно не поразило, за исключением факта, что эта полость была всего лишь темной полостью в открытом космосе, так же, как мы в настоящее время можем наблюдать такие темные полости или ниши вне нашей солнечной системы. Это правда, что в настоящее время эти темные полости обычно

расцениваются как массы туманностей. Согласно нашим соображениям, однако, они никакие не массы туманностей, но полости без вещества в пространстве. Как же тогда возможно, что ни луч света, ни любое другого тела не может проникнуть через эти полости? Наши вышеизложенные разъяснения позволяют нам весьма легко ответить на этот вопрос. Мы поняли, что вещества – это только динамические зоны равновесия противоположных сил, и что эти силы определяются низкой полостной температурой энергетических шаров и окружающей температурой действительного электричества. Теперь, если окружающая температура равна полостной температуре, то зона равновесия, а с ней и характер вещества исчезают, то есть вещество становится невидимым, исчезает, оставляя после себя только потенциальное ядерное электричество. Теперь, поскольку темные полости во вселенной – это полости потенциального электричества находящегося на точке абсолютного космического нуля, нам становится ясно, что всё вещественное - включая луч света - распадается и физически исчезает, как только входит в такие полости, потому что полостные температуры вещественных энергетических шаров, равны или почти равны окружающей температуре, то есть температуре темных полостей. И ситуация не была иной до формирования нашей солнечной системы. Теперь мы можем представить, как эта темная полость нашей солнечной системы постепенно начала грохотать на ее внешней границе по причине всенаправленного излучения окружающих фиксированных звезд или по причине потока тепла от одного или нескольких звездных созвездий. Хотя каждый луч света нырял в эту полость, ее тепло накопления, переданное на границе полости, вызывало раздражение, запущенное расширением ядерного электричества. Когда, вдобавок, основное излучение тепла воздействовало на некоторые места, происходили извержения во внешней окружности. Можно представить таким образом, что постепенно возникала тенденция к формированию динамической зоны равновесия космической полости, которая все более стремилась к всенаправленной компенсации давления. Эта компенсация давления или энергии могла достигнуть завершённости только в сферической форме, потому что только эта форма даёт возможность равномерного распределения всенаправленных сил давления. Формирование вещества поначалу было возможно в окружности, содержащей газы, имеющие низкую полостную температуру. Если бы были тепловые градиенты от некоторых звёздных созвездий к полости, газы, должно быть, собрались бы в пределах градиентов как туманности. В соответствии с интенсивностью этих тепловых градиентов и с неустойчивостью полости, заполненной потенциальным электричеством, происходили более крупные и сильные извержения и выбросы потенциального электричества, в особенности поначалу. По мере продвижения тепла по направлению извне внутрь, объем потенциального электричества вступил в пространство более высокой температуры, так что здесь также, с одной стороны, выброшенное потенциальное электричества, находящееся на точке космического нуля, немедленно начало расширяться на своей внешней границе, в то время как с другой стороны действительное окружающее электричество, находящееся в более высокой температуре, стремилось к своему первичному состоянию, холоду, таким образом формируя динамическую зону равновесия, хорошо сбалансированную во всех направлениях. Именно так мы должны представлять формирование планет. По этой причине развитие нашей солнечной системы началось с внешних планет с их большими размерами. Чем меньше и сбалансированнее становился объем потенциального электричества, который мы называем сегодня солнцем, тем меньше были размеры внутренних и более молодых планет. Таким образом, планеты – это ядра потенциального электричества, выброшенные из полости, заполненной потенциальным электричеством и они находятся на точке абсолютного космического нуля. Ядро солнца – это до сих пор существующий остаток большой прежней полости, и он также находится на точке

абсолютного космического нуля. > С точки зрения вещества, можно определить эту полость, так же как и полости планет и лун, как безвещественные полости солнечной системы.

Тайна Солнечных Пятен

С тех пор как человечество узнало о существовании солнечных пятен, об этом явлении много сказано и написано. До сегодняшнего дня были представлены многочисленные теории солнечных пятен. Даже недавние исследования не смогли дать удовлетворительный ответ относительно характера солнечных пятен, хотя наблюдения позволяют сделать некоторые выводы. Фотографии солнца, сделанные с монохромным светом (J. Strobbe Handbuch der Experimentalphysik, vol "Astrophysik") показывают, что над действительными солнечными пятнами существуют материальные вихревые поля, и что движение их происходит тангенциально к солнцу таким образом, что существует направленный внутрь поток в пятно в более высоких слоях (15 ' 000 км) и поток, направленный наружу от пятна в более низких слоях.

Спектрогелиограммы различных страт поверхности солнца, приведённые на странице 144 " Zur Erforschung des Weltalls " [Об Исследовании Вселенной] Bruggencate и Kopff, позволяют сделать очень интересные наблюдения. На этих иллюстрациях ясно видно, что действительные солнечные пятна кажутся покрытыми легкими облаками. Однако, гелиограф даёт возможность проникнуть через эти покрывающие облачные слои, так что остаются только темные, подобные отверстию формы. Хотя в настоящее время преобладает обычное мнение, что пятна совсем не кажутся темными по сравнению с действительно темными объектами типа луны во время затмения солнца или Венеры при прохождении по солнцу. Темные пятна главным образом расцениваются как различие яркости на поверхности солнца с отношением яркости между нормальной солнечной поверхностью и центральной областью пятна приблизительно 1:10. Основная ошибка в оценке различий яркости также заключается в факте пренебрежения расстоянием между солнцем, его пятнами и планетами, и луной, проходящей перед солнцем. Есть огромное различие между различением темного пятна непосредственно на плоскости сияющей основы или, как в случае прохода планет, на гигантских расстояниях между пятном и его покрытием. В первом случае, выброс и распространение света имеет наиболее замечательный эффект и заставляет пятно казаться значительно более ярким, в то время как во втором случае рассеянный свет направлен так, что объект кажется значительно более темным. Даже сегодня солнечные пятна позволяют нам взглянуть в большую оставшуюся полость. То, что мы там видим, - это безвещественная полость, заполненная первичным физическим состоянием материи, остаток от прежней большой полости того пространства, в котором сегодня вращаются наши планеты, планетоиды и луны. Это полная тайна пресловутых солнечных пятен! Таким образом, внутри солнца полная темнота, потому что - по причинам, рассмотренным выше - никакой луч света не может проникнуть внутрь или выйти наружу. Температура внутренности солнца может быть оценена как минус пять миллионов градусов по стоградусной шкале (Цельсию). Очень вероятно, что динамическая зона равновесия расширяющегося потенциального внутреннего и сжимающегося действительного внешнего электричества – это фотосфера. Начиная с этой зоны, тепло накопления уменьшается внутрь так же как наружу. Постоянное огромное излучение световых ракет энергетических шаров связано с постепенным, направленным внутрь смещением и/или сжатием динамической зоны равновесия солнца, вызывая, со своей стороны и в том же самом отношении, возрастание контакта между теплом накопления, которое уменьшается внутрь и ядерным электричеством, таким образом расширяя последнее в зоне контакта. Огромные и едва ли уменьшающиеся ресурсы энергии лежат в очень глубокой температуре ядра солнца. Это также является причиной того, почему

световая ракета энергетического шара может проходить через космос на очень высокой скорости в течение тысяч лет, не истощаясь в значительной степени, что однако, не означает, что множество лучей света не затухают на своём пути из-за недостатка запасов энергии. Последнее становится ясным, если учесть многочисленные линии или пробелы в скорости, или сбои световых ракет спектров очень отдаленных звезд. Это представление также помогает понять, как это возможно, что в мире фиксированных звезд маленькие звезды внезапно раздуваются и становятся гигантскими звездами типа Новой Живописца в 1925 г. или Новой Геркулеса в 1934 г. Очевидно, что в случае слишком быстрого приближения уменьшающегося, тепла накопления к ядерному электричеству, должно произойти всенаправленное взрывообразное расширение последнего и, таким образом, направленное наружу смещение динамической зоны равновесия, то есть расширение звезды.

Гигавихрь Солнца

Это непрерывно расширяющееся ядерное электричество солнца выдавливается из солнца, как из почти вечного колодца, и течёт, в соответствии со своим первичным состоянием, по направлению к холодным зонам планетного пространства. Как и с полюсами планеты, необходимо допустить в отношении солнечных полюсов, что возникают нисходящие винтовые потоки, и что целые газовые лоскуты располагаются подобно магнитам под прямым углом к потоку и отгоняются извне к полюсам. В соответствии с вихревыми законами, установленными в мелком масштабе, и с направлением вращения солнца и направлением вихревого потока земли, следует принять, что холодные зоны планетного пространства расширяются винтообразно и/или вихреобразно. Так что непрерывно истекающее ядерное электричество солнца текло бы к этим холодным зонам, где вихревой закон определяет направление потока между землей и солнцем, то есть на дневной стороне, с востока на запад.

Мегавихри Планет

Другие холодные зоны – это полюса планет и лун. Действительное солнечные электричества втекает в эти зоны без прерывания, опять расширяется около более теплых зон равновесия планет и лун и снова изгоняется в пределах экваторов вверх до более высоких градусов широты в виде вихрей и/или восходящих спиралей. Одностороннее солнечное излучение на планеты и луны также порождает на них градиенты тепла, которые вызывают дальнейшее формирование других вихрей. Поскольку планеты и луны также обладают ядерным электричеством, здесь также имеет место прогрессирующее уменьшение их динамических зон равновесия и следовательно постепенное но непрерывное потребление их потенциального основного электричества. Даже в пределах градиентов высокой температуры, созданных на планетах и лунах, неоднородный вихревой поток действительного электричества, исходящий от солнца в определённом направлении, определяет направление истекающего действительного планетарного и лунного электричества.

Минивихри Лун

Таким образом существуют независимые собственные вихри планет и лун плюс дополнительный вихревой поток от солнца. Далее должно быть отмечено, что луны имеют дополнительный вихрь, порождённый ядерным электричеством, исходящим от их соответствующих планет. Так что мы можем сказать, что солнце имеет гигавихрь, покрывающий и скрепляющий всю солнечную систему, планеты имеют мегавихрь, порождённый планетарным и солнечным электричеством, а луны имеют минивихрь, состоящий

из их собственного вихря плюс дополнительный планетарный и солнечный вихревой поток. Хотя потенциальное ядерное электричество небесных тел нашей солнечной системы имеет общее происхождение, мы предпочитаем определять их соответствующее электричество как солнечное электричество, электричество Меркурия, электричество Венеры, земное электричество, электричество Марса, лунное электричество, и т.д. помня об их различном состоянии напряжения, соответствующем их расстоянию от солнца.

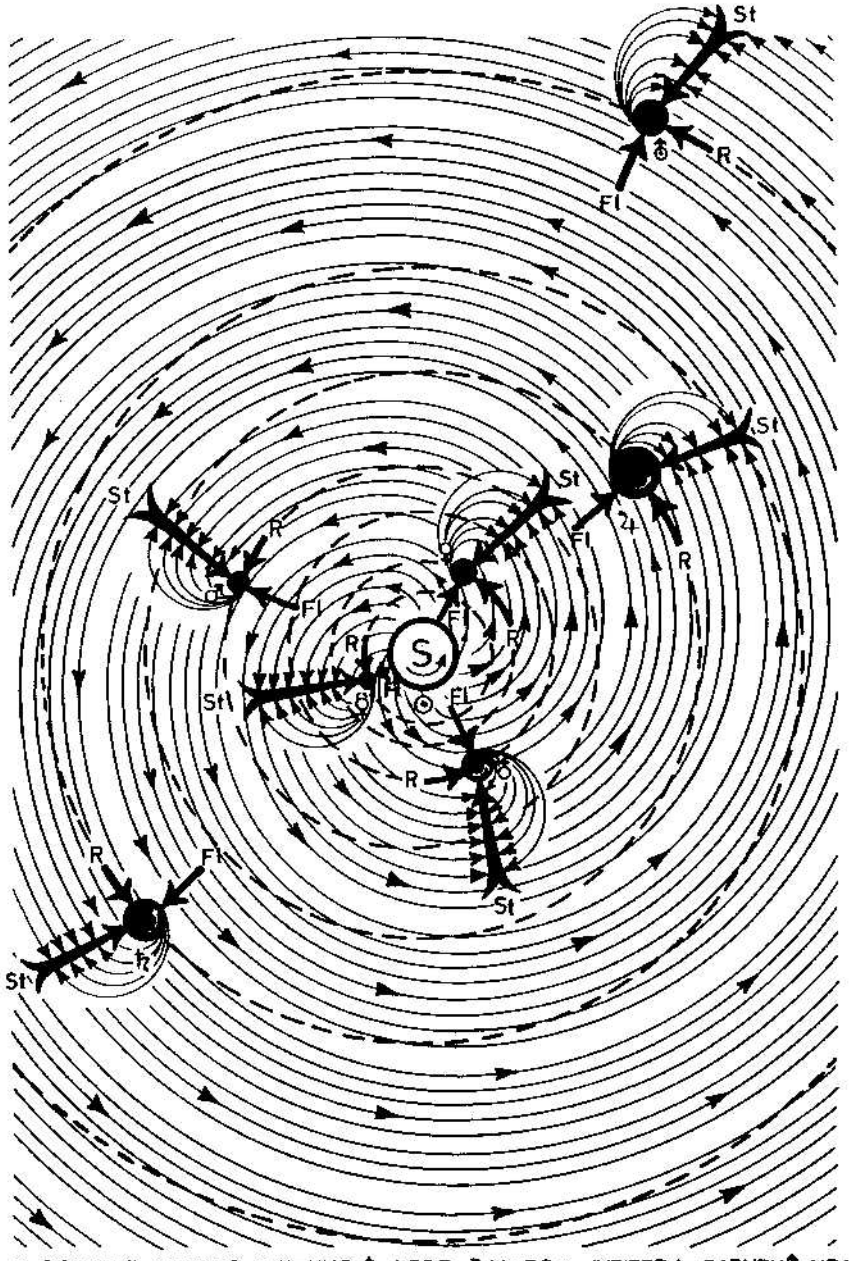

51

Рис. 51 схематично иллюстрирует расположение вихревых потоков действительного солнечного и планетарного электричества в восточно-западном направлении потока, которое мы обнаруживаем на нашей земле. Для ясности, луны на иллюстрации были опущены. Луна и ее

потоки в их взаимообратном отношении с землей и солнцем будут более чётко описаны ниже. Как можно видеть на рис. 51, все планеты имеют одинаковое направление потока, в то время как направление солнечного вихря течет в противоположном направлении. Как уже упомянуто, луны обладают, помимо их собственного вихря и солнечного вихря - текущих в том же направлении, что и планетарные вихри -, дополнительным вихрем, порождённым мегавихрем их соответствующей планеты и имеющим направление потока, противоположное собственному и солнечного вихрю.

Полярное Положение Планет и Лун Относительно Солнца

Как мы упомянули ранее, полярность вихря зависит от его направления потока. Поэтому, и в отношении рис. 51, видимые полюса планет, направленные к наблюдателю – это северные полюса, в то время как видимый полюс солнца – это южный полюс. Таким образом, возникают проиивоположные потоки между планетами, накопленный компонент которых вызывает взаимообратное отталкивание. Таким образом, разрушительное прямое столкновение или взаимный захват планет полностью исключены.

Причина Вращения Планет и Лун Вокруг Солнца

Но поскольку южный полюс солнца расположен на стороне северных полюсов планет, там существует равенство потоков между солнцем и планетами и полярностью потока на ночной стороне планет, обращённой от солнца. Эта полярность между дополнительным полем солнечного вихря земли с одной стороны и полем гигавихря солнца с другой порождает эффект накопления, результирующая сила которого придавливает землю к солнцу. Теперь, если бы поток солнечного гигавихря не был винтовым или вихревым потоком, но концентрическим кольцевым потоком, планеты придавливались бы к солнцу поперек потока, то есть радиально по кратчайшему пути. Но поскольку поток гигавихря винтовой, планеты движимы не радиально, а почти под прямым углом к направлению потока. Кроме того, поскольку направление потока спиралей меняется с каждым угловым градусом предполагаемого круга вокруг солнца, направление результирующей силы компонента накопления потока также меняется с каждым угловым градусом.

Формирование Эллиптических Планетарных Орбит

Постоянное изменение направления результирующей силы в целом вызывает эффект планетарной орбиты, который, в зависимости от восхождения солнечного гигавихря, более или менее подобен эллипсу. Если бы поток солнечного гигавихря вокруг солнца имел форму математически точных спиралей, планеты вращались бы по точно нисходящим путям. Но при существующем положении вещей, мы должны предположить, что поток солнечного гигавихря, подобного спиральной туманности, включает два главных рукава при ответвлении в 180 °, обладающих более крутыми тангенциальными углами, каждый из которых передает эллиптический импульс. Недавние исследования уже обнаружили больше чем две тысячи миллионов спиральных туманностей во вселенной, 80 % который представляют собой спиральные туманности с двумя рукавами. Таким образом, мы должны сделать вывод, что наша солнечная система – не исключение и должна рассматриваться как спиральная система с двумя рукавами. Хотя теперь в нашей солнечной системе не должно быть обнаружено никаких туманностей, мы можем, благодаря овальным орбитам наших планет, предположить, что существует невидимый двухрукавный винтовой поток, так же, как существуют и невидимые винтовые потоки магнитов.

Таким образом мы видим снова и в максимальном масштабе эффект накопления, несколько раз описанный выше. Когда этот эффект накопления действует, явления тепла и света, связанные с ним, также должны стать воспринимаемыми.

Причина Зодиакального Света и Полярного Сияния

В самом деле, мы обнаруживаем увеличение температуры в более высоких воздушных слоях накопления или на ночной стороне земли и уменьшение температуры на дневной стороне, где не происходит никакого накопления потока. Явление света, связанное с эффектом накопления, становится видимым как так называемый зодиакальный свет около экватора, где возникает самый сильный эффект накопления.

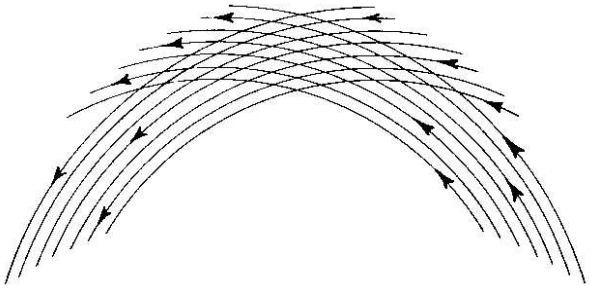

52

Полярное сияние представляет собой подобный световой эффект. Как было описано ранее, мы находим нисходящие вихревые потоки на полюсах земли, так же как и в случае с магнитом. В зоне взаимопроникновения этих восходящих и нисходящих вихревых потоков генерируются накопления, которые вызывают развитие тепла и света и таким образом порождают ленто-, полосо - или лучеобразное свечение верхних воздушных слоёв, в зависимости от интенсивности накоплений (рис. 52). Под большинством разнообразных форм северного сияния обычно наблюдается аркообразная, неискаженная винтовая или вихревая нить нисходящих и/или восходящих вихревых потоков. (Нетрудно доказать это явление в эксперименте, позволяя зонам накопления магнитного бруска затронуть светочувствительные пластины в почти безвоздушном сосуде в течение длительного периода времени.)

Интенсивность этих вихревых накоплений зависит от действительного солнечного электричества. Если поле солнечного гигавихря увеличивается из-за извержений ядерного электричества, происходит увеличение в интенсивности мегавихря на земле и других планетах, что находит выражение в полярном сиянии, так называемых магнитных бурях, общей погодной ситуации (периоды холода) или частично в формировании перистых облаков. Аналогично, скорость вращения геомагнитного дифференциального двигателя, упомянутого несколько раз ранее, увеличивается. Было бы весьма интересно определить, может ли увеличение в вихревом потоке влиять на индукцию, увеличивать гравитацию и ускорять землю, равно как влиять на потоки планет и лун.

Что касается извержений ядерного электричества (протуберанцев) на солнце, весьма вероятно, что эти явления связаны со сжатием динамических зон равновесия. Ввиду огромных масс вещества мантии солнца нельзя предположить, что последовательно происходит точное выравнивание динамической зоны равновесия в процессе непрерывного сокращения, но более вероятно, что выравнивание происходит периодически, по преодолении некоторых сопротивлений смещения.

Годы Максимумов Солнечных Пятен

Судя по всему, годы максимумов солнечных пятен, похоже, связаны с периодическим выравниванием динамической зоны равновесия. Таким образом, легко понять, что такое выравнивание также вызывает периодический более сильный контакт между накопленным теплом, уменьшающийся по направлению внутрь, и потенциальным ядерным электричеством. Однако, этот временно более сильный контакт ведет к временно более интенсивному формированию вещества и расширению ядерного электричества на его наиболее удаленной границе. Действительно, в такие периоды вещества часто взрывообразно выбрасываются из внутренней зоны их порождения на 900,000 км в планетарное пространство, благодаря огромной силе внезапного расширения ядерного электричества. Так называемые пятна, возникающиеся после таких грандиозных событий являются на самом деле ничем иным, как отверстиям, развившимся в мантии солнца. Эти пятна главным образом появляются в пределах восходящих вихревых потоков в широтах между 5 и 40 градусами к северу и к югу от экватора и позволяют заглянуть в полую внутренность солнца, которая находится на точке космического нуля и заполнена потенциальным электричеством, при этом будучи свободной от любого вещества или света. Теперь расширяющееся потенциальное электричество вытекает через эти отверстия в мантии солнца, пока не восстанавливается внутренння компенсация, определяемая процессом сокращения. Как упомянуто выше, это истечение заставляет интенсивности вихревых полей планет увеличиваться. Это увеличение интенсивности очень чётко подтверждается графами, показанными на рис. 53. В течение более длительного периода времени, эти графы показывают полное соответствие между магнитным отклонением и появлением солнечных пятен.

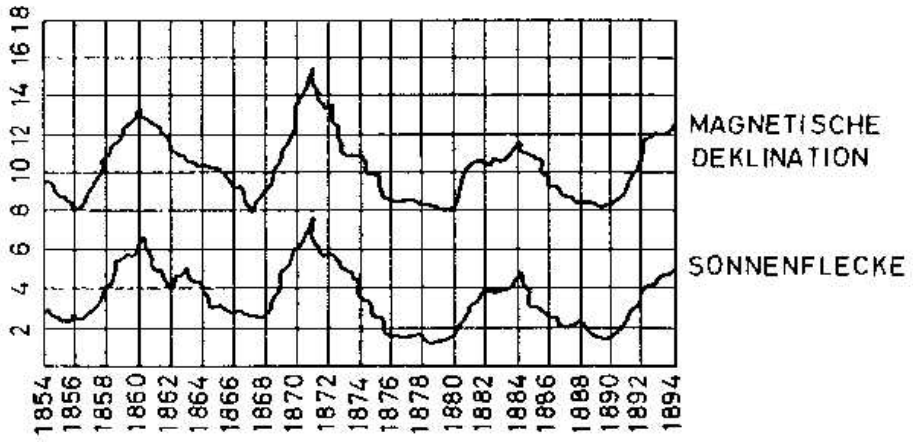

53

Из наших более ранних соображений мы знаем, что увеличение температуры вызывает увеличение напряжения, в то время как уменьшение температуры вызывает уменьшение напряжения действительного электричества. Таким образом, плотность действительного электричества уменьшается с увеличением напряжения и, с другой стороны, увеличивается с уменьшением напряжения. Так что мы имеем более высокое напряжение действительного электричества около солнца и более низкое напряжение далеко от солнца. Это означает, что результирующие силы компонентов ночного накопления, которые заставляют планеты вращаться вокруг солнца, уменьшаются с возрастанием расстояния от солнца. Таким образом, вращение планет по орбитам замедляется пропорционально их расстоянию от солнца. Мы можем осознать это в отношении нашей земли, поскольку она имеет самую высокую скорость около солнца (перигелий) и самую низкую скорость далеко от солнца (афелий).

Причина Вращения Солнца, Планет и Лун Вокруг их Собственных Осей

Вращение солнца и планет вокруг их собственных осей можно объяснить в очень простой и иллюстративной манере, используя эту вихревую теорию. Мы можем получить правильное представление об этом явлении, посмотрев на известное электрическое колесо или летящее колесо, показанное на рис. 54, разрядка на наконечнике которого заставляет колесо вращаться в противоположном направлении. Этот же принцип применим к вихрям действительного электричества. Восходящие восточно-западные вихревые потоки планет толкают их в противоположном, то есть западно-восточном, направлении и таким образом передают непрерывный крутящий момент на планеты. Ранее мы обнаружили, что, кроме вихрей действительного солнечного электричества, планеты имеют собственные вихри, восходящие изнутри. Именно этот вихрь дает планетам их осевое вращение. Здесь следует принимать во внимание, какой тепловой градиент и следовательно какое напряжение и плотность имеет восходящий вихрь. Около солнца напряжение солнечного электрического вихря очень высоко, в то время как его плотность низка; аналогично, направленный наружу тепловой градиент восходящего действительного планетарного электричества низок около солнца, то есть близкие к солнцу планеты, а именно Меркурий и Венера, вращаются вокруг своей оси медленно, в то время как их вращение вокруг солнца быстрее благодаря более высокой концентрации и более высокому напряжению действительного солнечного вихря и более сильным результирующим компонентам накопления по сравнению с вращением по орбитам более далёких от солнца планет. Таким образом, чем дальше мы перемещаемся от солнца, тем более уменьшаются напряжение и концентрация действительного солнечного электричества и тем медленнее будет орбитальное вращение планет. Альтернативно, направленный наружу тепловой градиент планет из зоны равновесия становится больше и увеличивает взаимообратные вихревые силы, таким образом заставляя планеты вращаться быстрее вокруг их собственных осей благодаря более высоким крутящим моментам. Чем ближе планеты подходят к солнцу, тем более низкими становятся их крутящие моменты, но тем большими становятся их результирующие силы накопления, которые вызывают их вращение вокруг солнца. Что касается самого солнца, мы осознаём вращение в противоположную сторону по причине газообразного физического состояния мантии солнца. Здесь вещества не толкаются назад, а увлекаются восточно-западным солнечным электрическим вихрем в том же направлении. Следовательно, солнце вращается вокруг своей оси с востока на запад, причём быстрее на экваторе, где напряжение восходящего действительного солнечного электричества наиболее высоко, чем на широте приблизительно 40 градусов, где задержка вращения составляет до двух дней.

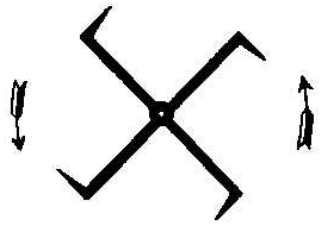

54

Что касается взаимовлияний, планеты, планетоиды и луны ведут себя очень похоже на множество магнитных брусков, подвешенных на определённых расстояниях друг от друга, северные полюса которых направлены в одном направлению. Этот факт взаимоотталкивающего воздействия полностью согласовывается с амплитудой ежедневных, ежегодных и вековых колебаний, особенно когда планеты Венера, Земля, Юпитер располагаются на по существу

прямой линии радиально к солнцу; аналогично, это воздействие согласуется с изменением среднего отклонения во время верхней и нижней кульминации. Кроме того, геомагнитный дифференциальный двигатель очень иллюстративно демонстрирует это воздействие. При взгляде на вихревую закономерность земной луны в ее зависимости от солнечного и земного вихря, мы получаем весьма удивительные результаты. Мы ранее упомянули, что луна - подобно планетам - также захвачена гигавихрем солнца и таким образом имеет солнечный вихрь в дополнение к собственному лунному вихрю, причём оба имеют одинаковое направление потока. Поскольку луна также расположена в зоне земного вихря, часть восходящего земного вихря течёт к полюсам холода луны и становится здесь нисходящим винтовым полярным потоком. Согласно правилу вихря, этот поток направлен противоположно лунному потоку, так что мы обнаруживаем на луне два противоположных вихревых потока, которые регулируют ее вращение вокруг солнца, так же, как и ее вращение вокруг собственной оси. Поток лунного электрического вихря плюс солнечный вихрь, текущий в том же направлении, доминируют над противоположным вихрем, порождённым полем земли, так что луна вращается вокруг оси в том же направлении, что земля и другие планеты. В соответствии с проттивоположным вихрем, порождённым на луне, земля оказывает тормозящее влияние на вращение луны. Она вращалась бы вокруг своей оси намного быстрее, если бы не была расположена в пределах зоны мегавихря земли. Из-за присутствия луны, вихревое поле земли разделяется на два более сильных восходящих вихревых потока, разведённых на 180 °. Между луной и землей существует б***о***льшая интенсивность накопления, потому что на этой стороне земли имеет место более сильный оттёк мегавихря земли из-за более сильного градиента по направлению к полюсам холода луны. Этот более сильный оттёк вызывает ослабление мегавихря с обеих сторон земли, в то время как на обратной стороне земли, естественно, имеет место нормальный оттёк мегавихря. Мы обнаружили, что восходящий мегавихрь является причиной вращения земли вокруг собственной оси только потому, что земная "цитадель", если можно так выразиться, отталкивается назад. Мы должны признать законность этого правила на земле и расширить его применимость также и на жидкое физическое состояние.

Истинная Причина Приливов и Отливов

Если посмотреть на прилив и отлив с этой точки зрения, то становится нам ясно, почему во время прилива максимальный уровень воды не совпадает точно с максимальным положением луны, потому что восходящие потоки между тропиками покидают землю не радиально на самом коротком пути от земли до луны, но от местоположений, которые намного превзошли линию соединения между землей и луной под одним и тем же меридианом. Теперь мы можем также понять, почему на обратной стороне земли возникает второй прилив, если включим в наши соображения второй оттёк мегавихря земли, отведённый от первого на 180 °.

Закон Истинной Лунной Орбиты

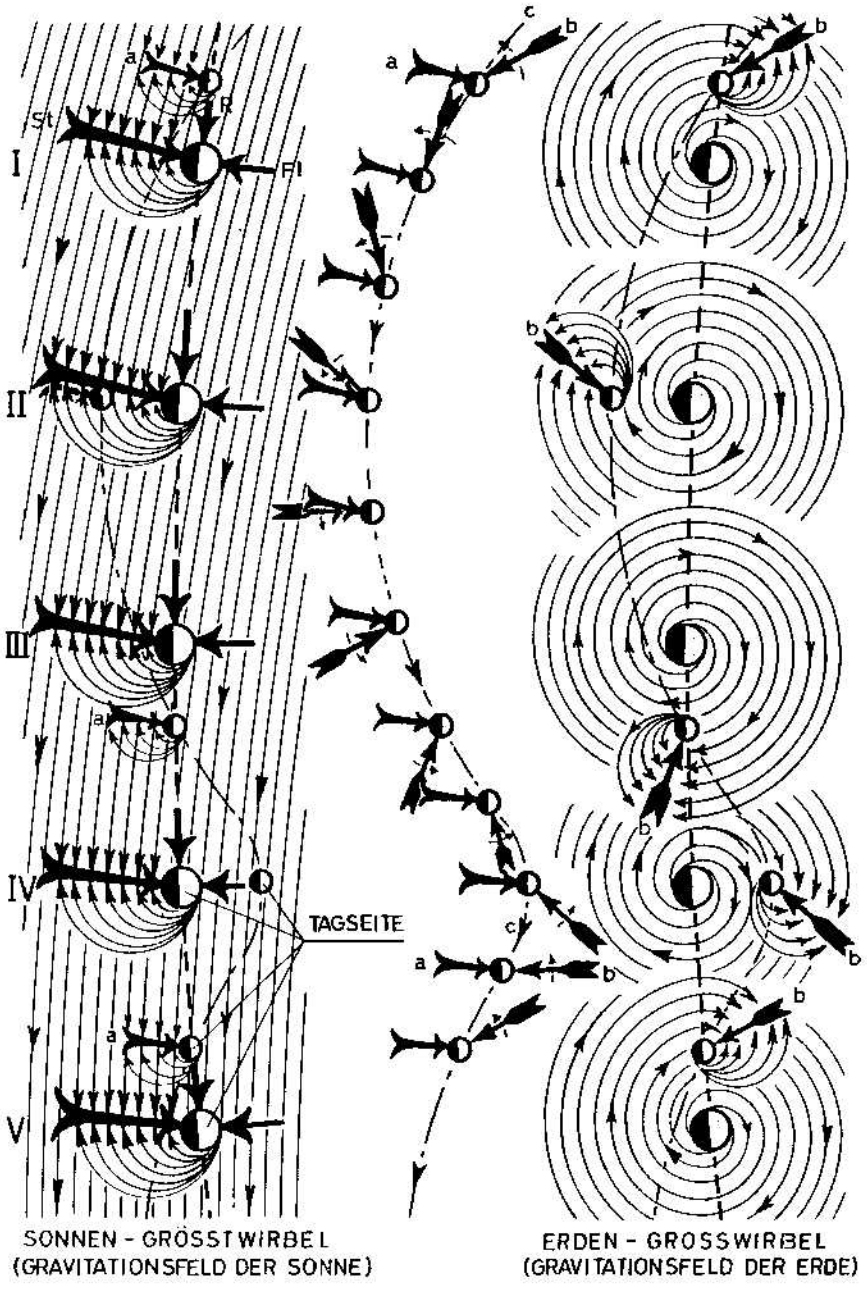

55 **56**

Итак, в отношении луны мы должны признать существование двух противоположных потоков, потока собственного лунного электричества плюс вихревой поток, прибывающий непосредственно от солнца и вихревой поток, прибывающий от земли. Рис. 55 показывает, как эти два вихревых потока взаимообратно влияют на движение луны. На этом рисунке земля показана на своей орбите вокруг солнца через четыре последовательных равных интервала времени в течение одного оборота луны. Пунктир из точек обозначает орбиту земли, а пунктир из точек-тире – истинную лунную орбиту. Иллюстрации I, III и IV показывают положения квадратуры луны: первую, последнюю и опять первую четверть, в то время как II и IV показывают положения полной луны и новой луны или противостояние и сопряжение.

Солнечный поток, действующий непосредственно на луну, порождает ее движение вокруг солнца, в то время как поток, исходящий от земли и таким образом являющийся противоположным, вызывает её вращение по круговой орбите вокруг земли. Вследствие того, что земля в то же время движется вперёд, круговое движение луны в связи с солнечным потоком становится эпициклоидальным движением..

Для ясности вихревой поток, исходящий от земли, показан отдельно на рис. 56. Каждый из этих двух потоков имеет свои собственные компоненты накопления и следовательно свою собственную результирующую силу a и b, соответственно. Сила c, происходящая из этих двух силовых компонентов a и b приводит, благодаря их взаимодействию, к эпициклоидальному движению. Когда мы используем иллюстрации, чтобы проследить эпициклоидальное движение луны, мы понимаем в положении квадратуры первой четверти, что результирующая движущая сила c, ведет луну к ночной стороне земли, и что угол между компонентами a и b становится более острым по мере движения земли вперед, пока не достигает нуля при полной луне. Это непрерывное угловое изменение сопровождается непрерывным изменением направления движущей силы c, курс которой порождает эпициклоидальную орбиту луны. Благодаря добавлению этих двух компонентов a и b, уменьшающийся составляющий угол приводит к ускорению луны по сравнению с землей в пределах эклиптики. Таким образом, луна спешит впереди земли на ее ночной стороне от первой до последней четверти в процессе ее движения вокруг солнца. Когда луна превосходит своё положение противостояния, открывается острый угол между этими двумя компонентами a и b, на сей раз в направлении противоположной стороны. На этой стороне имеет место не добавление компонентов, а, в соответствии с открывающимся углом, отнимание компонентов. Таким образом, мы имеем задержку луны на эпициклоидной орбите во время этого отнимания. В то время как в нашем примере результирующая движущая сила c влечёт луну прочь от земли с ее первой четверти до полнолуния на ночной стороне земли, движущая сила c, которая теперь направлена внутрь, влечёт луну от полнолуния до последней четверти опять к дневной стороне земли. Когда луна достигает своей последней четверти, ее орбитальная скорость вокруг солнца снова равна таковой земли. Но поскольку луна пересекает орбиту земли по направлению внутрь, острый угол из двух компонентов a и b раскрывается все больше и больше до прямого или тупого и наконец раскрытого угла, так что в новой луне компоненты противоположны друг другу и задержка луны достигает своего максимума. Так что земля спешит впереди луны в течение периода между её последней четвертью и новолунием и вплоть до её первой четверти остается более быстрой, чем луна в своём вращении вокруг солнца. После новолуния компоненты a и b возвращение, снова формируют тупой, прямой и острый угол, результирующая движущая сила c которого теперь движет луну к ночной стороне земли. Превышение растянутого угла также совмещается с уменьшением компонентов b, направленных в противоположном направлении, так что задержка луны от новолуния до фазы первой четверти снова приходит в бездействие. В своей первой четверти луна еще раз достигает той же скорости, что и земля, и снова начинает ускоряться. Принимая во внимание это непрерывное изменение результирующей движущей силы с одной стороны и ежевековые возмущения планетарной системы и колебания потока действительного солнечного электричества, исходящего от солнца, с другой, не удивительно, что определение очевидной круглой или эллиптической орбиты луны вокруг земли является одной из наиболее трудных и все еще не решенных математических проблем. Если подвергнуть вышеупомянутые факты о движущих силах солнца, земли и луны в контексте с явлениями приливов и отливов, связанными с положением луны, дальнейшему рассмотрению, закономерность вихревого потока действительного электричества как универсально эффективный мировой закон получает в дальнейшем заметную поддержку. Если посмотреть на

сильные приливные волны во время полнолуния и новолуния, то обнаружится, что в этих двух лунных позициях условия для более сильного оттока рукава вихря, ведущего к луне, наиболее подходящие, чем при любом другом взаиморасположении. Так, если одна или другая из этих двух позиций совпадает с зимним солнцестоянием, отток к луне по причине большей вихревой интенсивности около солнца значительно увеличится, что можно ясно наблюдаться в отношении весенних приливов, происходящих после этого.

Мы обнаружили, что собственный вихрь планет и лун и соответствующий дополнительный вихрь солнечного электричества, исходящий от солнца, имеют одинаковое направление, и что их эффект накопления движет планеты и луны вокруг солнца, и что, кроме того, поток от планет к лунам имеет противоположное направление, и что его эффект накопления движет луны вокруг планет. Согласно вихревому закону, планеты взаимоотталкиваются и придавливаются в направлении солнца гигавихрем скорее в тангенциальном, чем в радиальном направлении. Так же как планеты непосредственно подвергаются влиянию солнечного гигавихря, луны подвергаются влиянию своих соответствующих планет и просто прижимаются к ним тангенциально их мегавихрями. Если бы луны были расположены вне диапазона действия планетарных вихрей, луны тоже отталкивались бы планетами. По этой причине невозможно представить, что луны – это захваченные планетоиды; фактически, вихревая теория предполагает, что луны – это объемы потенциального электричества, выброшенные в процессе рождения планет, так что они никогда не могли выйти за пределы вихревого диапазона последних. Теперь и навсегда их судьба будет связана с судьбой их планет.

Противоположный поток на луне, который является причиной того, что луна не поворачивается вокруг своей оси в том же направлении, что и планеты, должен иметь тот результат, что явление, которое мы называем магнетизмом, не существует на луне, потому что противоположные потоки нейтрализуют друг друга в своём магнитном воздействии так же, как в случае с бифилярной катушкой.

Особенность Урана

В солнечной системе Уран имеет ту особенность, что его северо-южная ось смещена от нормального положения других планет приблизительно на 90 °. В отдаленном прошлом, собственный вихревой поток Урана, должно быть, был перемещён сильным вмешательством, вероятно кометы с ее значительно большим потоком энергии, выше планетарной орбиты с запада на восток во время прохождения мимо. Эта перестановка произошла или в перигелии или в афелии Урана, потому что оба полюса, то есть южный полюс в афелии и северный полюс в перигелии, направлены к солнцу. Таким образом, в одном из этих положений, северный полюс, должно быть, повернулся влево, потому что в этом новом, измененном положение направление вращения Урана вокруг его собственной оси, так же как и его лун, идёт вокруг этого измененного положения полярной оси Урана в том же самом направлении. Мы упомянули ранее, что планеты имеют свой собственный вихрь действительного потока, который порождается в зоне контакта между потенциальным основным электричеством и зоной динамического равновесия. Этот действительний собственный вихря каждой планеты путём отталкивания вызывает их вращение вокруг своих осей и далее порождает их гравитацию. Чем больше расстояние планеты от солнца, тем больше её тепловой градиент из зоны динамического равновесия в направлении открытого космоса. Поэтому планеты вращаются быстрее вокруг их собственных осей пропорционально расстоянию от солнца. Причина вращения планет вокруг солнца - солнечный гигавихрь. Мы называем его эффект солнечной гравитацией. Этот

солнечный гигавихрь порождает посредством своих нисходящих винтовых потоков так называемые магнитные полюса планет, планетоидов и лун, а посредством восходящих вихревых потоков – эффекты накопления, возникающие на ночной стороне, которые движут эти астрономические тела в западно-восточном направлении вокруг центральной звезды. Эти магнитные вихревые потоки отличаются от собственных вихрей планет только плотностью и напряжением в соответствии с их большим расстоянием от солнца.

Итак, собственный вихрь Урана, который смещён на 90 °, никоим образом не изменил вращение Урана вокруг солнца, потому что теперь, как и прежде, северный полюс мегавихря Урана, порождённый солнечным гигавихрем, перпендикулярен орбитальной плоскости и таким образом находится на верхушке, как и у всех других планет. Таким образом, в Уране мы находим уникальное явление в нашей солнечной системе – его магнитные северный и южный полюса в течение одного поворота вокруг оси блуждают в районе экватора.

Подобно, но гораздо менее значительно, это применимо также и к нашей земле. Здесь также сильное внешнее вмешательство, вероятно также из-за кометы, однажды, должно быть, вызвало смещение ее оси на 23 1/2 градуса, в то время как магнитная северо-южная полярная ось осталась перпендикулярной орбитальной плоскости. Для подтверждения этого необходимы более точные измерения.

Причина Обратных Орбит Некоторых Лун

Как мы смогли продемонстрировать, направление вращения планет вокруг солнца зависит от тангенциального угла солнечного гигавихря. Аналогично, направление вращение лун вокруг их планет зависит от тангенциального угла мегавихря планеты и минивихрей лун. Как мы можем наблюдать в отношении спиральной туманности, тангенциальный угол восходящих спиралей не всегда одинаков. В некоторых спиральных туманностях, например, восхождение винтовых рукавов очень круто около ядра туманности и в ее внешней периферии, в то время как оно почти совпадает с фактически круглой дугой вокруг ядра в центре рукавов. Если мы предположим, что такое неравномерное восхождение винтового потока также существует в пределах мегавихрей планет, то мы получаем объяснение, почему внешняя луна Сатурна Феб, так же, как внешние луны Юпитера VIII и IX, вращаются в обратном направлении. Таким же образом мы могли бы объяснить обратную орбиту луны Нептуна. Катастрофическое столкновение планет, планетоидов и лун в пределах солнечной системы не может произойти, пока градиент потока солнечного гигавихря и собственного вихря достаточно большой, чтобы поддерживать соответствующие расстояния между орбитами астрономических тел.

Благодаря вихревому закону, было бы нетрудно описать вероятное будущее развитие нашей солнечной системы в общем и во многих деталях. Однако, это знание было бы для нас только ненужным бременем и могло бы помешать нашим существующим обязанностям и задачам. Каждая эра имеет своё соответствующее знание, и поэтому не нужно и бесполезно и возможно даже вредно предварять отдаленное будущее. По этой причине мы только хотим познакомиться с наиболее фундаментальными вихревыми законами и вывести из них некоторые заключения для научного исследования настоящего. Чем глубже мы погружаемся в явления наших астрономических тел, тем более очевидными становятся наши идеи о движущих и поддерживающих силах нашей солнечной системы, как описано в данном труде. И за этими находками стоит особая история: Истинные факты по существу не всегда могут быть доказаны, но если много подобных явлений поддерживают друг друга, они могут быть признаны в их полноте и внутреннем контексте как истинные и установленные.

Кометы и Формирование их Хвостов

Если мы пристальнее взглянем на кометы, мы обнаружим, что они также подтверждают весь охват вихревых законов. Судя по их поведению, эти астрономические тела также являются объёмами, потенциальное ядерное электричество которых находится на точке абсолютного космического нуля, и мантия которых формирует зону динамического равновесия между силами накопления, действующими снаружи внутрь и наоборот. В пределах солнечной системы они подчинены солнечному гигавихрю и таким образом имеют то же самое вихревое направление, что и планеты; поэтому часто случается, что они вышвыриваются со своих орбит и отталкиваются на другую орбиту вблизи больших планет вихревыми полями последних, потому что направление потока вихрей планет и комет противоположно друг другу. Кометы, направляющиеся к солнцу по параболическим или эллиптичесим орбитам меняют свою видимую внешнюю структуру, когда пересекают орбиту Юпитера. Их твердая форма исчезает с увеличением напряжения гигавихря, то есть когда они приближаются к солнцу. Около орбиты Марса напряжение вихревого поля кометы, которое состоит из ее собственного вихря, увеличивается настолько, что становится видимым в гравитации и накопленном тепле кометы. Можно заметить, что более или менее круглая туманная атмосфера кометы сжимается все больше. Из-за увеличения напряжения действительного электричества кометы, сила накопления отдельных энергетических шаров кометы, которая имеет гравитационный эффект, также увеличивается. Уменьшение расстояния между энергетическими шарами кометы вызывает развитие тепла, что усиливается тем фактом, что из-за приближения кометы к солнцу интенсивность теплообразовательного собственного вихря кометы также возрастает, пока не становится подобной интенсивности свечения фиксированной звезды. Много комет остаются в этом состоянии и могут наблюдаться только через высококачественные телескопы; поэтому о них говорят как о телескопических кометах. Увеличение напряжения вихря солнечного электричества также связано с увеличением компонентов накопления, действующих на ночной стороне кометы, то есть стороне, направленной от от солнца, при этом результирующая сила этих компонентов вызывает увеличение или ускорение орбитальной скорости. При пересечении орбиты земли или Венеры добавляется усиливающаяся односторонняя солнечная радиация, увеличение интенсивности которой часто имеет в самом деле катастрофические последствия. Мы знаем из наших предыдущих рассуждений, что в случае возмущения зоны динамического равновесия из-за одностороннего нагревания потенциальное ядерное электричество может взрывообразно вылетать изнутри, и что даже вся зона равновесия может взорваться, так что внезапно выброшенное потенциальное ядерное электричество, может подразделяться на меньшие ядерные объемы, также имеющие сферические зоны равновесия (туманности). В 1845 г. кометы Бьела раскололась на два, а комета 1882 около солнца – на множество фрагментов. Если зона равновесия противостоит ядерным извержениям на стороне, обращённой к солнцу, то по крайней мере может наблюдаться фонтанообразный отток потенциального ядерного электричества. Поскольку луч направлен к солнцу, в то время как направление движения кометы не направлено прямо на солнце, а описывает кривую вокруг него, реактивная сила истекающеего ядерного электричества порождает крутящий момент, то есть. комета выполняет, полуоборот вокруг своей оси, так что истекающее ядерное электричество теперь течёт по направлению от солнца, в то время как вдобавок оно поддерживает, как ракета, результирующую силу вихревых компонентов накопления, которая так или иначе передает движущий эффект на эту сторону, обращённую от солнца. Смещение луча действительного ядерного электричества должно теперь снова сопроводиться ускорением, чтобы увеличить орбитальную скорость. Явление, которым мы называем хвостом кометы – всего лишь истекающее ядерное электричество, которое уплотняется в бесконечном количестве

энергетических шаров и начинает светиться в пределах вихревых компонентов накопления кометы подобно зодиакальному свету. Поскольку возникающие энергетические шары веществ подчинены почти тем же самым условиям истечения, они должны иметь почти равные ядерные температуры или температуры пустого пространства, то есть они должны иметь почти тот же самый вес. Спектроскопические исследования показали также, что хвост содержит углерод, азот и кислород. Но поскольку условия для формирования веществ в перигелии отличаются от условий в афелии, вещества в хвосте кометы должны меняться в течение их формирования в зависимости от расстояния до солнца. Именно так обстоит дело. Приближение к солнцу сопровождается замечательным изменением люминисцирующих цветов кометы. Ото дня ко дню она часто внезапно меняет свой первоначальный зеленовато-синий цвет на золотисто-желтый.

Когда комета снова отворачивается от солнца, ситуация с напряжением и таким образом явления возвращаются в прежнее состояние. Ввиду относительно маленького ядерного объема комет они не имеют очень длинного срока продолжительности жизни по причине большой потери потока, особенно около солнца. Поскольку кометы имеют всего лишь небольшую массу, их собственные вихри восходят очень круто.

Кометные Орбиты и Обратные Орбиты Некоторых Комет

Это крутое восхождение собственного вихря, объединенного с компонентом накопления обратной стороны солнечного гигавихря, является причиной длинной орбиты. Если собственный вихрь чрезвычайно крут, результирующая сила компонентов накопления направлена в обратную сторону, то есть комета скорее перемещается в обратном, чем в том же самом направлении, что и планеты вокруг солнца. Благодаря этой высокой крутизне вихрей, все кометы, перемещающиеся в обратном направлении имеют очень незначительные, длинные эллиптические орбиты. До сих пор мы имели дело только с вихревой закономерностью нашей солнечной системы. Нет никакой причины предполагать, что эта закономерность применима только к нашей солнечной системе; напротив, наиболее вероятно, что она также применима ко всем другим звездным системам за пределами нашей солнечной системы.

Спиральные Туманности

В самом деле, гигантскими телескопами в космосе обнаружено более двух тысяч миллионов спиральных структур. Судя по опубликованным результатам наблюдений спиральных туманностей, они во всех деталях соответствуют вихревому закону, описанному выше - в особенности в отношении направления движения винтовых рукавов, ядра и формирования новых звезд. Поэтому мы должны предположить, что все спиральные туманности, включая нашу систему млечного пути, которой принадлежит наша солнечная система, подчинены вселенскому вихрю, в котором все системы спиральных туманностей отталкивают друг друга не имею возможности выйти на периферию вселенского вихря, потому что это им не дали бы сделать эффектами накопления, действующие извне внутрь. Аналогично, планеты нашей солнечной системы не могут покинуть эту систему из-за эффектов накопления, действующих извне внутрь. Основание принципа потока действительного солнечного электричества нашей солнечной системы - и всех других солнечных систем в общем - это форма движения Lemniskata. Оно начинает восхождение по направлению влево от солнечного экватора до высоких градусов широты и по часовой стрелке, стремится к полюсам планет, нисходит по направлению вправо. Теперь действительное солнечное электричество течет от экваторов

планет до высоких градусов широты, восходя вправо и двигаясь против часовой стрелки и нисходя влево к обоим полюсам лун. Теперь действительное солнечное электричество истекает с экваторов лун восходя влево до высоких градусов широты. Таким образом, вихревые потоки планет и лун гармонично располагаются в направлении потока солнечного гигавихря.

Система Млечного Пути

Если смотреть извне, целый океан звезд в пределах млечного пути был бы охвачен вселенским вихрем. Но поскольку наша солнечная система расположена приблизительно в плоскости системы млечного пути недалеко от ее центра, мы должны логически принять - не будучи нескромными - что наша солнечная система формирует центр создания млечного пути. Ни в коем случае не приемлемо и логически не оправдано, что наша солнечная система или наша Земля или даже Человек с его духом ничего не значат по сравнению с бесконечной вселенной. Такое заключение могло бы быть сделано только на основе односторонней количественной точки зрения при пренебрежении качественными аспектами мира. Допустить, что человек – ничто относительно вселенной, и что он не играл никакой роли или, самое большее, случайную роль, действительно означает отрицание нашей жизни, самоотречение и отказ от нашего собственного, высшего и творческого эго. Создание мира основано на идеях и этических законах самого высокого порядка, и человек во всём своём расположении предназначен для того, чтобы думать об этих идеях и следовать этой этики в своей жизни; следовательно, человек - существенный член вселенной. Поэтому, позвольте нам отвергнуть жизнеотрицающую, непрогрессивную и сокрушительную фразу Дюбуа-Реймонда "ignorabimus" - " мы никогда не узнаем " - и заменять её жизнеутверждающими, оптимистическими и прогрессивными словами " Мы будем знать - но не раньше, чем придёт время! "

Предложение о Сооружении Потокосвязанного Миниспутника как Антигравитационного Аэродина

Наши предыдущие результаты положительно предлагают вопрос, возможно ли в соответствии с законами потока действительного солнечного электричества, описанными здесь, построить бесшумный аэродин, который на основании сил гравитации мог бы направляться по желанию вверх, вниз или в стороны. Мы узнали, что сила, которую мы называем магнетизмом – гравитационное поле солнца. Используя эту силу, мы не смогли бы поднять себя от земли, поскольку гравитация земли не даст нам это сделать. Мы упоминали ранее, что так называемый магнетизм в соответствии с расстоянием между землей и солнцем – сжатое гравитационное поле солнца, то есть действительное солнечное электричество, имеющее более высокую плотность и более низкое напряжение, в то время как гравитационное поле земли характеризуется действительним земным электричеством, имеющим низкую плотность и высокое напряжение. Мы обнкаружили в Части Первой, что равные но противоположные интенсивности потока порождают эффект накопления, направленный от уплотнённой к декомпрессированной стороне, или стороне всасывания, в то время как неравные интенсивности потока порождают дифференциальный эффект. То же самое применимо к потоковым отношениям между планетами и солнцем. Гравитационное поле земли с ее собственным мегавихревым потоком и высоким напряжением и низкой плотностью порождает гравитационное поле земли, в то время как гравитационное поле солнца и его гигавихревой поток с большим расстоянием до планет, увеличивающейся плотностью и уменьшающимся напряжение характеризует гравитационное поле солнца. Теперь легко понять, что гравитация земли может быть скомпенсирована равным но противоположным потоком того же самого напряжения и плотности, в то время как ничего

нельзя сделать в отношении магнитных сил относительно гравитации земли по причине их различного напряжения и плотности. Мы поняли, что действительное солнечное электричество всегда стремится к более холодным полюсам, и что оно имеет самую большую свою плотность и самое низкое напряжение на полюсе самого глубокого холода. Далее, мы обнаружили, что полюс самого глубокого холода закономерно имеет сферическую форму, потому что действительное солнечное электричество естественно стремится к полюсу самого глубокого холода со всех направлений, и с другой стороны полюс самого глубокого холода входит в контакт с более высокой температурой на своей внешней периферии и поэтому стремится расшириться во все стороны. Мы назвали полюс самого глубокого холода потенциальным электричеством и движущим электричеством, то есть расширяющееся или сжимающееся электричество действительным электричеством. Можно было бы также определить потенциальное электричество как силу, а действительное электричество как противосилу. Мы назвали зону, в которой эти две силы противостоят друг другу, в которой они, так сказать, более или менее равны, зоной динамического равновесия или зоной тепла. Итак, в этой зоне равновесия силы, противостоящие друг другу, равны и поэтому образуют точную форму сферы. Когда мы однажды сможем воспроизвести температуры намного ниже минус 273 градуса по стоградусной шкале, мы также сможем хранить потенциальное электричество в точной полой сфере, сделанной из изоляционного материала. И в конце концов, такое хранилище было бы ничем иным, как маленьким искусственный спутник, в который - подобно планетам и лунам - будет непрерывно проникать восточно-западный поток действительного солнечного электричества нисходящими полярными спиралями, которые из-за зоны тепла будут вынуждены снова избегать в виде восходящих спиралей на его экваторе. Интенсивность вихря зависела бы от температуры и объема потенциального ядерного электричества сферы. Поскольку это был бы миниспутник, в котором концентрация вихревой интенсивности будет намного выше, чем вихревая интенсивность земных веществ, в спутник - точно так же, как и в землю - непосредственно проникало бы восточно-западное действительное солнечное электричество, то есть электричество, исходящее непосредственно из солнца, через полюса спутника и имело бы то же самое направление вихря, что и земля и планеты. Собственный вихревой поток миниспутника, восходящий от зоны динамического равновесия или зоны тепла, имел бы своё самое высокое напряжение и самую низкую плотнось, в точности как восточно-западный восходящий собственный вихревой поток земли. По этой причине возникло бы не притяжение землёй, а отталкивание между землей и спутником.

Миниспутник должен быть заряжен в вакуумированной, безвихревой камере при температуре намного ниже минус 273 градусов по стоградусной шкале. Вокруг миниспутника необходимо разместить катушку с проводником как можно больших размеров, питание на которую должно подаваться извне холодильной камеры.. Полярная ось катушки должна быть ориентирована в северно-южном направлении с использованием водного уровня, причем ось спутника должна совпасть с осью катушки. Направление тока в катушке должно быть по часовой стрелке, если смотреть на юг. При вероятной температуре минус 10,000 градусов Цельсия или ниже, накопление поля, текущего внутри сферы вдоль внутренних витков катушки должно сжаться в центре сферы, чтобы начать формирование динамической сферической зоны накопления. Опыт покажет, насколько долго должен оставаться активным внешний контур, пока не будет достигнуто достаточно большое накопление потенциального электричества в ядре сферы или миниспутника. Во всяком случае, вихревая интенсивность спутника должна быть больше, чем вихревая интенсивность на поверхности земли чтобы передать спутнику восходящее ускорение. Таким образом, вихревая интенсивность миниспутника будет зависеть во-первых от ядерной температуры потенциального электричества и во-вторых от объема последнего. Чем глубже мы

сможем уменьшить ядерную температуру спутника и чем больше ядерный объем, тем больше будут вихревая интенсивность и сила восхождения спутника. Чтобы гарантировать управляемость антигравитационного аэродина, потребуются по крайней мере три миниспутника, которые необходимо расположить по большому кругу на расстоянии 120 градусов. Один спутник был бы должен быть неподвижно установлен, в то время как два других должны быть подвижны на круге. Перемещая эти два спутника относительно зафиксированного, было бы возможно регулировать направление аэродина. Сборка антигравитационного аэродина не представила бы никаких механических сложностей. Над спутниковым треугольником должен быть устроен круглый, плоский купол, чтобы разместить команду. При взгляде снаружи, аэродин имел бы форму гигантского, плоского колокола. Расстояния между отдельными спутниками должны быть достаточно широки, чтобы гарантировать равновесие системы. Как только внедрены искусственные миниспутники, сооружение этого антигравитационного аэродина не будет представлять собой никакой проблемы. Другое преимущество плоской, круглой формы – это то, что она жидкостно хорошо приспособленна к полету в атмосфере в наклонном верхнем, нижнем и боковом направлении. Мы в достаточной степени опровергли возможное возражение, что потенциальная ядерная энергия не смогла бы остаться на самом глубоком полюсе холода в среде с более высокой температурой, указыв на тот факт, что любая крошечная частица вещества и любое астрономическое тело подчиненяются одному и тому же явлению.

Эпилог

Мы научились узнавать различные проявления магнетизма, электричества, формирования вещества, гравитации, света, и астрономических тел, обнаруживая, что все эти проявления происходят из одной первобытной силы, потенциальная энергия которой варьируется от самого низкого предела холода до самого высокого предела тепла. Эта первобытная сила – всемирная константа; она ничего не теряет, ничего не приобретает, но остается равной в своём конечном продукте: плотность, умноженная на напряжение. В своём статическом, потенциальном состоянии она однородна, будучи неоднородной в своём мобильном (активном) состоянии. Закон вихревого формирования как основание для закона астрономической механики – это необходимое следствие закона неоднородности. Каждый закон вытекает из другого, и каждые поддерживает и дополняет другие. Целостность законов ведёт к статическому и динамическому балансу во вселенной.

Разъяснение

Поскольку электричество в его 1-ом агрегатном состоянии следует понимать как (биполярную) энергию по существу, то в своём "последнем" агрегатном состоянии оно представляет (равно биполярный) проводящий субстрат, пространства по существу.